

# Tehnum

REVISTĂ LUNARĂ EDITATĂ DE C.G. AL U.T.C.

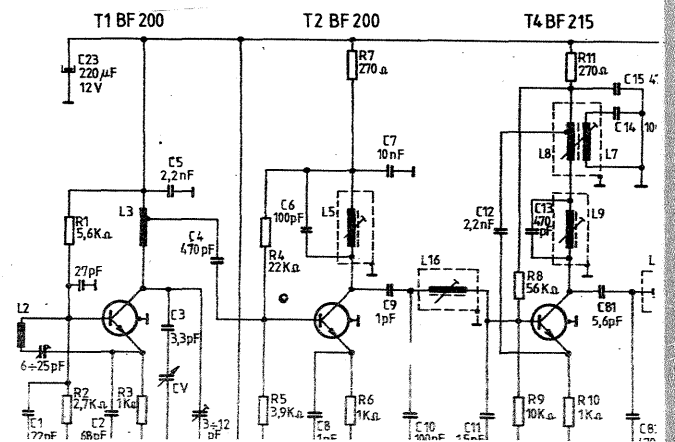
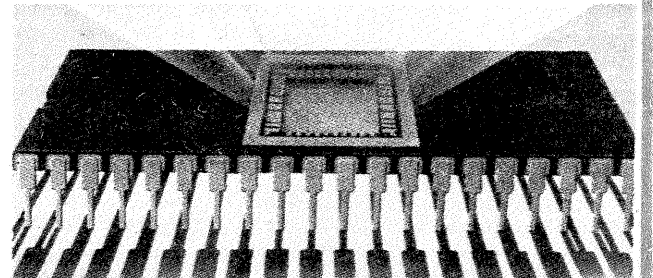
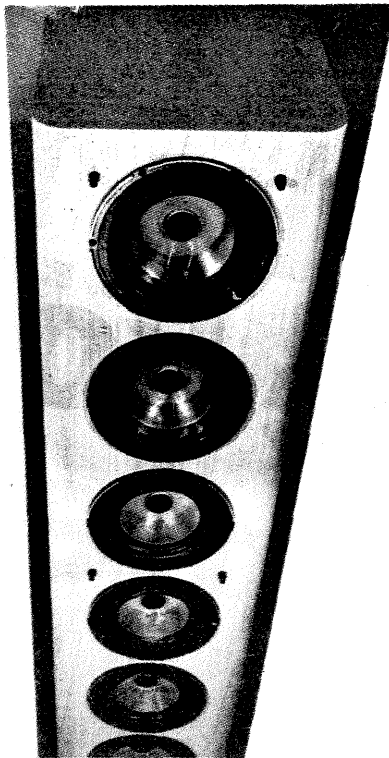
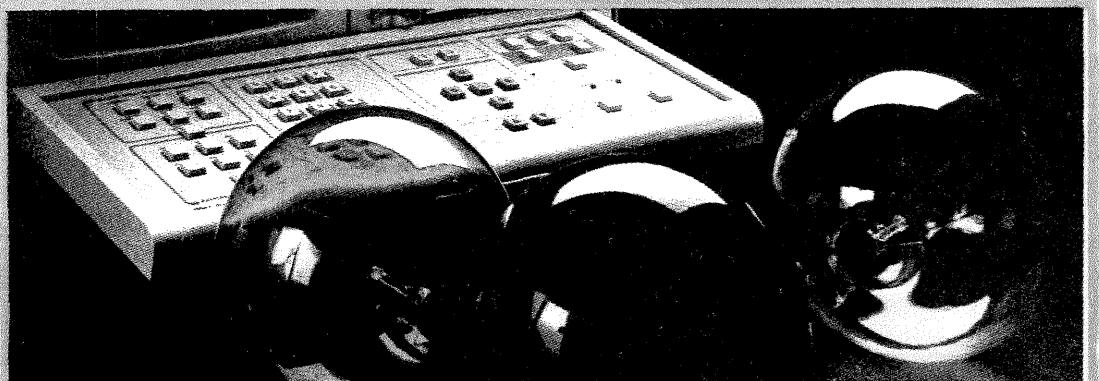
ANUL XIII - NR. 152

7/83

## CONSTRUCȚII PENTRU AMATORI

### SUMAR

- LUCRAREA PRACTICĂ DE BACALAUREAT** ..... pag. 2—3  
 Redresor pentru încărcarea acumulatorilor
- RADIOTEHNICĂ PENTRU ELEVI** ..... pag. 4—5  
 Disipația termică  
 Lampă de avertizare  
 Util  
 EFT
- HI-FI** ..... pag. 6—7  
 Benzi magnetice
- ATELIER** ..... pag. 8—9  
 Portarod universal  
 Turometru-niveimetru numeric
- TEHNICĂ MODERNĂ** ..... pag. 10—11  
 Matrice de lumini dinamice cu memorie EPROM
- CQ-YO** ..... pag. 12—13  
 Emițător + receptor 144 MHz
- AUTO-MOTO** ..... pag. 14—15  
 Autoturismele OLTCIT: motoarele
- FOTOTEHNICĂ** ..... pag. 16—17  
 Acționarea surselor de lumină  
 Reglarea intensității  
 Economizor  
 Capac de protecție
- CITITORII RECOMANDĂ** ..... pag. 18—19  
 Puntea RC  
 Ohmmetru  
 Indicator
- PENTRU TINERELE GOSPODINE...** pag. 20  
 Amenajări interioare  
 Rețete
- PUBLICITATE** ..... pag.21  
 I.A.E.M.-Timișoara
- REVISTA REVISTELOR** ..... pag. 22  
 Iluminare gradată  
 TDA 2030  
 Frecvențimetru  
 Verificator
- MEMORATOR** ..... pag. 23  
 Diacul
- SERVICE** ..... pag. 24  
 Philips 2204



## EMITĂTOR RECEPTOR 144 MHz

(CITIȚI ÎN PAG. 12)

## REDRESOR PENTRU ÎNCĂRCAREA ACUMULATOARELOR

Ing. ANDREI BOROȘ

### GENERALITĂȚI

Pentru o bună funcționare a oricărui motor de autovehicul, este necesară o întreținere corectă a bateriei de acumulatori.

Pentru o bună comportare în sezonul rece și prelungirea vieții bateriei se aplică o regulă: dacă se circulă chiar zilnic, dar mai puțin de 50 km pe zi, o dată pe lună bateria trebuie încărcată de la un redresor care poate debita tensiuni și curenți corespunzători. Verificarea stării bateriei se face prin măsurarea densității electrolitului sau prin măsurarea tensiunii în sarcină. Dacă însă în cursul exploatarei densitatea electrolitului a fost modificată prin completare cu acid, măsurarea densității nu mai este edificatoare.

Tensiunea se poate măsura în mai multe moduri. Cea mai corectă măsurătoare se efectuează cu voltmetrul cu furcă. De fapt, acesta este un voltmetru conectat în paralel cu o rezistență de valoare foarte mică dar de mare putere. Aceasta rezistență absoarbe din baterie un curent de cca 3 ori capacitatea bateriei exprimată în amperi-ora. De exemplu pentru o baterie de 56 Ah, curentul absorbit din tensiune va fi  $3 \times 56 = 168$  A. Cu acest dispozitiv se măsoară tensiunea în sarcină mare, pe fiecare element în parte. Dacă tensiunea pe element scade în timpul măsurării de 10-15 secunde sub 1,8 V, bateria trebuie încărcată.

Deoarece, pe de o parte, voltmetrele cu furcă nu sînt întotdeauna accesibile amatorilor, iar pe de altă parte, bateriile moderne sînt capsulate și nu permit măsurarea individuală a elementelor, vom recomanda o metodă practică de evaluare a stării de încărcare.

Fără a trăge socot, se acționează demarorul (bineînțeles, cu bateria montată pe autovehicul) timp de 3-4 secunde. Dacă motorul pornește, se oprește imediat, pentru ca alternatorul sau dinamul să nu influențeze starea bateriei. Se așteaptă o perioadă de 10-15 minute și se măsoară tensiunea în sarcină cu un voltmetru obișnuit. În cazul cînd tensiunile măsurate pe element sînt mai mici de 1,95 V, bateria trebuie încărcată.

Se admite că, dacă tensiunea pe element este mult sub 1,95 V și diferența între elemente este mai mare de 0,1 V, bateria trebuie supusă unui proces de recondiționare, deoarece simpla încărcare nu mai este eficientă.

Dacă bateria este capsulată, se va măsura numai tensiunea totală. Dacă tensiunea totală este mai mică decît 1,95 x N (unde N reprezintă numărul de celule), starea fiecărui element va fi apreciată prin măsurarea densității.

Atragerea atenției asupra faptului că operația de întreținere a bateriei, inclusiv recomandarea asupra încărcării, trebuie respectată chiar din prima lună. Numai în acest fel vom reuși să „circulăm” cu aceeași baterie un timp cît mai îndelungat. Dacă întreținerea corectă a bateriei se va face numai după ce aceasta a început să dea semne de „oboseală”, degradarea continuă, deși ritmul este încetinit.

Pentru început vom face trei observații importante:

1. La o baterie încărcată, tensiunea în sarcină foarte mică (curentul de sarcină de cca 0,5 A) este de 2,1 - 2,25 V pe fiecare element.
2. Dacă bateria este corect formată și încărcată, densitatea electrolitului în fiecare celulă este 1,285 g/cm<sup>3</sup>.
3. În cazul exploatarei incorecte a bateriei, plăcile se pot sulfata. Dacă stratul de sulfat nu este prea gros, procesul este reversibil prin încărcare cu curenți „asimetrici”. Încărcarea se face cu impulsuri pozitive de curent. În pauza dintre impulsuri bateria se descarcă pe o rezistență

de descărcare. Metoda se folosește și pentru prevenirea sulfatării.

### SCHEMA BLOC ȘI PRINCIPIUL DE FUNCȚIONARE

O instalație de încărcare automată a bateriei ce asigură un regim apropiat de cel optim este prezentată în cele ce urmează. La terminarea încărcării, redresorul se deconectează automat de la baterie. Raportul între curentul de încărcare și cel de descărcare este  $\frac{I_{desc}}{I_{inc}} = 8-10$ , iar raportul duratelor respective este  $\frac{t_{desc}}{t_{desc}} = 0,5-1$ . Valorile acestor rapoarte variază în funcție de gradul de încărcare a bateriei.

Schema bloc este prezentată în figura 1.

- Limitatorul de curent este o rezistență care limitează curentul de încărcare la o valoare convenabilă cînd tiristorul este deschis. La dimensionare se are în vedere și curentul care apare atunci cînd avem scurtcircuit la ieșire.
- Blocul de tensiune de referință livrează comparatorului o tensiune fixă în funcție de tensiunea nominală a bateriei, numai în timpul semnalului pozitiv a tensiunii din secundarul transformatorului de rețea.
- Poarta permite sau nu trecerea curentului spre baterie, în funcție de comandă.
- Comparatorul compară la fiecare început de semnal pozitiv tensiunea de referință cu tensiunea bateriei în sarcină foarte mică. Dacă diferența tensiunilor este pozitivă, poarta se deschide, iar dacă este negativă poarta rămîne închisă. Ultima situație corespunde bateriei încărcate.

S-a ales acest mod de lucru deoarece aprecierea stării bateriei după tensiunea la borne, în timp ce impulsul de tensiune o încărcă, este foarte dificilă.

### SCHEMA DE PRINCIPIU. FUNCȚIONARE

În figura 2 este prezentată schema de principiu pe care vom explica funcționarea. La început prezentăm mărimile și elementele figurate pe desen.

- $U_{2ef}$  = tensiunea efectivă din secundarul transformatorului;
- $E_t$  = tensiunea la bornele bateriei, în timp ce impulsul de curent o încărcă;
- $E_s$  = tensiunea bateriei în sarcină foarte mică;
- $U_{AK}$  = tensiunea între anodul și catodul tiristorului în conducție;
- $U_{GK}$  = tensiunea între grila și catodul tiristorului în momentul deschiderii;
- $U_A$  = tensiunea între anodul tiristorului și masă;
- $U_G$  = tensiunea între grila tiristorului și masă;
- $U_Z$  = tensiunea de stabilizare a diodei Zener;
- $U_{D1}, U_{D2}$  = căderile de tensiune în sens direct pe  $D_1, D_2$ ;
- $I_Z$  = curentul prin dioda Zener și poarta tiristorului;
- $I_A$  = curentul anodic al tiristorului, egal cu curentul de încărcare;
- $R_T$  = rezistența înfășurării secundare a transformatorului;
- $R_{lim}$  = rezistența de limitare a curentului de încărcare;
- $R_Z$  = rezistența de limitare a curentului prin dioda Zener și prin poarta tiristorului;
- $R_p$  = rezistența de fixare a impedanței grila-catod a tiristorului;
- $R_{desc}$  = rezistența pe care bateria se descarcă;
- $D_1, D_2$  = diode ce permit trecerea curenților prin dioda Zener și spre

grila tiristorului într-un singur sens;

L = lampă după iluminarea căreia poate fi apreciată valoarea curentului de încărcare;

A = ampermetru cu domeniul de măsurare 0-2,5 A.

Folosind aceste notații, amplitudinea curentului de încărcare rezultă:

$$I_A = \frac{U_{2ef} \sqrt{2} - E_t - U_{AK}}{R_T + R_{lim}}$$

unde s-a neglijat rezistența lămpii L, care este mult mai mare decît  $R_{lim}$ .  $I_A$  se alege în jur de 5 A.

Curentul continuu care trece prin tiristor este de aproximativ 1,1 ori mai mare decît curentul care încarcă bateria. De aici rezultă și modul de dimensionare a rezistenței  $R_{desc}$ .

Pentru a putea face o analiză calitativă a schemei, vom folosi reprezentările grafice ale unor mărimi semnificative în figura 3. Relațiile folosite în explicații au fost scrise în ideea că diodele  $D_1$  și  $D_2$  sînt identice.

Simbolurile suplimentare din figura 3 sînt următoarele:

- $u_A$  = valoarea instantanee a tensiunii anodului;
- $u_G$  = valoarea instantanee a tensiunii grilei;
- $i_A$  = valoarea instantanee a curentului anodic;
- $t_d$  = momentul deschiderii tiristorului;
- $t_r$  = momentul blocării tiristorului.

Tensiunile  $u_A$  și  $u_G$  sînt măsurate față de masă. Plecînd din momentul inițial  $t=0$ , tiristorul este blocat atît timp cît  $u_G < E_t + U_{GK}$ . În momentul cînd  $u_G > E_t + U_{GK}$ , tiristorul se deschide, fiind îndeplinită și condiția simultană  $u_A > E_t + U_{AK}$ .

Pe măsură ce bateria se încarcă,  $E_t$  și  $E_s$  cresc și tiristorul se deschide din ce în ce mai tîrziu, valoarea curentului continuu scăzînd. Încărcarea este terminată dacã  $u_G = U_Z = E_t + U_{GK}$ .

În cazul limită de scurtcircuit la ieșire, valoarea curentului prin tiristor este maximă și egală cu curentul obținut la redresarea monoalternanță cu dioda,  $I_{r=}$  =  $\frac{I_{AM}}{\pi}$ .

În practică se va aproxima:  $\frac{U_{2ef} \sqrt{2}}{E_t} \approx 2$ . În cazul general (dar neglijînd curentul de poartă și curentul prin rezistența  $R_p$ ) se poate scrie:

$$u_A = U_{2ef} \sqrt{2} \sin \omega t - R_{lim} (i_A + i_G);$$

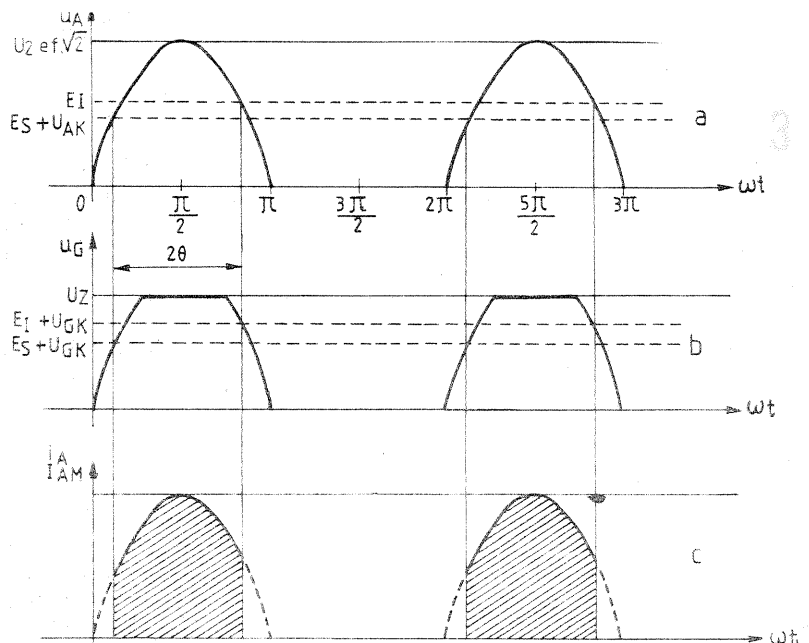
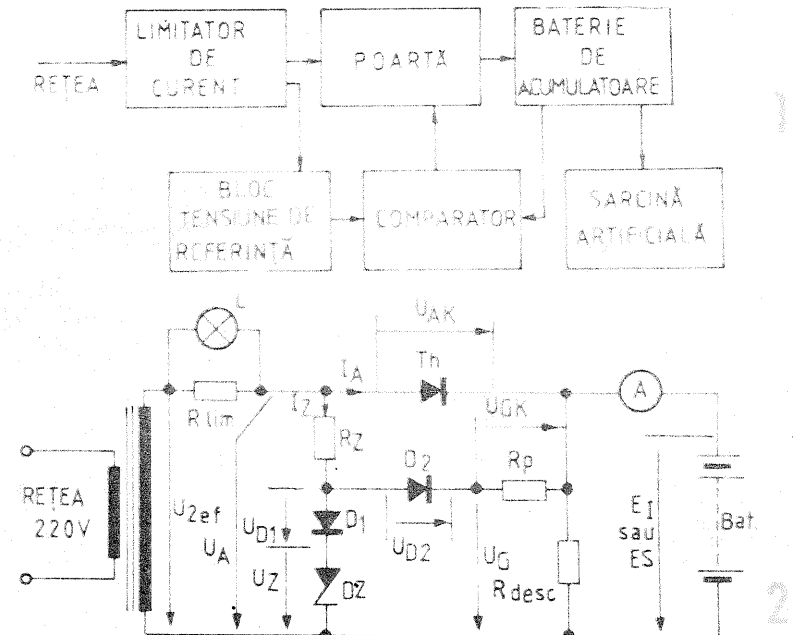
$$u_G = U_{2ef} \sqrt{2} \sin \omega t - i_A (R_{lim} + R_p) - R_{lim} i_G$$

La anularea curentului anodic al tiristorului ( $i_A = 0$ ),

$$u_A = U_{2ef} \sqrt{2} \sin \omega t - R_{lim} i_G = E_t$$

$$u_G = U_{2ef} \sqrt{2} \sin \omega t - R_{lim} i_G = E_t + U_{GK}$$

La apariția curentului anodic, putem deduce unghiul de deschidere al curentului de încărcare,  $2\theta$ , știînd că



Graficele mărimilor  $u_A, u_G, I_A$  pentru tiristor

$\omega t_i$  este în cadranul II, iar  $\omega t_d$  în cadranul

$$I: 2\theta = \omega t_i - \omega t_d = \arcsin \frac{E_s + R_{lim} I_{zd}}{U_{2ef} \sqrt{2}} -$$

$$- \arcsin \frac{E_s + U_{GK} + R_{zd} I_{zd}}{U_{2ef} \sqrt{2}} \text{ unde } I_{zd} \text{ și } I_{zd}$$

sînt valorile curenților  $I_{zd}$  în momentul deschiderii și închiderii tiristorului.

Valoarea curentului de încărcare este funcție de unghiul de deschidere, și anume cu cât unghiul de deschidere este mai mare, cu atât curentul de încărcare este mai mare.

În funcționare normală, unghiul de deschidere al curentului de încărcare este variabil și mai mic de  $180^\circ$ . El este maxim cînd bateria este descărcată și se micșorează pe măsură ce bateria se încarcă.

Forma curentului de încărcare este prezentată în figura 3 c.

Cu această succintă prezentare teoretică putem trece la realizarea practică.

### ALEGEREA COMPONENTELOR

a) După ce tiristorul a fost procurat și identificat într-un catalog, ne vom asigura că:

- tensiunea inversă admisă în stare blocată și tensiunea directă în stare blocată sînt mai mari decît  $U_{2ef} \sqrt{2} + E_s$  (reamintim că pentru baterii de 6V,  $E_s = 6,3 - 6,8V$ , iar pentru baterii de 12V  $E_s = 12,6 - 13,5V$ );
- curentul de vîrf repetitiv în stare de conducție este mai mare decît

$$U_{2ef} \sqrt{2} - U_{AK} \quad (\text{amplitudinea curentului de scurtcircuit});$$

- curentul mediu redresat este mai mare decît

$$\frac{\pi(R_{lim} + R_T)}{U_{2ef} \sqrt{2} - U_{AK}}$$

Practic poate fi folosit orice tiristor de 5-10 A, tensiunea de lucru fiind de minimum 100V.

Tiristoarele de puteri mari nu se recomandă deoarece necesită puteri de comandă prea mari.

- b) Diodele Zener va avea:

$$U_z \approx E_s + U_{GK};$$

- curentul maxim admis  $I_{ZM} = \frac{U_{2ef} \sqrt{2} - U_z}{R_z}$

Rezultă că se pot folosi diode Zener cu  $I_{ZM} \geq 0,6 A$ .

c) Diodele  $D_1, D_2$  se aleg identice, cu:

- tensiunea inversă de minimum 100 V;
- curentul mediu redresat mai mare de 0,6 A.

d) Indiferent de tensiunea bateriei, recomandăm  $R_z = 30 \Omega, 2W$ , iar  $R_{desc} = 27 - 28 \Omega$  pentru 12 V și 13-14  $\Omega$  pentru 6 V.

e)  $R_{lim}$  se recomandă de 1,5  $\Omega$  pentru 12 V și 0,7-0,8  $\Omega$  pentru 6 V.

f) Transformatorul de rețea va fi dimensionat pentru 100 VA, pentru a evita încălzirea miezului datorită magnetizării care apare la redresoare monoalternantă.

Tensiunea în secundar  $U_{2ef} = 21 V$  pentru baterii de 12 V și 10,5 V pentru baterii de 6 V, pentru un tiristor cu  $U_{AK} = 1 V$ . Tensiunile vor fi măsurate cu sarcina corespunzătoare.

Dacă  $U_{AK} > 1 V$ , aceasta se va compensa mărind tensiunea  $U_{2ef} \sqrt{2}$  cu aceeași valoare.

### REALIZARE PRACTICĂ. INDICAȚII CONSTRUCTIVE

Pentru a trece la execuția practică, va fi nevoie de măsurarea tensiunii pe tiristor în conducție,  $U_{AK}$ , și a tensiunii de deschidere pe grilă,  $U_{GK}$ .

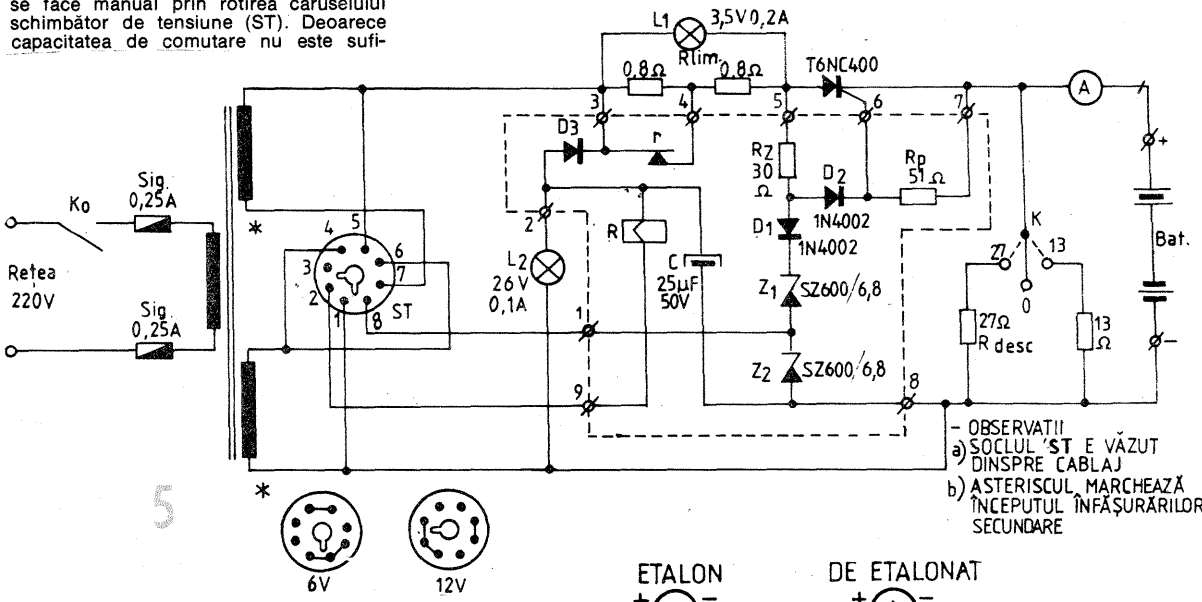
Măsurătorile se vor face conform schemei din figura 4.

Lampa L va fi de 6 V, respectiv 12 V, în funcție de tensiunea bateriei; puterea lămpii este de 15 W.

Evident, vom porni de la valoarea maximă a lui  $R_z$ , și ne vom opri cînd tiristorul se aprinde.

Schema realizată practic este prezentată în figura 5, ea dînd deplină satisfacție în exploatare. Se pot încărca baterii de 6 V sau 12 V.

Comutarea pentru cele două tensiuni se face manual prin rotirea caruselului schimbător de tensiune (ST). Deoarece capacitatea de comutare nu este sufi-



cientă, este necesar un releu electromagnetic R, cu un contact (r). Contactul releului comută rezistențele de limitare.

Experimentarea a fost făcută cu următoarele elemente:

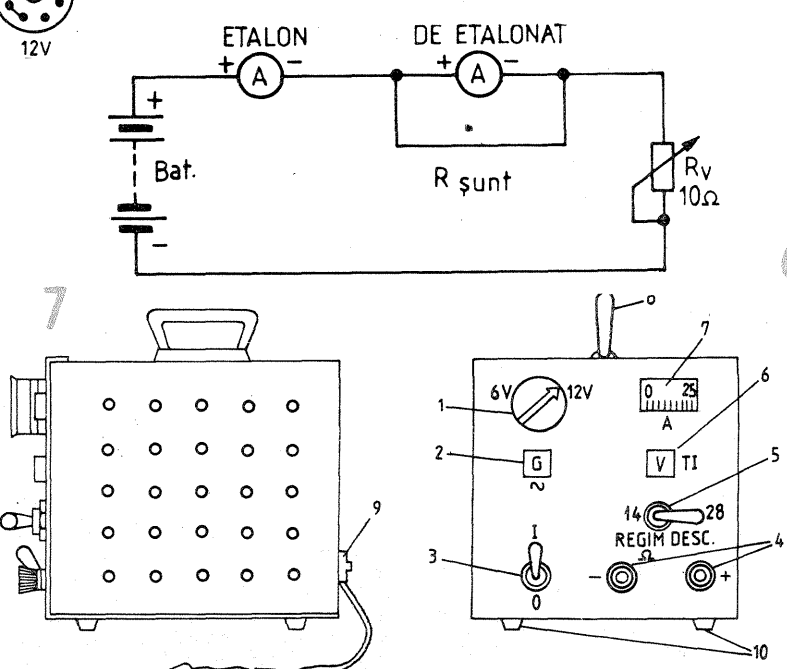
Th = T6NC400, KT725-200;  $D_1, D_2, D_3 = 1N4002$ ; R = releu de 12 V cu un contact ce suportă un curent de 2 A;  $R_{desc} = 27 \Omega - 16 W$  și  $13 \Omega - 16 W$ ;  $R_{lim} = 1,5 \Omega - 9 W$  și  $0,8 \Omega - 9 W$ ; K = comutator auto-moto cu 3 poziții;  $K_0$  = întrerupător de rețea;  $L_1$  = lampă electrică 3,5 V - 0,2 A;  $L_2$  = lampă electrică 26 V - 0,1 A; C = condensator electrolitic 25  $\mu F - 50 V$ ; A = ampermetru cu limită 2,5 A; sig. = siguranțe de 0,25 A.

Caruselul schimbător de tensiune este recuperat de la un televizor scos din uz. În lipsa acestuia se poate folosi cu succes un schimbător de tensiune confecționat dintr-un soclu octal și un culot de lampă corespunzător (6P9, 6A7 etc.).

Comutarea tensiunii este astfel realizată încît pentru 12V cele două înfășurări secundare se leagă în serie, iar pentru 6 V în derivație. În acest fel se face economie de sîrmă de cupru.

Pentru a micșora componenta continuă a fluxului magnetic în miezul transformatorului, releul R și lampa ce indică cuplarea încărcătorului la rețea ( $L_2$ ) au fost legate prin dioda  $D_3$ , alimentîndu-se astfel numai din semialternanța negativă.

Ampermetrul A este de tipul celor folosite ca indicatoare de nivel la casetofoanele „Electronica” 302 sau la magnetofoanele „Maik”. Șuntul va fi constituit din sîrmă rezistivă cu diametrul de 0,6-1 mm (de la reșou), lungimea fiind de cîțiva centimetri. Schema de etalonare este prezentată în figura 6. Se va începe cu lungimea minimă pentru șunt (scurtcircuit). Se micșorează valoarea lui  $R_z$  pînă cînd instrumentul etalon arată 2,5 A la cap de scală. După aceea, prin mai multe



### Explicații

Fig. 7: Vedere laterală și frontală a încărcătorului automat: 1) schimbătorul de tensiune, ST; 2) lampă conectare la rețea,  $L_2$ ; 3) întrerupător rețea,  $K_0$ ; 4) borne conectare (+,-); 5) comutator regim descărcare, K; 6) lampă terminarea încărcării,  $L_1$ ; 7) ampermetru; 8) mîner; 9) cordon cu ștecher tip TV; 10) pufere cauciuc.

încercări, se va lungi șuntul, pînă cînd la capătul scalei ampermetrului de etalonat vom avea tot 2,5 A.

După stabilirea valorii, șuntul se fixează definitiv la bornele ampermetrului de etalonat. Pentru a proteja instrumentul, între două încercări bateria va fi deconectată.

Lăsînd acum șuntul neschimbat, mărîm valoarea  $R_z$  și etalonăm toată scala, punct cu punct, din 0,5 în 0,5 A.

Dacă redresorul pentru încărcat acumulator se construiește pentru o singură tensiune, 6 V sau 12 V, se renunță la caruselul schimbător de tensiune, releul R și condensatorul C.

Pentru 12 V, în locul celor două diode Zener,  $Z_1, Z_2$ , se poate folosi una singură de 13,6 V. Diferența de tensiune în minus, așa cum s-a mai amintit, se poate corecta cu o diodă în serie, polarizată direct, dioda fiind cu siliciu (0,6-0,7 V) sau cu germaniu (0,25-0,35 V).

Tiristorul Th se va monta pe un radiator, de preferință cu aripioare. În lipsa acestuia se va folosi tablă de aluminiu de 2mm, cu suprafața de 100 cm<sup>2</sup>.

Cordonul de rețea este refolosit tot de la un televizor scos din uz, care este astfel realizat încît la scoaterea capacului să deconecteze transformatorul de la rețea. Acesta are avantajul că siguranțele sînt

amplasate la capătul cordonului, fiind ușor „vizibile”. Aceste cordonuri de rețea se găsesc și în magazinele de specialitate.

Bornele unde se leagă cordonul pentru baterie sînt de tipul celor folosite la aparatele de măsură, adică permit și introducerea bananelor obișnuite și prinderea papucilor. Acest cordon va fi constituit din două fire flexibile cu secțiunea de 2,5 mm<sup>2</sup>, la un capăt avînd două banane, iar la celălalt capăt avînd doi crocodili auto.

Montajul încadrat în linie punctată (fig. 5) este executat pe cablaj imprimat. Dimensiunile plăcii sînt de cca 7 cm x 9 cm. Deoarece cablajul este foarte simplu, nu a mai fost prezentat, fiind lăsat la latitudinea constructorului.

Rezistențele  $R_{lim}$  și  $R_{desc}$  se vor amplasa cît mai degajat, deoarece se încălzesc.

Pentru creșterea fiabilității, puterea rezistențelor a fost mărită.

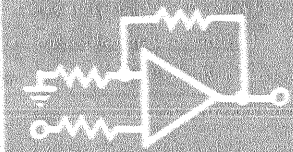
Transformatorul de rețea a fost realizat pe un miez cu secțiunea de 13 cm<sup>2</sup>. Primarul conține 1360 de spire CuEm  $\varnothing$  0,35 mm, iar secundarul 2 x 68 de spire CuEm  $\varnothing$  1,1 mm. Tensiunea măsurată în secundar cu sarcină a fost 2 x 10,5 V.

În tabelul alăturat sînt recapitulate valorile mărimilor ce se schimbă pentru cele două tipuri de baterii. Elementele ce lipsesc din tabel au aceeași valoare pentru ambele situații.

După terminarea montajului electric, se va verifica faptul că la o baterie în bună stare, încărcată, tensiunea în sarcină foarte mică fiind de 6,6 - 6,8 V (medie 6,7 V) respectiv 12,6 - 13,5 V (medie 13 V), redresorul rămîne deconectat de la baterie. În acest caz, curentul prin am-

(CONTINUARE ÎN PAG.23)

Nr. crt.	Mărimie	U.M.	BAT. 6 V	BAT. 12 V	Observații
1.	Tensiunea în secundarul transformatorului de rețea	$U_{2ef}$	10,5-11	21-22	Tensiunea se măsoară la o sarcină de cca 3 A
2.	Rezistența de limitare	$\Omega$	0,6-0,8	1,3-1,5	Se poate executa din sîrmă rezistivă (pentru reșou)
3.	Rezistența de descărcare	$\Omega$	13-14	27-28	Eventual se poate bobina ca mai sus
4.	Rezistența de limitare pentru dioda Zener	$\Omega$	30	30	2 W
5.	Diodele Zener	tip	10DZ6V8	10DZ12-10DZ15, 2 x 10DZ6V8	Diodele se pot obține prin măsurare și sortare. Tensiunile mai mici se pot corecta prin inseriere cu diode cu germaniu sau siliciu de curenți corespunzători.



## DISIPATIA TERMICĂ

(URMARE DIN NUMĂRUL TRECUT)

### VARIAȚIA PUTERII MAXIME DE DISIPAȚIE

Să ne întoarcem la tranzistor pentru a analiza mai atent parametrii săi de catalog referitori la disipația termică, dar mai ales concluziile de utilizare ce decurg din aceste valori limită.

O primă mențiune obligatorie se referă la temperatura maximă pe care o pot suporta joncțiunile tranzistorului,  $t_{jmax}$ . Se știe că joncțiunile cu germaniu se distrug la cca 120°C, iar cele cu siliciu la cca 220°C. De aceea, parametrul de catalog  $t_{jmax}$  este situat de obicei între 75°C și 100°C pentru tranzistoarele cu germaniu, respectiv între 150°C și 200°C pentru cele cu siliciu.

Valoarea  $t_{jmax}$  dată în catalog trebuie privită ca o limită maximă admisibilă, dincolo de care integritatea dispozitivului nu mai este garantată de producător. Dar cum putem noi avea certitudinea că, într-o aplicație dată, nu vom depăși această limită, de vreme ce tranzistorul este încapsulat cum îl știm, deci posibilitatea măsurării directe a temperaturii joncțiunii este practic exclusă?

Răspunsul vine de la celălalt parametru esențial de catalog — puterea de disipație maximă,  $P_{dmax}$  — despre care am mai vorbit și care trebuie, de asemenea, privit ca o valoare limită maximă admisibilă în regim de funcționare continuă (reprezintă excepție funcționarea în impulsuri, după cum vom vedea mai târziu). Trebuie să facem însă o precizare importantă, și anume că valoarea  $P_{dmax}$  este „garantată” numai în anumite condiții de răcire, specificate în catalog în mod direct sau indirect.

Pentru tranzistoarele de medie sau mare putere, care se folosesc de regulă cu radiator, valoarea  $P_{dmax}$  este dată la o anumită temperatură a capsulei,  $t_c$ . De exemplu, pentru un tranzistor oarecare am găsit în catalog  $t_{jmax} = 100^\circ\text{C}$ ,  $P_{dmax} = 150\text{ W}$  la  $t_c = 25^\circ\text{C}$ . Căderea de temperatură  $t_{jmax} - t_c$  fiind produsă exclusiv de rezistența termică joncțiune-capsulă, deducem:

$$R_{thj-c} = \frac{t_{jmax} - t_c}{P_{dmax}} = \frac{100^\circ\text{C} - 25^\circ\text{C}}{150\text{ W}} = 0,5^\circ\text{C/W}$$

Evident, tranzistorul nostru poate disipa efectiv cei 150 W numai dacă este prevăzut cu un sistem de răcire care să-i mențină temperatura capsulei la (sub) 25°C. Ce se întâmplă însă dacă nu dispunem de un radiator așa bun, sau dacă însăși temperatura mediului ambiant este mai mare de 25°C? De exemplu, să presupunem că putem menține temperatura capsulei la valoarea  $t_c = 50^\circ\text{C}$ . Cum mărimile  $t_{jmax}$  și  $R_{thj-c}$  sînt date prin construcție, rezultă că în aceste condiții tranzistorul va suporta o putere de disipație maximă mai mică,

$$P_{dmax} = (100^\circ\text{C} - 50^\circ\text{C}) / (0,5^\circ\text{C/W}) = 100\text{ W}$$

Prin extrapolarea dependenței liniare exprimate de legea lui Ohm termică

$$P_{dmax}(t_c) = \frac{t_{jmax} - t_c}{R_{thj-c}} \quad (4)$$

putem astfel trasa o dreaptă de disipație maximă pentru tranzistorul dat, așa cum se arată în figura 5. Am notat cu  $P_{dmax}(t_c)$  puterea maximă de disipație la temperatura capsulei  $t_c$ , pentru a nu exista posibilitatea de confuzie cu parametrul de catalog  $P_{dmax}$ . Desigur, tranzistorul poate funcționa și la temperaturi ale capsulei mai mici decât cea pentru care s-a indicat în catalog  $P_{dmax}$ . Nici în aceste condiții însă, nu se admite depășirea limitei  $P_{dmax}$ , motiv pentru care dreapta de disipație maximă se „fringe” la stînga, extrapolîndu-se printr-un segment paralel cu axa  $t_c$ .

Vom reveni la acest exemplu pentru a analiza limitările suplimentare — adeseori drastice — pe care le impune radiatorul, mai bine zis rezistența termică totală,  $R_{thj-a}$ . Căci, să nu uităm, energia calorică dezvoltată în joncțiune și „pasată” capsulei trebuie în cele din urmă evacuată în mediul ambiant, iar ritmul în care se produce această evacuare depinde de ansamblul sistemului, implicit de calitățile radiatorului și temperatura mediului ambiant.

Mai precis, transferul de energie joncțiune-ambiant este cu atât mai rapid cu cît rezistența  $R_{thj-a}$  este mai mică. Pe de altă parte, este firesc ca tranzistorul să se răcească mai ușor atunci cînd temperatura mediului ambiant,  $t_a$ , este mai mică și mai greu cînd  $t_a$  este mai mare.

În condițiile regimului termic staționar, transferul de căldură joncțiune-ambiant este guvernat în primă aproximație de aceeași lege termică a lui Ohm. Într-adevăr, se demonstrează că peste o anumită valoare a temperaturii ambiante, numită temperatură critică ( $t_{cr}$ ), puterea de disipație maximă scade proporțional cu creșterea temperaturii ambiante după relația aproximativă:

$$P_{dmax}(t_a) = \frac{t_{jmax} - t_a}{R_{thj-a}} \quad (5)$$

Ca exemplu (fig. 6) am considerat tranzistorul de mică putere EFT 323, pentru care  $P_{dmax} = 200\text{ mW}$ ,  $t_{jmax} = 85^\circ\text{C}$  și  $t_{cr} = 25^\circ\text{C}$ .

În cataloage nu este menționată întotdeauna temperatura critică. Ea poate fi dedusă prin trasarea graficului de variație  $P_{dmax}(t_a) = f(t_a)$  dacă se cunosc mărimile  $P_{dmax}$ ,  $t_{jmax}$  și  $R_{thj-a}$ ; în caz contrar, se poate lua  $t_{cr} =$  valoarea temperaturii ambiante pentru care s-a dat în catalog  $P_{dmax}$ .

În cazul tranzistoarelor de mică pu-

tere, care se utilizează de regulă fără radiator, noțiunile prezentate mai sus sînt suficiente pentru determinarea aproximativă a regimului de disipație termică.

**Exemplu.** Fie un tranzistor de tip BC107 într-un montaj care dorim să poată funcționa fără risc pînă la o temperatură ambiantă maximă  $t_{amax} = 50^\circ\text{C}$ . Dacă nu dispunem de un catalog „mare”, unde se indică de obicei curba tipică de variație a puterii maxime de disipație cu temperatura, apelăm la un catalog condensat, în care găsim pentru BC107:  $t_{jmax} = 175^\circ\text{C}$  și  $P_{dmax} = 300\text{ mW}$  la  $t_c = 25^\circ\text{C}$ . Pe baza relației (5), luînd  $t_a = 25^\circ\text{C}$ , deducem:

$$R_{thj-a} = \frac{175^\circ\text{C} - 25^\circ\text{C}}{0,3\text{ W}} = 500^\circ\text{C/W}$$

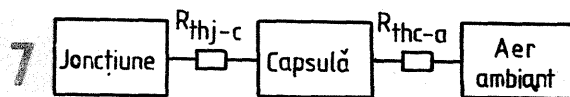
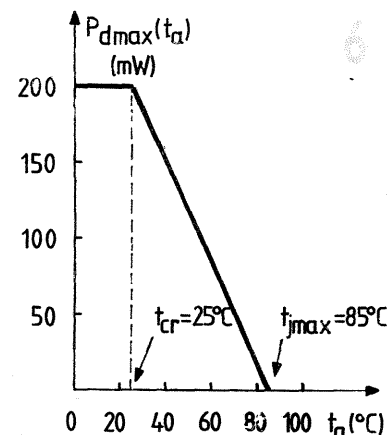
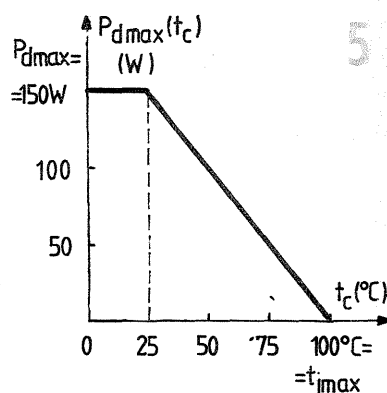
Acceași relație (5) aplicată pentru  $t_{amax} = 50^\circ\text{C}$ , ne dă:

$$P_{dmax}(50^\circ\text{C}) = \frac{175^\circ\text{C} - 50^\circ\text{C}}{500^\circ\text{C/W}} = 0,25\text{ W}$$

Prin urmare, montajul trebuie astfel calculat încît produsul dintre căderea maximă de tensiune pe tranzistor,  $U_{CEmax}$ , și curentul maxim prin tranzistor,  $I_{Cmax} \approx I_{Emax}$ , să nu depășească 0,25 W. De exemplu, dacă schema impune  $I_{Cmax} = 20\text{ mA}$ , vom avea grijă ca  $U_{CEmax}$  să nu depășească 0,25 W/0,02 A = 12,5 V. După cum am mai spus, este bine ca rezultatul final să-l rotunjim prin lipsă.

### TEMPERATURA AMBIANTĂ MAXIMĂ

Deși nu reprezintă propriu-zis un parametru al dispozitivelor semiconduc-



toare sau al aparatelor electronice în ansamblu, temperatura mediului ambiant,  $t_a$  (notată de obicei  $t_{amb}$ ), are un rol determinant în ceea ce privește „ritmul” disipației termice, limitînd, conform relației (5), puterea maximă „reală” a tranzistoarelor. De aceea, atunci cînd proiectăm un aparat, trebuie să ținem cont neapărat de domeniul scontat de variație a temperaturii ambiante, mai precis de valoarea maximă preconizată,  $t_{amax}$ , ea fiind cea care dictează limita inferioară garantată a puterii maxime de disipație.

Temperatura ambiantă maximă se alege în funcție de destinația aparatului, orientativ între 30°C și 40°C pentru aparatele care urmează să funcționeze în condiții „climatice” normale (laborator, apartament etc.), respectiv între 40°C și 50°C pentru aparatele de uz industrial. Valorile menționate ar putea să pară exagerate, dar să nu uităm că, pe de o parte, aparatul pe care îl proiectăm trebuie (dorim) să poată funcționa la capacitatea maximă în orice anotimp, iar pe de altă parte, din punctul de vedere al componentelor, temperatura ambiantă nu se confundă intru totul cu temperatura din încăperea. Se știe că în interiorul aparatelor, cu toate măsurile de autoventi-

lație, temperatura este de obicei cu cîteva grade mai mare decît în încăperea, din cauza energiei calorice disipate de toate componentele, în special de redresoare, transformatoare, becuri și incandescență, rezistoare etc. De aici și recomandarea, făcută anterior, ca tranzistoarele de putere împreună cu radiatoarele lor să fie amplasate de preferință la exterior, pentru a beneficia (și) de o temperatură ambiantă mai scăzută, deci pentru a li se putea exploata mai bine disponibilitățile de disipație termică.

### DETERMINAREA REGIMULUI TERMIC

Pentru un tranzistor dat, căruia îi cunoaștem parametrii esențiali de catalog, problema determinării regimului termic se poate pune în diferite moduri, în funcție de scopul practic urmărit. În activitatea constructorilor amatori, foarte frecvente sînt situațiile în care se cere să se determine:

1. puterea de disipație maximă a tranzistorului utilizat fără radiator;
2. puterea de disipație maximă în cazul folosirii unui radiator dat, cu sau fără rondelă izolatoare de mică;

(CONTINUARE ÎN NR. VIITOR)

# LAMPĂ DE AVERTIZARE

Fiz. ALEXANDRU MĂRCULESCU

Se știe că un bec care luminează cu intermitență atrage atenția mai bine decât unul — chiar de putere mai mare — care arde continuu. Pe această observație sînt bazate numeroase dispozitive de avertizare optică, frecvența de pîlpire și puterea becului fiind alese în funcție de scopul urmărit.

Alăturat prezentăm o schemă simplă de „lampă filatoare” (fig. 1), care permite acționarea unui bec cu puterea de pînă la 15 W, tensiunea de alimentare fiind de 12-13 V (acumulator auto sau redresor bine filtrat, care debitează un curent maxim de cel puțin 1,5 A). În afară de avertizor de avarii, pe timp de noapte, pentru automobiliștii rămași în „pană”, dispozitivul mai poate fi folosit pentru a semnaliza locuri ce prezintă un anumit pericol de accidentare, instalații sub înaltă tensiune, locuri cu accesul interzis, sau ca divertisment (de exemplu, în vîrfurile pomului de iarnă).

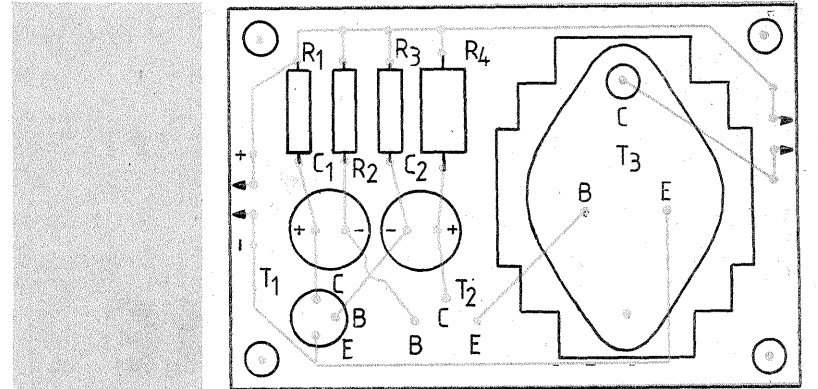
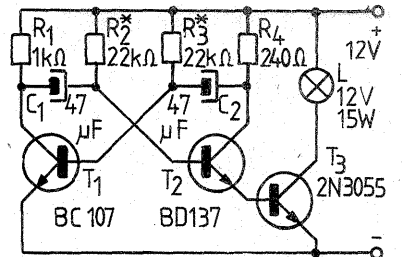
Schema utilizează trei tranzis-

toare npn cu siliciu, de tipuri curente: unul de mică putere (BC107, BC171, BC172 etc.), unul de medie putere (BD135, BD137, BD139, BD237 etc.) și unul de putere (2N3055).  $T_1$ - $T_2$  cu piesele aferente alcătuiesc un multivibrator astabil, avînd perioadele de conducție și de pauză dictate de valorile  $R_2$ - $R_3$  și  $C_1$ - $C_2$ . Practic se vor lua condensatoare egale de 22-47  $\mu$ F la minimum 16 V și, în funcție de frecvența de pîlpire dorită, se aleg experimental rezistențele  $R_2$ - $R_3$ , orientativ între 10 k $\Omega$  și 50 k $\Omega$ . Pentru reglaje se pot monta două rezistențe de 5-10 k $\Omega$  în serie cu cîte un trimmer de 50-100 k $\Omega$ , urmînd ca în final să se măsoare valorile optime și să se înlocuiască grupurile serie prin rezistențe fixe corespunzătoare.

Tranzistorul  $T_3$ , polarizat în bază direct din emitorul lui  $T_2$ , asigură amplificarea necesară pentru acționarea becului de 12 V/15 W. Valoarea rezistenței  $R_4$  (care limitează

curentul de colector al lui  $T_2$  și implicit curentul de bază al lui  $T_3$ ) se tatonează experimental între 200  $\Omega$  și 500  $\Omega$ , în funcție de amplificarea ultimului tranzistor. Pentru  $R_4$  se va folosi o rezistență de cel puțin 1 W, celelalte putînd fi de 0,5 W.

Deși puterea disipată de  $T_3$  nu este prea mare, se recomandă montarea acestui tranzistor pe un radiator de aluminiu cu suprafața de cca 50 cm<sup>2</sup>, care înlătură încălzirea peri-



culoasă la o funcționare îndelungată.

În figura 2 este sugerată o variantă de așezare a pieselor pe plăcuța de montaj, cablajul fiind

clasic (fără circuit imprimat). Desigur, constructorul amator o poate adapta în funcție de gabaritul condensatoarelor disponibile și de dimensiunile radiatorului.

## UTIL

MARK ANDRES

Numărul de spire dintr-o bobină (înfășurare de transformator etc.) poate fi determinat aproximativ prin metode indirecte, cu condiția să se cunoască geometria bobinei și tipul conductorului. Situațiile care impun o astfel de „numărare” nedistructivă sînt rare în practică, dar atunci cînd le înfîlînim ne pot da serios de furcă dacă nu sîntem în cunoștință de cauză.

În continuare vom descrie o astfel de metodă bazată pe măsurarea rezistenței electrice totale a bobinajului,  $R$ , ceea ce implică existența unui ohmmetru de precizie cu domeniul adecvat (eventual punte).

Putem presupune că toate cele  $N$  spire ale bobinei au aceeași lungime, poziție care ne obligă să luăm în considerare lungimea medie,  $l_m$  (respectiv diametrul mediu de bobinare, din care se deduce ușor  $l_m$ ). Dacă notăm cu  $R_1$  rezistența electrică a unei singure spire, rezultă:

$$R = N \cdot R_1 \quad (1)$$

Pe de altă parte, pe baza relației care dă rezistența unui conductor cu secțiunea uniformă avem:

$$R_1 = \rho \cdot \frac{l_m}{S} \quad (2)$$

unde  $\rho$  este rezistivitatea electrică a materialului și  $S$  — aria secțiunii transversale a conductorului.

Pentru conductoarele cu secțiune circulară (cazul cel mai frecvent)

$$S = \frac{\pi d^2}{4} \quad (3)$$

unde  $d$  reprezintă diametrul conductorului considerat fără izolator. Combinînd relațiile precedente, deducem ușor:

$$N = \frac{\pi d^2 R}{4 \rho l_m} \quad (4)$$

formulă valabilă dacă toate mărimile sînt exprimate în unități coerente.

În practică este însă mai comod să exprimăm diametrul conducto-

rului în milimetri, lungimea medie a spirei în centimetri, rezistența totală în ohmi și rezistivitatea materialului în ohmi-metru. Pentru aceste unități, în membrul drept al relației (4) va mai apărea factorul de multiplicare  $10^{-4}$ , după cum vă puteți ușor convinge operînd transformarea din unitățile SI în submultipli amintiți.

Dacă ne limităm numai la bobinele realizate cu conductor din cupru, putem folosi valoarea aproximativă a rezistivității  $\rho = 1,7357 \cdot 10^{-8} \Omega \cdot m$ . Calculînd coeficientul numeric, relația (4) ia în acest caz forma practică:

$$N(\text{spire}) \approx 4525 \cdot \frac{d^2(\text{mm}) \cdot R(\Omega)}{l_m(\text{cm})} \quad (5)$$

Prin urmare, pentru a rezolva problema propusă, trebuie să cunoaștem rezistența totală a bobinei,  $R$ , diametrul conductorului fără izolator,  $d$ , și lungimea medie a unei spire,  $l_m$ .

**Exemplu.** O carcasă cu secțiunea dreptunghiulară, avînd dimensiunile indicate în figură (secțiunea în lungul spirelor), este bobinată cu conductor CuEm, ambele capete ale înfășurării fiind scoase la exterior. Pentru a determina aproximativ numărul de spire,  $N$ , procedăm astfel:

— măsurăm rezistența electrică totală a bobinei,  $R$ ; să zicem că am obținut  $R \approx 221 \Omega$ ;

— măsurăm (cu micrometrul) diametrul conductorului cu izolator; să presupunem că am obținut  $d_{ic} \approx 0,23 \text{ mm}$ , ceea ce corespunde unui diametru fără izolator  $d = 0,2 \text{ mm}$  (există tabele cu corespondența  $d_{ic} - d$ );

— din geometria carcasei deducem lungimea medie a unei spire (linia punctată),  $l_m = 2 \cdot A_{\text{mediu}} + 2 \cdot B_{\text{mediu}}$

$$B_{\text{mediu}} = 2 \left( \frac{A_{\text{maxim}} + A_{\text{minim}}}{2} + \frac{B_{\text{maxim}} + B_{\text{minim}}}{2} \right) = 2(4,5 \text{ cm} + 5,5 \text{ cm}) = 20 \text{ cm};$$

— cu aceste date, din relația (5), obținem:

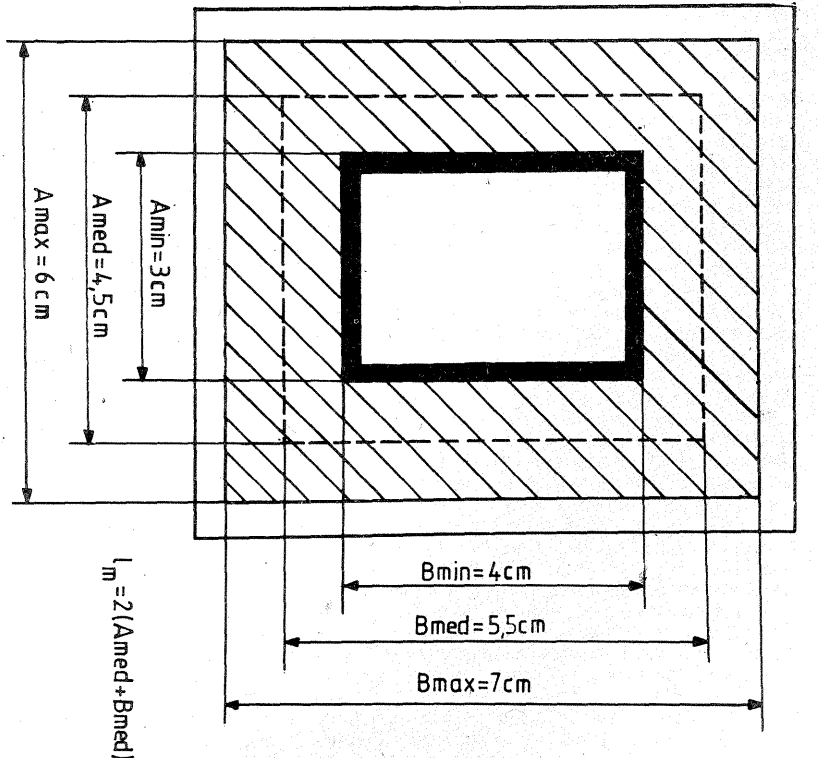
$$N \approx 4525 \cdot \frac{(0,2)^2 \cdot 221}{20} = \frac{40001}{20} \approx 2000 \text{ de spire.}$$

O verificare orientativă a rezultatului se poate face calculînd lungimea totală a conductorului,  $L = N \cdot l_m = 2000 \text{ de spire} \cdot 20 \text{ cm/spiră} =$

400 m și țînînd cont de rezistența pe unitatea de lungime a conductorului CuEm 0,2 mm, care este de cca 0,552  $\Omega/m$ , obținem  $R = 0,552 \Omega/m \cdot 400 \text{ m} = 220,8 \Omega$ , rezultat foarte

apropiat de valoarea măsurată.

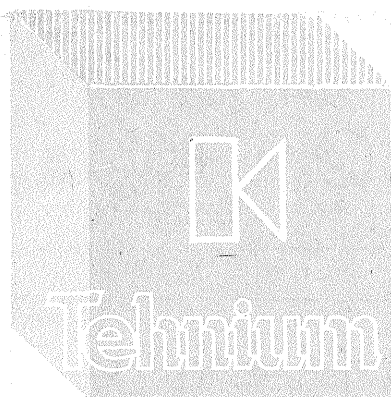
Chiar dacă nu reprezintă o metodă precisă de determinare, procedeul se poate dovedi deosebit de util în unele situații speciale.



Pentru constructorii amatori care recuperează componente electronice din aparate vechi, informațiile din tabelul alăturat se pot dovedi deosebit de utile. Ele redau codul de marcare prin punct colorat a tranzistoarelor EFT 321-323 în funcție de factorul de amplificarea beta.

### EFT

Tranzistorul	EFT 321		EFT 322		EFT 323			
	Culoarea punctului	Roșu	Portocaliu	Galben	Verde	Albastru	Violet	Alb
$h_{21E}(\beta)$	15-35	25-45	35-55	45-65	55-80	70-110	90-150	



# BENZI MAGNETICE

Ing. EMIL MARIAN

Sistemul de imprimare magnetică a informației a căpătat în ultimii ani o răspîndire imensă în aproape toate domeniile științei, tehnicii și culturii. Imprimările frecvențelor cuprinse în banda de audiofrecvență, atât cele profesionale, cît și cele de amatori, predomină datorită bunei calități, ușurinței și preciziei în ceea ce privește informația sonoră. Succesele imprimării magnetice se explică, în mare măsură, prin perfecționarea continuă a purtătorului de informație, adică a benzii magnetice, cît și prin îmbunătățirea tot mai intensă a aparatului de imprimare a benzii magnetice. În primele aparate de acest gen, ca purtător al imprimării magnetice s-au folosit benzile și firele de sîrmă aliate cu oțel carbonic. Ulterior s-au propus și aite feluri de purtători ai informației magnetice, ca de exemplu fire și benzi metalice, discuri de aluminiu cu suprafața de lucru acoperită cu un anumit praf magnetic lipit de acestea cu un liant sau o acoperire galvanoplastică, aceasta conținînd un strat de material magnetic activ etc.

O mare importanță în drumul dezvoltării imprimării magnetice a avut-o descoperirea benzii magnetice pe care a fost lipită cu un adeziv pulberea cu calități magnetice. Banda magnetică, formată dintr-un strat de celuloză acoperit cu un strat de pulbere magnetică, a constituit prima propunere devenită modelul inițial al benzilor magnetice care se utilizează astăzi atât de frecvent. În anul 1935 a apărut pentru prima dată în Germania, la o expoziție de aparataj radiotehnic, magnetofonul, la care, ca purtător de informații, s-a utilizat banda magnetică cu pulbere. În anul 1937 în mod frecvent, posturile de radiodifuziune germane utilizau în exploatare astfel de aparate.

După cel de-al doilea război mondial, producerea și utilizarea benzilor magnetice s-au generali-

zat și în celelalte țări (S.U.A., R.F.G. etc.).

Benzile magnetice realizate în această perioadă pentru imprimarea oscilațiilor sonore conțin un strat activ format din oxid de fier gama, deci stratul activ deține o structură cristalină cubică. Ulterior o soluție superioară a constituit-o producerea benzilor magnetice la care stratul activ a fost constituit din pulbere din ferită de cobalt cu structură cristalină cubică.

Începînd cu anul 1960 se produc industrial benzi cu particule neorientate ale oxidului de fier gama, cu structura cristalină apropiată de forma aciculară.

Majoritatea benzilor descrise pînă acum au ca suport al stratului activ magnetic triacetatul de celuloză, diacetilceluloza sau polietilena tereftalică.

Pentru a cunoaște structura benzii magnetice, este necesar să facem o analiză a modului de realizare a tipurilor de benzi magnetice. Primele benzi magnetice au conținut în structura lor pulberea magnetică, răspîndită în mod cît mai uniform. Materialul, suport al prafului magnetic al benzilor magnetice de acest tip, a fost policlorura de vinil, în care este răspîndită în mod uniform pulberea magnetică. Tipurile și producătorii cei mai cunoscuți ai acestor benzi magnetice sînt:

- banda tip L — firma I.G. FAR-BEN, 1943;
- banda tip L — EXTRA — firma BASF — R.F.G., 1951;
- banda tip EN — firma ANORGANA — R.F.G., 1955;
- banda tip ER — firma ANORGANA — R.F.G., 1955;
- benzi de producție cehoslovacă.

În prezent, acest tip de benzi nu se mai folosește deoarece calitățile lor sînt net inferioare benzilor magnetice cu structură multistrat. Cauza principală a slabei proprietăți magnetice ale benzilor

magnetice cu structura descrisă anterior o constituie concentrarea volumetrică slabă a pulberii magnetice de maximum 10%. O majorare a acestei concentrații nu este posibilă întrucît ar atrage diminuarea rezistenței mecanice și a durabilității benzii.

Cea mai mare răspîndire au căpătat-o benzile magnetice cu structură multistrat. Banda magnetică cu structură multistrat cel mai simplu realizată este formată dintr-o bază-suport pe care este aplicat stratul magnetic activ. Uneori, pentru îmbunătățirea adeziunii stratului activ de bază, se inter pune încă un strat special. Pentru optimizarea calității derulării rapide a benzii, aceasta se tratează astfel încît se obține o rugozitate sporită prin aplicarea unui strat suplimentar de fricțiune sau pe calea unui tratament mecanic de matisare a bazei. În scopul diminuării rugozității stratului activ și pentru a ridica rezistența în ceea ce privește abrazivitatea, la unele dintre benzile magnetice se aplică un strat special de protecție cu grosimea de 1—1,5 μm.

În ultima vreme se folosește metoda de îmbunătățire a proprietăților electroacustice ale benzii care constă în aplicarea cîtorva straturi active neomogene din punct de vedere al proprietăților magnetice. O metodă nouă constă și din aplicarea succesivă a unor straturi magnetice despărțite de straturi nemagnetice. Începînd cu anul 1974, firma americană 3 M produce curent benzi cu structura activă formată dintr-un strat de oxid de fier gama, iar deasupra acestui strat se așază un al doilea strat de oxid de crom. Structura aceasta impune benzii magnetice o caracteristică de frecvență net îmbunătățită comparativ cu celelalte benzi.

Datorită calităților magnetice superioare ale acestui tip de bandă, firma americană 3 M utilizează acest procedeu pentru obținerea benzilor magnetice cu lățimea de 3,31 mm, folosite la casete.

Majoritatea firmelor utilizează ca material pentru „baza” benzilor magnetice multistrat o grupă restrînsă de materiale, care s-a dovedit în mod practic cea mai eficientă. Din această grupă de materiale fac parte diacetilul de celuloză, triacetilul de celuloză, policlorura de vinil și polietilenul tereftalic, acesta din

urmă fiind des utilizat sub următoarele denumiri: mylar (S.U.A.); hostafan (R.F.G.); milynex (Anglia); lavsan (U.R.S.S.); terfan (Franța).

Să analizăm și pulberile magnetice cel mai des folosite în alcătuirea benzii magnetice. În ordinea folosirii lor în timp, aceste materiale sînt următoarele: fier simplu carbonat; magnetita (Fe<sub>3</sub>O<sub>4</sub>); oxidul de fier gama (Fe<sub>2</sub>O<sub>3</sub>); ferita de cobalt; bioxidul de crom; pulberi metalice.

Primele benzi multistrat au folosit fierul carbonic pentru obținerea stratului activ de pulbere magnetică. Ulterior s-a folosit în acest scop magnetita compusă din FeO și Fe<sub>2</sub>O<sub>3</sub>. Această pulbere de culoare neagră cristalizează în sistemul cubic. În ultimul timp, pulberea magnetică a fost înlocuită cu oxidul de fier gama, care implică pulberii magnetice proprietăți mai bune de magnetizare. Unele benzi magnetice folosesc totuși pulberea de magnetită cu particule care au structura aciculară, mai ales pentru fabricarea benzilor magnetice video.

Pulberea magnetică alcătuită din ferită de cobalt se formează prin amestecarea în pulberea de magnetită a fierului bivalent cu cobalt. Similar cu magnetita, ferita de cobalt cristalizează în sistemul cubic. Pulberea magnetică astfel obținută are o culoare mov. În funcție de cantitatea de cobalt folosită, proprietățile magnetice ale acestei pulberi diferă de la caz la caz, situîndu-se însă printre cele mai bune. Benzile care folosesc stratul activ cu această componență se utilizează cu precădere la magnetofonele profesionale. Un inconvenient al acestor benzi îl constituie totuși dependența proprietăților magnetice ale pulberii de temperatura mediului ambiant. Folosind adaosuri speciale, metoda utilizată de firma americană 3 M, se poate totuși ameliora interdependența proprietăților magnetice de temperatură. Astfel s-au obținut benzi cu o energie magnetică superioară.

Benzile care folosesc bioxidul de crom în componența stratului activ magnetic sînt superioare din punct de vedere al proprietăților magnetice în ceea ce privește temperatura. Această pulbere magnetică neagră deține o structură aciculară. Un ultim pas în realizarea benzilor este făcut de obținerea benzilor cu

Ulterior s-au produs schimbări în ceea ce privește modul de notație a benzilor. Noile benzi se notează astfel (primele două litere caracterizează durata imprimării): SP — durata standard; LP — o dată și jumătate; DP — dublă; TP — triplă; QP — cvadruplă; SP — sextuplă; R — atenționează asupra prezenței pe spatele benzii a unui strat suplimentar cu fricțiune, de rezistență electrică redusă; cifrele indică aproximativ grosimea benzii, iar literele de la sfîrșitul marcajului înseamnă: L = zgomot redus (low noise); H = imprimare de nivel mare.

Tipul benzii	Grosimea μm	Caracteristici	Stratul bazei	Culoarea
SPR—50—LH	50	Pentru magnetofone de studio. Zgomot mic, dinamic mare.	PE	neagră
SP—52—P	48	Pentru magnetofone de studio. Efectul de imprimare redus.	PE	—
LP—35—LH	35	Pentru magnetofone de studio, zgomot redus.	PE	—
LPR—35—LH	35	Magnetofone profesionale și aplicații pretențioase, condiții HI-FI, zgomot mic.	PE	neagră
DP—26	26	Pentru aplicații la îndemîna marelui public.	PE	—
DP—26—LH	26	Pt. aplicații la îndemîna marelui public, plus zgomot redus.	PE	—
TP—18	18	Casetofone, aplicații nepretențioase.	PE	—
TP—18—LH	18	Casetofone, aplicații nepretențioase, plus zgomot redus.	PE	—
LP—35	35	Magnetofone cu putere mare de întindere a benzii.	PE	—



strat activ din pulberi metalice, „benzile metalice”, care datorită unei compoziții minuțios alese îmbină toate avantajele în ceea ce privește energia magnetică, dependența cu temperatura și caracteristica de frecvență atât de importantă

la un aparat electroacustic.

Parametrii citorva benzi americane produse de firma 3 M:

Prescurtări: DAC = diacetil celuloză  
PE = polietilen tereftalic

Tipul	Grosimea $\mu\text{m}$	Particularități	Materialul bazei	Culoare
SCOTCH 111	49	Pentru magnetofonele de studio.	DAC	galben
SCOTCH 102	47	Pentru magnetofonele de studio. Durabile mecanic și climateric.	PE	mov
SCOTCH 120	53	Pentru magnetofonele de studio. Imprimări de nivel ridicat.	DAC	verde închis
SCOTCH 122	53	Pentru magnetofonele de studio. Imprimări cu nivel ridicat. Influențează temperatura ambiantului.	PE	verde închis
SCOTCH 131	46	Pentru magnetofone de studio. Slabe din p.d.v. al imprimării.	DAC	roșu brun
SCOTCH 138	47	Pentru magnetofone de studio. Slabe din p.d.v. al imprimării. Rezistă bine la $\Delta t$ .	DAC	roșu brun
SCOTCH 201	49	Pentru magnetofone de studio. Nivel de zgomot redus.	DAC	negru brun
SCOTCH 202	50	Pentru magnetofone de studio. Zgomot de fond redus. Rezistă la $\Delta t$ .	PE	negru
SCOTCH 206	54	Pentru magnetofone de studio. Nivel de zgomot redus. Imprimări cu dinamică bună. Rezistă la $\Delta t$ .	PE	negru
SCOTCH 150	83	Reportaje și aplicații de toate zilele. Rezistă la $\Delta t$ .	DAC	roșu închis
SCOTCH 203	37	Reportaje. Aplicații de toate zilele. Nivel de zgomot redus.	PE	negru brun
SCOTCH 200	26	Reportaje. Aplicații de toate zilele.		roșu închis
SCOTCH 190	34	Magnetofone pentru reportaje. Aplicații casnice.	DAC	roșu închis

**Benzi magnetice produse de firma BASF.** La vechile tipuri de benzi produse de firma BASF prima și a doua literă din cadrul notației indică materialul și caracteristicile „bazei”, astfel: L = luviterm; PE = polietilen tereftalic; G = denumirea comercială a peliculei din policlorură de vinil; R banda este destinată transmisiilor radio; cifrele = indică grosimea benzii.

Tipul benzii	Grosimea $\mu\text{m}$	Caracteristici	Materialul bazei	Culoarea
LGR	51	Magnetofone de studio. Efect mic de imprimare.	PVC	roșu deschis
LGR-30P	50	Magnetofone de studio. Imprimări de nivel mare.	PE	roșu deschis
LR-56	56	Magnetofone de studio. Imprimări de nivel mare.	PVC	galben
LR-56P	56	Magnetofone de studio. Imprimări de nivel mare. Durabil la factori chimici	PE	galben
LGS-52	47	Magnetofone de studio sau utilizări zilnice obișnuite.	PVC	roșu închis

În ultimul timp, sistemul de notare s-a schimbat. Se folosesc o combinație de cifre și litere și culori diferite ale benzii.

**Firma AGFA**

Tipul benzii	Grosimea $\mu\text{m}$	Caracteristici	Materialul bazei	Culoarea
LGS-35	35	Imprimări pt. reportaje și utilizări de toate zilele.	PVC	brun roșcat
PES-35	38	Imprimări pt. reportaje și utilizări casnice. Rezistă bine la factori climaterici.	PE	brun închis
PES-35-LH	35	Imprimări pt. reportaje și utilizări casnice. Rezistă bine la factori climaterici. Zgomot mic.	PE	brun închis
PES-26	26		PE	brun închis
PES-18	18		PE	

Firma AGFA-GEVAERT își notează benzile sale magnetice utilizând o combinație de litere și cifre cu următoarea semnificație: primele două litere: materialul „bazei”; R — aplicații radio; — (o cifră în plus); — pe partea pasivă e aplicat un strat de fricțiune.

Tipul benzii	Grosimea $\mu\text{m}$	Caracteristici	Stratul bazei	Culoarea
PER-525	52	Magnetofone de studio. Zgomot mic. Efect de imprimare redus. Partea pasivă matisată.	PE	roșu
PER-525 STEREO	52	Magnetofone de studio. Zgomot mic. Imprimări cu nivel mare. Partea pasivă matisată.	PE	roșu
PER-555	55	Magnetofone de studio. Nivel de imprimare mare. Partea pasivă matisată.	PE	alb
PE-31	34	Magnetofone pentru utilizări casnice, reportaje etc.	PE	—
PE-36	32	Magnetofone pentru utilizări casnice, reportaje etc. Zgomot redus.	PE	—
PE-41	24	Utilizări casnice, casetofone.	PE	—
PE-46	25	Utilizări casnice, casetofone. Zgomot redus.	PE	—
PE-65	18	Utilizări casnice, casetofone.	PE	—
PE-66	18	Utilizări casnice. Zgomot redus.	PE	—

Firma ORWO utilizează un sistem de notare al benzilor magnetice folosind codificarea următoare (vechea notație): prima literă — materialul „bazei”; C — acetil celuloză; P — polietilen tereftalic; litera a doua — tipul pulberii magnetice; R — cristalizare sferică a particulelor; S — forma aciculară a particulelor; cifrele — grosimea benzii; litera U — indicații asupra absenței protecției; cifra finală — lățimea benzii (mm).

Se mai utilizează o literă suplimentară uneori, când se dădea indicații asupra folosirii unui liant special, și anume litera P. În prezent, firma ORWO utilizează trei

cifre pentru notarea benzilor:

- prima cifră — domeniul de aplicare:
  1. imprimări de sunete
  2. benzi marcate (perforate)
  3. benzi speciale
  4. benzi ajutoare fără strat activ

— a doua cifră — durata imprimării:

- 0. standard
- 1. 1 și 1 1/2
- 2. double-play
- 3. triple-play

— cifra a treia — de rezervă pentru semnificația unor îmbunătățiri și tratamente ulterioare

**Tabel cu benzile ORWO (notația veche și nouă)**

Tipul benzii	Grosimea $\mu\text{m}$	Caracteristici	Materialul bazei	Culoarea
CPR-50-U6 100	50	De studio.	DAC	—
CPR-35-U6 110	35	Utilizări casnice. Caracteristică bună de frecvență.	DAC	—
CPS-35-U6 112	35	Utilizări casnice.	DAC	—
PS-125 120	25	—	PE	—
PS-18 130	18	Utilizări la casetofone.	PE	—

Sistemul de notație al benzilor magnetice utilizat de firma cehoslovacă EMGETON este asemănător cu sistemul firmei BASF. Pentru benzile cu zgomot redus se utilizează notația suplimentară LN.

Firma franceză KODAK-PATHE utilizează pentru benzile magnetice un sistem de notație compus dintr-o literă și trei cifre.

— litera caracterizează materialul „bazei”;  
T = triacetatul de celuloză;  
P = polietilenul tereftalic;  
V = policlorură de vinil.

— cifrele caracterizează durata imprimării:

- 100 = standard;
- 150 = 1 și 1 1/2;
- 200 = dublă;
- 300 = triplă;
- 600 = sextuplă;

Litera D de la sfârșitul notației indică prezența, pe stratul pasiv al benzii, a unui strat suplimentar de fricțiune.

Sistemul de notație al benzilor sovietice a fost reglementat prin GOST — 17.204—71.

Conform acestui standard, tipul de bandă este precizat prin 5 elemente.

- primul element — domeniul de lucru al benzii:  
A = imprimări de sunete;  
T = imprimări video;  
B = imprimări pentru calculatoare;  
I = imprimări de înaltă precizie.

— al doilea element indică materialul „bazei”:

- 2 = diacetat de celuloză;
- 3 = triacetat de celuloză;
- 4 = polietilen tereftalic.

— al treilea element indică grosimea benzii:

- 2 = 18  $\mu\text{m}$ ;
- 3 = 27  $\mu\text{m}$ ;
- 4 = 37  $\mu\text{m}$ ;
- 6 = 55  $\mu\text{m}$ ;
- 9 = mai mare de 100  $\mu\text{m}$ .

— al patrulea element reprezintă un indice numeric ce indică numărul de prelucrări tehnologice (cuprins între 0,1 și 99).

— al cincilea element indică valoarea numerică a lățimii benzii în milimetri.

După al cincilea element apare un indice lateral suplimentar care are semnificația: P = pentru benzile perforate; R = pentru benzile radio; B = pentru benzile folosite în aplicațiile casnice.

#### DIMENSIUNILE BENZILOR MAGNETICE

Dimensiunile unei benzi magnetice au rezultat în urma folosirii în diverse domenii de aplicabilitate. În urma unor numeroase experimentări, s-a ajuns la un set de dimensiuni respectate de toate firmele. Primele benzi magnetice aveau lățimea de 6,35 mm, iar țările europene

(CONTINUARE ÎN PAG 23)







## MATRICE DE LUMINI DINAMICE CU MEMORIE "EPROM"

(URMARE DIN NUMĂRUL TRECUT)

Pentru a porni de la un anumit model sau pentru a repeta un anumit model, comutatoarele  $F_1, F_2, \dots, F_n$  se aduc în poziția corespunzătoare adresei binare unde se află începutul unui model, iar apoi, prin apăsarea butonului  $K_1$ , aceasta este introdusă în numărator. Pentru a evita contacte multiple la butoane s-au introdus circuitele  $S_1, S_2, \dots$ .

Data aflată pe  $Q_i$  a EPROM-ului ajunge prin inversoarele  $I_1, I_2$  la intrările de date ale celor 26 de circuite bistabile. La terminarea validării DMUX, informația prezentă pe intrările  $D$  este transmisă la ieșirea circuitelor bistabile. Când este adresat CBB 26, prin inversoarele  $I_1, I_2$ , memoria tampon formată din CBB 1, ... CBB 25 este ștearsă, ieșirile  $Q$  trecând în „0” logic.

**Programul (fig. 4) și exemple din modele (fig. 5).** În primul kbyte al memoriei EPROM se găsește programul din figura 4. Dacă se dorește folosirea tuturor celor 2048 de adrese, intrarea  $A_{10}$  a EPROM-ului se desface de la masă și se conectează la  $Q_i$  a celui de-al treilea CBB 4193, iar aducerea la zero se deconectează de la ieșirea  $Q_i$  a număratorului și se leagă la ieșirea  $Q_i$  nefolosită în această schemă. Programul este prezentat în sistem hexazecimal și, pentru a înțelege funcționarea, se face trecerea fiecărei date în sistem binar, iar apoi se vede care sînt biții de adresare a becurilor, data și biții de pauză. Conversia din hexazecimal în binar se face scriind fiecare cifră hexazecimală în binar, una după alta. De exemplu, în figura 5, pentru primul model în program găsim la adresa 000 data 77, ceea ce în binar înseamnă 01110111. Împărțind acum data în biții corespunzători, primii cinci 10111 reprezintă adresarea becului 23, al șaselea arată că becul se va aprinde, al șaptelea arată că urmează pauza 2, iar ultimul arată că nu urmează pauza 1. La următoarea adresă 001 găsim în program 17 în hexazecimal deci 00010111 în binar. Această dată la ieșirea EPROM înseamnă stingerea becului 23 și continuarea fără pauză a programului. La următoarea adresă găsim 37, adică 00110111 în binar. Becul 23 este din nou aprins și se continuă fără pauză. Mai departe, 32 înseamnă 00110010, adică aprinderea becului 10010, deci becul 18 și continuarea fără pauză. 38 înseamnă 00111000, adică aprinderea becului 24 și continuarea fără pauză. 76 în-

seamnă 01110110, deci aprinderea becului 10110, adică becul 22. urmată de o pauză scurtă (pauza 2). S-a arătat astfel cum se formează primele două elemente ale primului model din figura 5. În EPROM sînt înmagazinate 22 de modele. Cititorii interesați pot proceda ca mai sus pentru a vedea tot ce se găsește în EPROM și eventual să continue completarea celui alt kbyte lăsat liber.

Pentru programarea memoriilor EPROM se va prezenta în numerele viitoare o schemă simplă, accesibilă oricărui amator.

**Comandă combinată cu orga de lumini (fig. 6).** Dacă se dorește ca lumina dinamică să capete și culoare, în fiecare modul se introduc trei becuri colorate care se comandă ca în figura 6. Semnalele  $R, G, A$  sînt formate din ieșirile filtrelor de la orice orgă de lumini, cu ajutorul unor circuite corespunzătoare la sosirea tactului și în prezența lui „0” logic la intrarea  $D$  (adică  $Q_i$  al EPROM în „1”).

Notațiile  $D, R, M, N$  corespund pentru un singur modul celor din figura 3. Deci, înlocuind circuitele între punctele respective, se obține noua variantă. Schema nu a fost în-

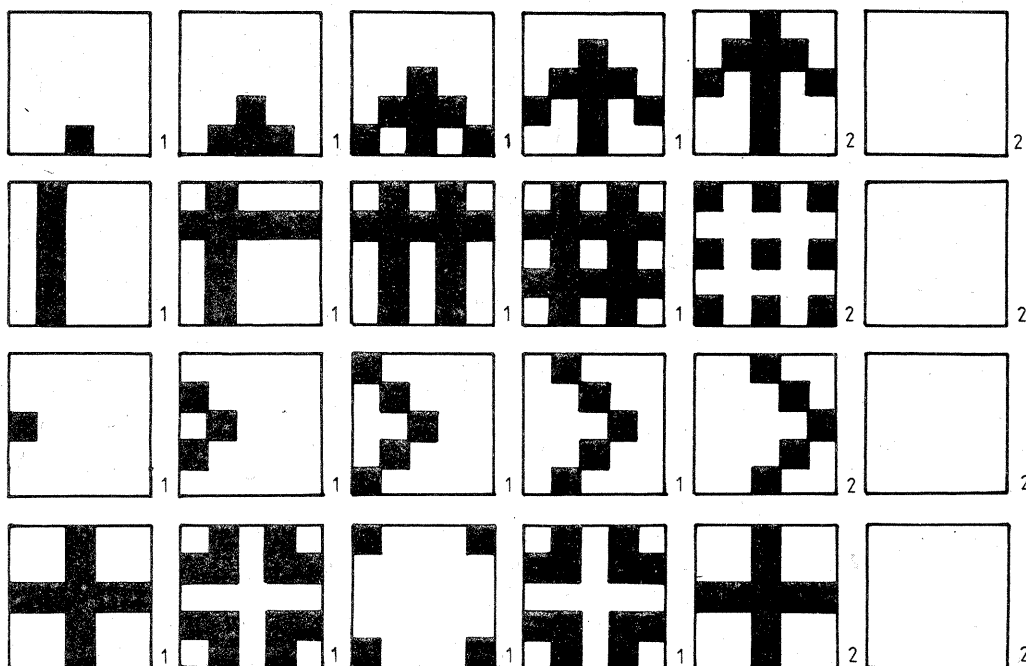
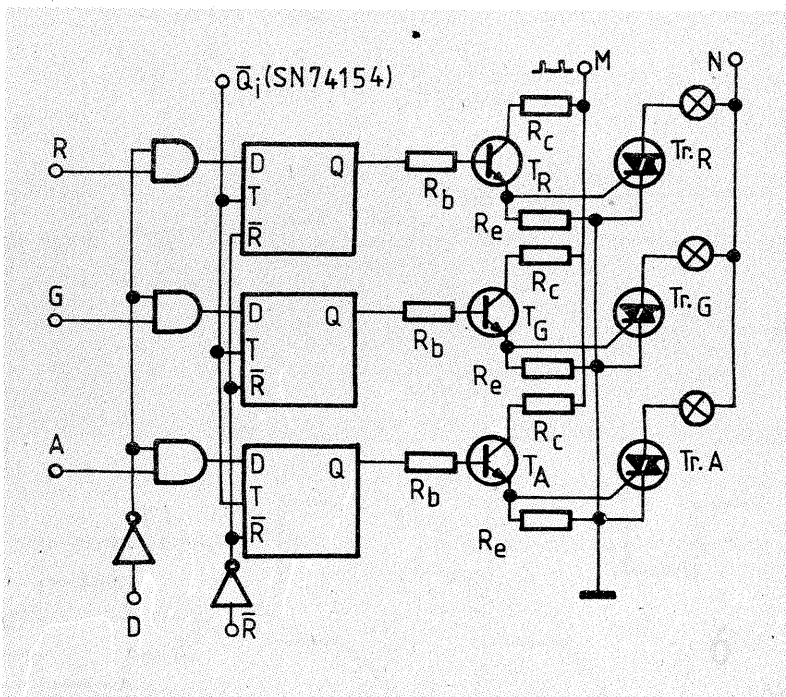
cercată în această versiune deoarece sînt necesare 75 de triace și de asemenea soluții mecanice mai complexe pentru amplasarea becurilor.

Se poate renunța și la circuitul detector de zero, deconectîndu-l de la punctele  $Y, W$  și  $M$  și legînd circuitele de comandă direct la alimentarea de +5 V (adică  $M$  cu  $W$ ), dar paraziții vor fi simțiți puternic la numărul mare de triace și consumul montajului va crește,  $T_1, \dots, T_{15}$  con-

ducînd tot timpul cît  $\bar{Q}$  al CBB1... CBB 25 este în „1” logic.

### BIBLIOGRAFIE:

„Elektron”, nr. 1/1981  
Siemens: „Digitale schaltungen-Datenbuch”, 1976/1977  
Sanda Maican: „Sisteme numerice cu circuite integrate”, Editura tehnică, 1980.



Exemple:

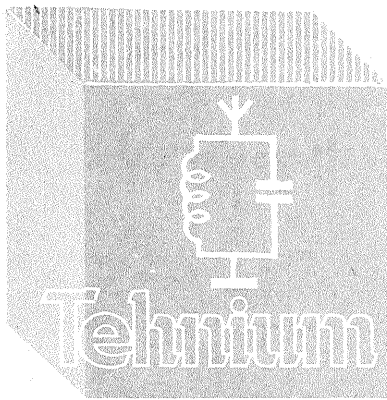
model 1  
adrese: 000+021

model 11  
adrese: 1CB+1E2

model 12  
adrese: 1E3+1FA

model 22  
adrese: 3CB+3FD





CQ-YO

# EMITĂTOR + RECEPTOR 144 MHz

Ing. GEORGE PINTILIE, YO3AVE

În ultimul timp am simțit nevoia unui receptor cu emițător pe o singură placă, de construcție relativ simplă, care să se alimenteze de la o sursă de 12 V și să fie realizat cu minusul la masă. Acest lucru mi-a fost necesar în special în condiții de portabil, unde se pot folosi fie două seturi de câte 9 baterii de tipul R20 legate în paralel, fie un acumulator tip auto, fie două acumulatori de motocicletă (de 6 V fiecare). De asemenea a trebuit ca emițătorul să fie de ordinul a 5 W, putere multumitoare pentru portabil (cum menționam anterior). Pentru economie de energie electrică, am realizat emițătorul numai cu modulație de frecvență — bandă îngustă (MFBI).

A fost obligatorie condiția ca înțreg aparatul să fie realizat cu minusul la masă, cu toate că astfel au fost necesare o serie de precauții suplimentare, întrucât autoturismele au legat polul negativ al acumulatorului la șasiu și, în al doilea rând, în cazul folosirii unui amplificator separat de putere cu tranzistoare corespunzătoare, aceste tranzistoare pot funcționa corect și pot ceda o putere conform parametrilor din catalog numai dacă emițătoarele sînt le-

gate direct la șasiul aparatului, adică la polul negativ.

Aparatul prezentat se alimentează deci de la o sursă de 12 V, dar poate funcționa în limitele 10—15 V (tensiuni limită admisibile). La tensiunea nominală are o putere input de 4,5—5,5 W, în care caz consumă în regim de emisie circa 0,7 A, iar în regim de recepție maximum 60 mA. Sensibilitatea receptorului este de ordinul a 1  $\mu$ V. Receptorul este prevăzut cu reglaj automat și manual al sensibilității. Pot fi audiate ațit emisiunile cu modulație de amplitudine, cît și cele cu modulație de frecvență (sau de fază) cu banda îngustă; în acest caz este folosită metoda demodulației de frecvență (fază) cu circuitul oscilant dezacordat.

Aparatul este prevăzut cu un stabilizator încorporat de 9V, de la care se alimentează toate oscilatoarele, precum și traseele de frecvență intermediară ale receptorului.

Pentru realizarea receptorului am folosit, în principiu, una din schemele prezentate de autor în revistă, care a dat bune rezultate, cu mențiunea că a fost modificat sistemul de alimentare (să fie cu minusul la masă).

Receptorul este de tipul superheterodină cu dublă schimbare de frecvență. Tranzistorul T<sub>1</sub> (BF200) amplifică semnalele culese de antenă și le aplică la baza primului mixer realizat cu T<sub>2</sub> (BF200). Pe emițătorul mixerului se aplică semnalul de la oscilatorul local cu frecvența variabilă (T<sub>3</sub>—BF216) cuprinsă în limitele 137,5—139,5 MHz.

În colectorul mixerului se culege semnalul primei frecvențe intermediare de 6,5 MHz. La ieșirea mixerului se află un filtru trece-bandă format din L<sub>5</sub> și L<sub>6</sub>, împreună cu capacitățile aferente.

Semnalul cu frecvența de 6,5 MHz se aplică pe baza celui de-al doilea mixer (T<sub>4</sub> — BF215) de tipul autooscilator. Frecvența celui de-al doilea oscilator (L<sub>7</sub> — C<sub>14</sub>) este de 6 970 kHz. În colectorul mixerului se obține cea de-a doua frecvență intermediară de 470 kHz, care este amplificată de tranzistoarele T<sub>5</sub> și T<sub>6</sub>. Pe baza lui T<sub>5</sub> se aplică semnalul de reglaj automat (și manual) al amplificării — RAA — prin intermediul potențiometrului R<sub>13</sub>. În aparat există o sursă de tensiune constantă de 2 V obținută cu diodele D<sub>2</sub>—D<sub>4</sub> legate în conducție directă și rezistorul R<sub>20</sub> (3,3 k $\Omega$ ). În lipsa unui semnal la intrare, tranzistorul T<sub>5</sub> este deschis de această tensiune prin intermediul rezistoarelor R<sub>22</sub>—R<sub>23</sub>—R<sub>13</sub>—R<sub>14</sub> și amplificarea este maximă.

Cînd apare un semnal la intrare, deci și la capetele bobinei L<sub>13</sub>, dioda detectoare D<sub>1</sub> redresează acest semnal, dar cu o polaritate inversă față de cea a tensiunii de 2 V. În acest mod, pe baza tranzistorului T<sub>5</sub> se va micșora tensiunea de polarizare, ceea ce conduce la micșorarea coeficientului de amplificare, deci se realizează un reglaj automat al amplificării (RAA). Cum s-a mai menționat, amplificarea poate fi reglată și manual, cu ajutorul potențiometrului R<sub>13</sub>.

Amplificatorul de ascultare este realizat cu tranzistoarele T<sub>7</sub>—T<sub>10</sub> și este alimentat numai în regim de recepție (pentru economie de energie electrică).

Emițătorul pornește de la oscilatorul cu frecvența variabilă cuprinsă în limitele 18,000—18.250 MHz, realizat cu tranzistorul T<sub>11</sub> (BC173), și este urmat de un repetor pe emițător și un amplificator separator realizate cu tranzistoarele T<sub>15</sub> și T<sub>16</sub>. Acestea sînt alimentate continuu de la sursa stabilizată de 9V.

În continuare urmează trei dubloare de frecvență (T<sub>17</sub>—T<sub>18</sub>—T<sub>19</sub>) unde se obțin frecvențele de 36, 72 și 144 MHz. Următoarele etaje (T<sub>20</sub>—T<sub>23</sub>) sînt amplificatoare ale semnalelor cu frecvența de 144 MHz. Acestea sînt alimentate cu tensiunea de 12 V numai în regim de emisie.

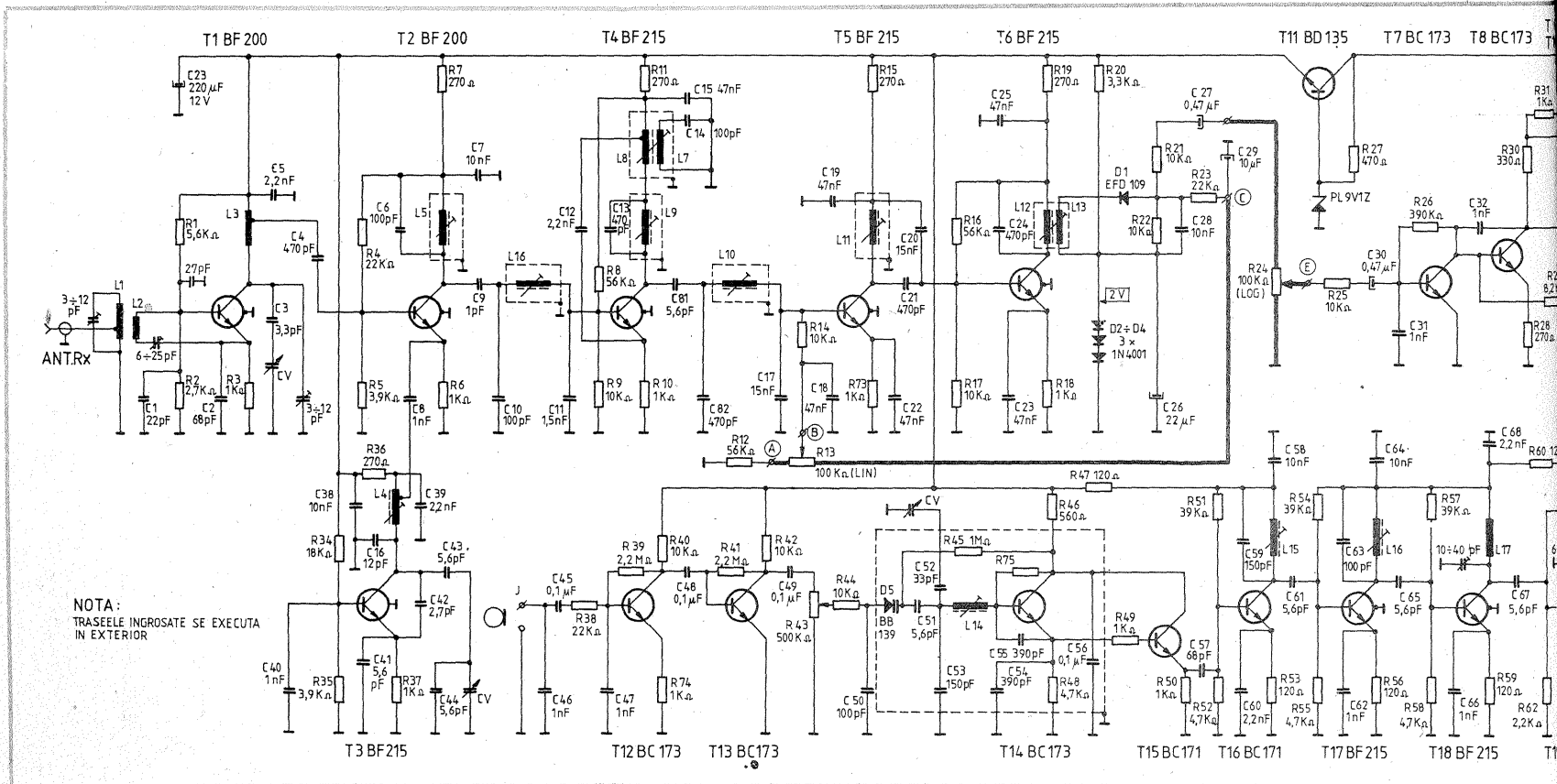
Tranzistorul prefinal (T<sub>22</sub>) consumă un curent de 90—110 mA, iar cel final un curent de 450 mA. Aceste două tranzistoare trebuie prevăzute cu radiatoare corespunzătoare. Datorită prezenței circuitului acordat (L<sub>24</sub>—C<sub>80</sub>) la ieșire, în caz de lipsă de sarcină (borna antenei deconectată), curentul etajului final scade substanțial, la mai mult de două ori; aceasta se traduce printr-o „protecție” a tranzistorului final, în cazul lipsei antenei, fapt destul de important pentru radioamatori.

Modulația de frecvență se realizează cu dioda varicap D<sub>5</sub> de tipul BB139, care se aplică direct pe oscilatorul local, în serie cu condensatorul C<sub>51</sub> (5,6 pF). Mărimea deviației de frecvență se poate regla cu potențiometrul semireglabil R<sub>3</sub> (500 k $\Omega$ ), care se află conectat la ieșirea amplificatorului de microfon (tranzistoarele T<sub>12</sub> și T<sub>13</sub>).

## Realizare

Cablajul imprimat este prezentat la scara 1:1. Pentru ușurarea muncii de executare a cablajului vă recomandăm să decupați din revistă desenul cablajului imprimat și să-l aplicați pe fața placată cu folie de cupru a plăcii. Desenul este reprezentat privind din partea cablajului (nu din partea unde se montează piesele). După aplicarea desenului, „înțepați” cu un obiect ascuțit în punctele unde trebuie să practicați găurile. După aceea trebuie executate toate aceste găuri cu un spiral de 1 mm. În continuare vor trebui lărgite unele găuri: pentru condensatoarele trimer la un diametru de 1,5 mm, pentru prinderea celor două condensatoare variabile la 3,3 mm, pentru contactele releului la 2,4 mm ș.a.m.d.

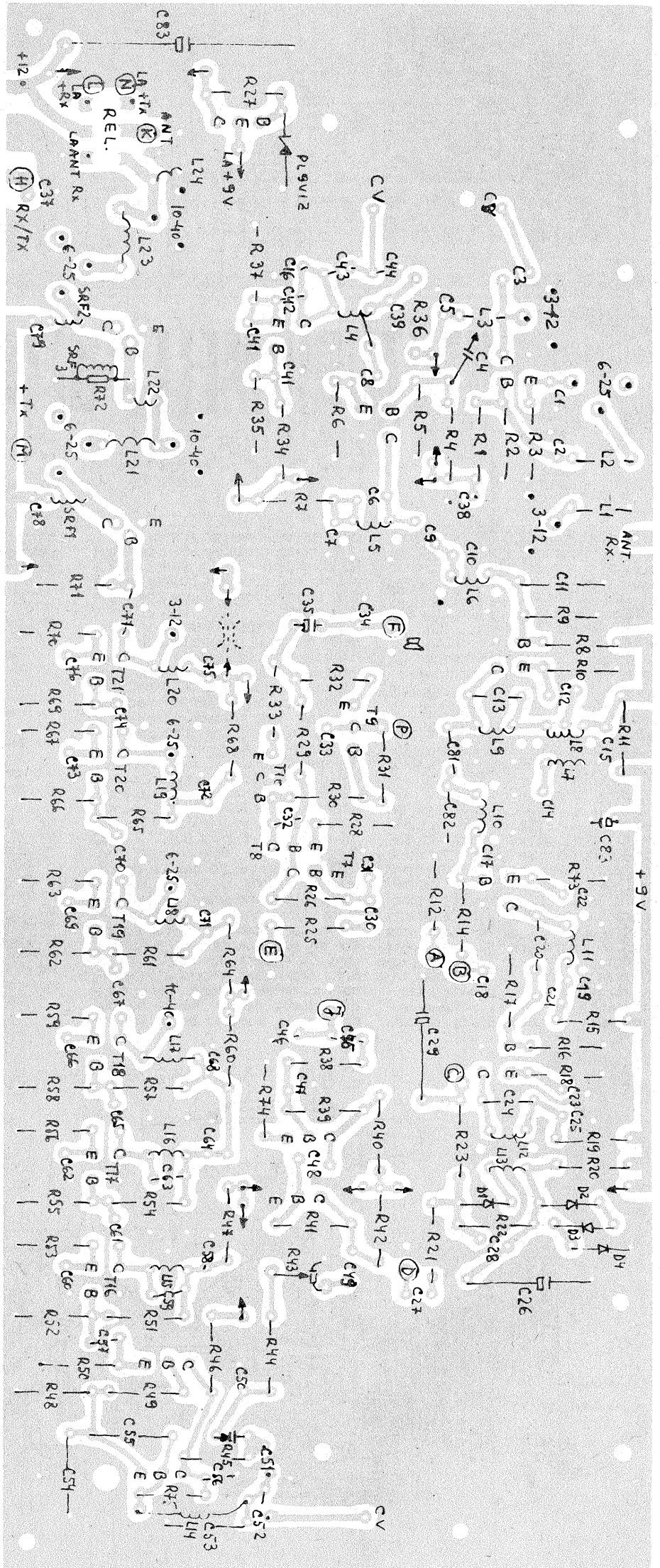
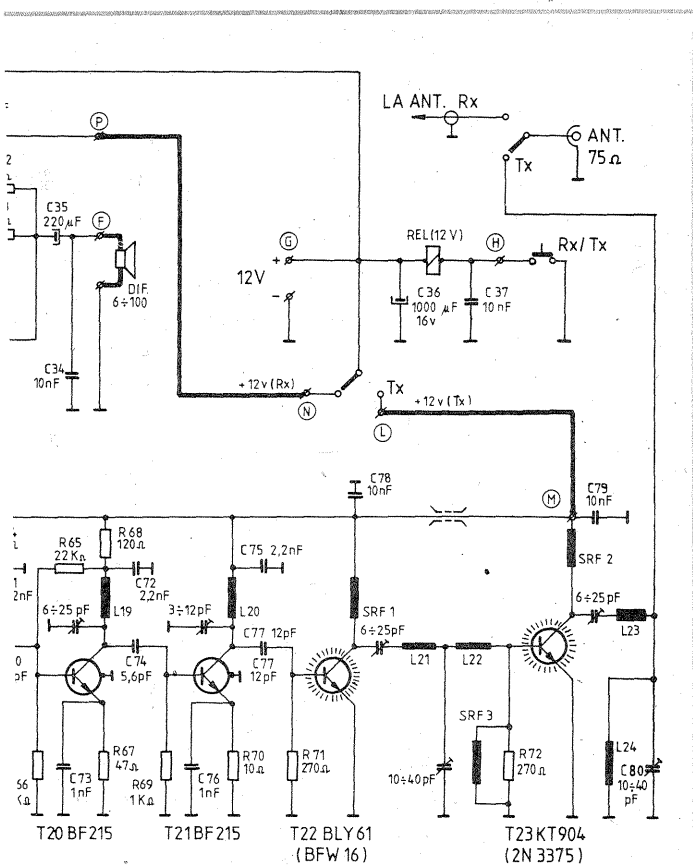
După ce toate găurile au fost executate, suprafața cuprată trebuie bine șlefuită cu un șmirghel foarte fin. După aceea se desenează circuitele cablajului imprimat, folosind o pensulă fină (nr. 2), cu tuș gudron (smoală dizolvată în tiner, toluen, acetona). Cînd desenul este gata, se corodează placa în soluție de clorură ferică. După terminarea coro-

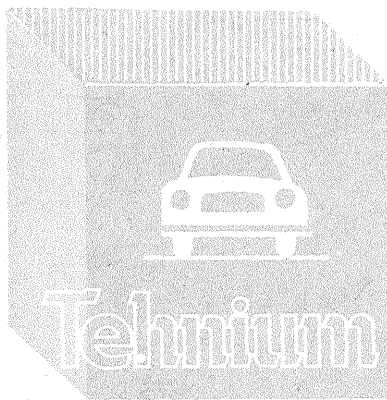


dării, placa se spală de tuș cu aceiași dizolvant folosit. În continuare se decapează fața cuprată prin frecare ușoară cu un șmirghel foarte fin, după care se spală bine cu apă și săpun de toaletă. Imediat după uscare (prin ștergere cu hirtie curată), se acoperă cu un strat protector de colofoniu dizolvat în spirt rafinat concentrat (80°). Uscarea acestui strat protector durează circa 30 de minute. În continuare urmează amplasarea pieselor pe partea opusă cablajului imprimat.

Releul este de tipul miniatură; de 12 V, cu două contacte, fiecare cu două poziții. Un contact este folosit la comutarea antenei, iar celălalt la comutarea tensiunii de 12 V, la emițător sau amplificatorul de ascultare (recepție).

Bobina	Nr. spire	Conductor	Diametrul bobinei (mm)	Carcasă	Observații
L <sub>1</sub>	6	∅ 0,9 CuEm	6	Fără carcasă	Priză la spira 1,5
L <sub>2</sub>	6	∅ 0,9 CuEm	6	Fără carcasă	—
L <sub>3</sub>	4	∅ 0,9 CuEm	6	Fără carcasă	Priză la spira 1
L <sub>4</sub>	2,75	∅ 0,9 CuEm	5	Bobină UUS — „Gloria”	Priză la spira 0,25
L <sub>5</sub> ; 6	16	∅ 0,15 CuEm	—	Bobină FI-470 kHz	—
L <sub>7</sub>	14	∅ 0,15 CuEm	—	Bobină FI-470 kHz	—
L <sub>8</sub>	1+3	∅ 0,15 CuEm	—	Bobină FI-470 kHz	L <sub>7</sub> peste L <sub>8</sub>
L <sub>9</sub> ; 10; 11; 12	100	∅ 0,09 CuEm	—	Bobină FI-470 kHz	—
L <sub>13</sub>	70	∅ 0,09 CuEm	—	Bobină FI-470 kHz	L <sub>13</sub> peste L <sub>12</sub>
L <sub>14</sub>	15	∅ 0,2 CuEm	5	Carcasă FI-10,7 „Gloria”	—
L <sub>15</sub>	9,75	∅ 0,5 CuEm	5	Carcasă FI-10,7 „Gloria”	—
L <sub>16</sub>	5,75	∅ 0,5 CuEm	5	Carcasă FI-10,7 „Gloria”	—
L <sub>17</sub>	7	∅ 0,9 CuEm	6	Fără carcasă	—
L <sub>18</sub> ; 19; 20	3	∅ 0,9 CuEm	6	Fără carcasă	—
L <sub>21</sub> ; 23	5	∅ 0,9 CuEm	6	Fără carcasă	—
L <sub>22</sub>	1,25	∅ 0,9 CuEm	6	Fără carcasă	—
L <sub>24</sub>	2,75	∅ 0,9 CuEm	6	Fără carcasă	—





# AUTO-MOTO

## AUTOTURISMELE "OLTCIT"

### MOTOARELE

Autoturismele OLTCIT sînt echipate cu motoare în patru timpi, cu aprindere prin scînteie și răcire cu aer. Ambele motoare, codificate M-031 și M-036, cu cilindrul de 652 cm<sup>3</sup> și, respectiv, 1 130 cm<sup>3</sup>, sînt asemănătoare constructiv, fiind de tipul boxer (cu cilindri opuși).

În figura 1 se prezintă caracteristicile exterioare ale motoarelor. Aceste tipuri de motoare au fost produse în uzinele „Citröen”, în milioane de exemplare, soluțiile constructive fiind îmbunătățite pe parcursul fabricației, ceea ce a contribuit la creșterea durabilității pieselor și a fiabilității lor în exploatare.

Astfel, la motorul clasic, cu care „Citröen” a echipat o gamă largă de autoturisme (2 CV, Dyane s.a.), s-a mărit cilindrul de la 602 la 652 cm<sup>3</sup>, înlocuindu-se cilindrii din fontă cu cilindri din aluminiu (greutate mai mică, evacuare mai bună a căldurii). Suprafața interioară a cilindrilor s-a acoperit cu un strat din aliaj pe bază de nichel, rugozitatea suprafeței scăzînd de la 4-7 μm la 1-3 μm, mărindu-se în acest fel rezistența la uzură și fiabilitatea ansamblului. Jocul funcțional pistoanelor-cilindri, precum și calitatea suprafețelor (rugozitatea) sînt realizate

prin rodaj tehnologic unitar.

Soluția constructivă cu arbori cotiți constituiți din mai multe părți a permis realizarea unor biele simple și a unor motoare foarte compacte în lungime.

Pentru îmbunătățirea unor parametri principali ai funcționării motorului M-031, constructorul a adoptat sistemul de aprindere electronică integrală, care reduce consumul de combustibil și poluarea mediului ambiant, ameliorează pornirea la rece a motorului, reduce uzura ș.a. Tot pentru a ușura pornirea și funcționarea motorului la rece, s-a montat un filtru de aer prevăzut cu un sistem de reglare a temperaturii aerului proaspăt la 37°C ± 3°C pentru un domeniu de temperaturi ale aerului ambiant cuprins între - 20°C și + 30°C.

Față de sistemele clasice de alimentare-carburare, motoarele OLTCIT sînt echipate cu carburatoare dublu corp cu deschidere în trepte, care răspund cerințelor actuale de economicitate și poluare a mediului ambiant, fiind dotate cu diferite dispozitive: amortizor de închidere a clapetei primare, ventil electromagnetic pentru închiderea circuitului de amestec pe jiclorul de

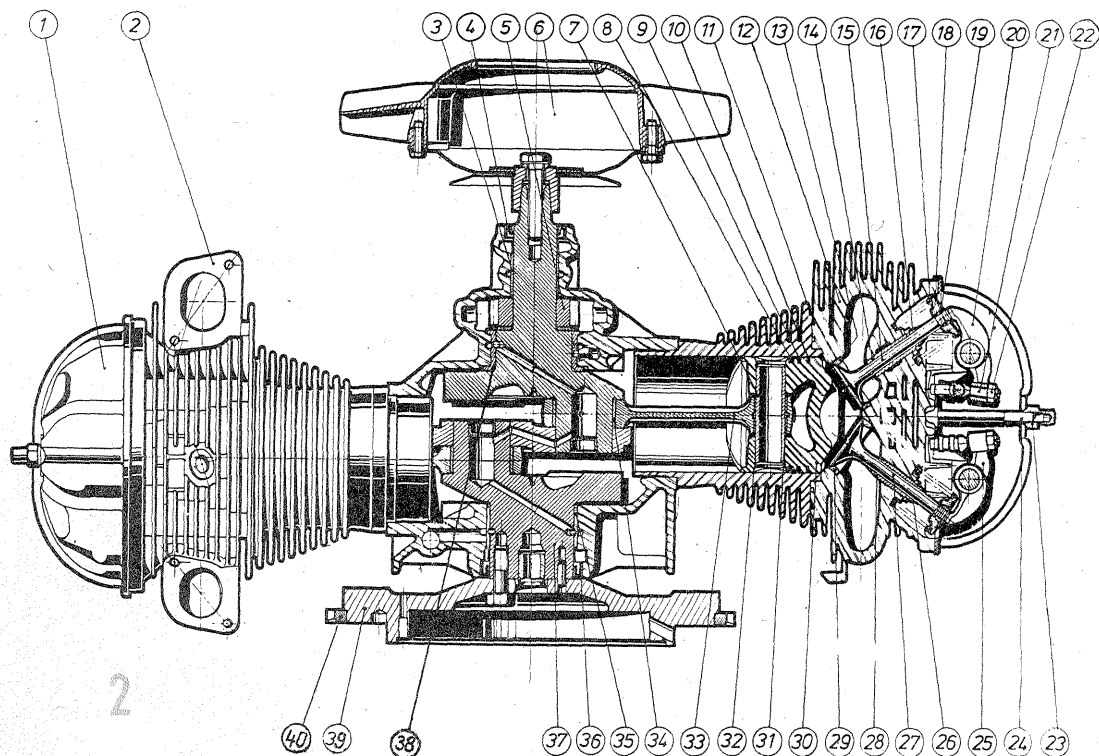
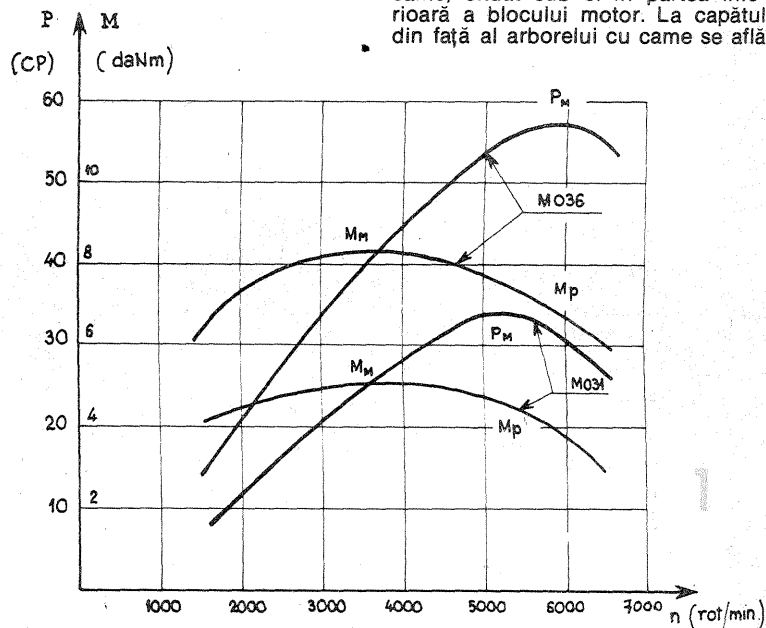
gilat pentru menținerea unui nivel constant al gradului de poluare (oxidului de carbon).

Disponerea organică și funcțională a pieselor și subsansamblurilor motorului M-031 se arată în secțiunea transversală orizontală din figura 2, în care: 1—capac chiulasă; 2—conductă de evacuare a gazelor; 3—semicuzinet față arbore cotit; 4—simering față arbore cotit; 5—pinion de distribuție (arbore cotit); 6—ventilator; 7—bolț (ax) piston; 8—segment de ungere; 9—segment raclor; 10—segment de compresie (foc); 11—garnitură (cilindree și chiulasă); 12—chiulasă; 13—scaun supapă evacuare; 14—ghid supapă evacuare; 15—supapă de evacuare; 16—garnitură de etanșare a tijeii supapei; 17—resort supapă; 18—rondelă supapă evacuare; 19—semibucșă conică de supapă; 20—culbutor sînga; 21—șurub reglaj; 22—piuliță reglaj; 23—piuliță capac chiulasă; 24—șurub capac chiulasă; 25—culbutor dreapta; 26—garnitură de etanșare a tijeii supapei de admisie; 29—scaun supapă de admisie; 30—piston; 31—bucșă picior bielă; 32—siguranță bolț piston; 33—bielă; 34—cuzinet cap bielă; 35—semicuzinet spate arbore cotit; 36—simering spate arbore cotit; 37—arbore cotit asamblat; 38—cuzinet central; 39—volant; 40—coroană dințată volant.

Arborele cotit antrenează printr-o pereche de roți dințate arborele cu came, situat sub el în partea inferioară a blocului motor. La capătul din față al arborelui cu came se află

Dr. ing. TRAIAN CANTĂ

mers în gol, servomecanism pneumatic de dezîncare la pornire, dispozitiv de îmbogățire și un reglaj si-



montată pompa de ulei ce alimentează circuitul de ungere. De la arborele cu came, mișcarea este transmisă la supape, clasic, prin intermediul următoarelor piese: tacheți-tije culbutori-culbutori.

În cazul motorului M-036, în secțiunea transversală orizontală din figura 3 se prezintă piesele: 1—simering față arbore cu came sînga; 2—arbore cu came sînga; 3—roată distribuție; 4—chiulasă sînga; 5 piston; 6—segment de compresie (foc); 7—segment raclor; 8—segment de ungere; 9—bolț piston; 10—siguranță bolț piston; 11—cuzinet picior bielă; 12—cilindru; 13—bielă; 14—cuzinet cap bielă; 15—pană; 16—pinion distribuție; 17—arbore cotit; 18—cuzinet față arbore cotit; 19—semicuzinet central arbore cotit; 20—palier pompă benzină; 21, 22, 23—prezoane fixe chiulasă; 24—simering spate arbore cotit; 25—semicuzinet spate arbore cotit; 26—șurub fixare volant; 27—volant; 28—coroană dințată volant; 29—palier spate arbore cu came.

Motorul cu patru cilindri are o echilibrare foarte bună și un centru de greutate mai jos, fapt care contribuie la creșterea stabilității autoturismului.

Mecanismul motorului M-031 — piesele fixe. Carterul motorului este

turnat sub presiune, din aliaj de aluminiu, fiind format, de fapt, din două semicarere asamblate etanș în plan vertical. Cilindrii opuși sînt asamblați cu carterul cu ajutorul unor garnituri și prezoane, de construcție specială. Carterul este fixat în partea din față pe o traversă amovibilă, pe două suporturi elastice laterale, iar în partea din spate asamblat împreună cu cutia de viteze pe un suport comun. În partea superioară a carterului se află trei lagăre paliere pentru arborele cotit, două avînd semicuzineți bimetalici, cel de-al treilea fiind dintr-o bucată. La partea inferioară, carterul are prevăzute două lagăre pentru montarea arborelui cu came: primul are un cuzinet turnat din aliaj de antifricțiune, iar cel de-al doilea o piesă complexă, care are rolul de cuzinet pentru palierul din spate al arborelui cu came, corp pompă ulei și corp sorb.

**Cilindrii** motorului sînt turnați din aluminiu, sub presiune. Pentru mărirea rezistenței la uzură și oboseală termică, precum și pentru ameliorarea proprietăților de alunecare, în condițiile severe de funcționare ale motorului, pe suprafața interioară a cilindrilor este depus — electrolitic — un strat din aliaj de nichel (Ni-Cr-Co-Si), cu grosimea de 0,07—0,11 mm (procedeu pretenș, folosit de PORSCHE—MAHLE ș.a.).

Răcirea cilindrilor se face de către un curent de aer dirijat de la ventilator către motor printr-un sistem de conducte din tablă. Cilindrii motorului sînt fabricați la diametrul interior nominal de 77 mm, interschimbabili, fără cote de reparație.

**Chiulasele stînga și dreapta** sînt de formă semisferică, confecționate dintr-un aliaj de aluminiu, care permite evacuarea rapidă a căldurii. În chiulase sînt asamblate la cald, prin presare, ghidurile și scaunele supapelor de admisie și evacuare.

**Scaunele de supapă** sînt fabricate din oțel special, avînd, ațit pentru evacuare cît și pentru admisie, un unghi de lucru identic cu cel al supapelor. Caracteristicile principale ale scaunelor de supape: a — unghiul de lucru al scaunelor de supapă (admisie: 90° la M-031 și 120° la M-036; evacuare: 90° la M-031 și 90° la M-036); b — lățimea deschiderii scaunelor (admisie: 1,7 mm la M-031 și 1—1,4 la M-036; evacuare: 1,8 mm la M-031 și 1,4—1,8 mm la M-036); c — lungimea scaunelor de supape (admisie: 87,93 mm la M-031 și 97,40 mm la M-036; evacuare: 86,17 mm la M-031 și 96,30 mm la M-036).

**Ghidurile de supape** sînt confecționate din aliaj de cupru și presate

în chiulasă, după o tehnologie devenită clasică.

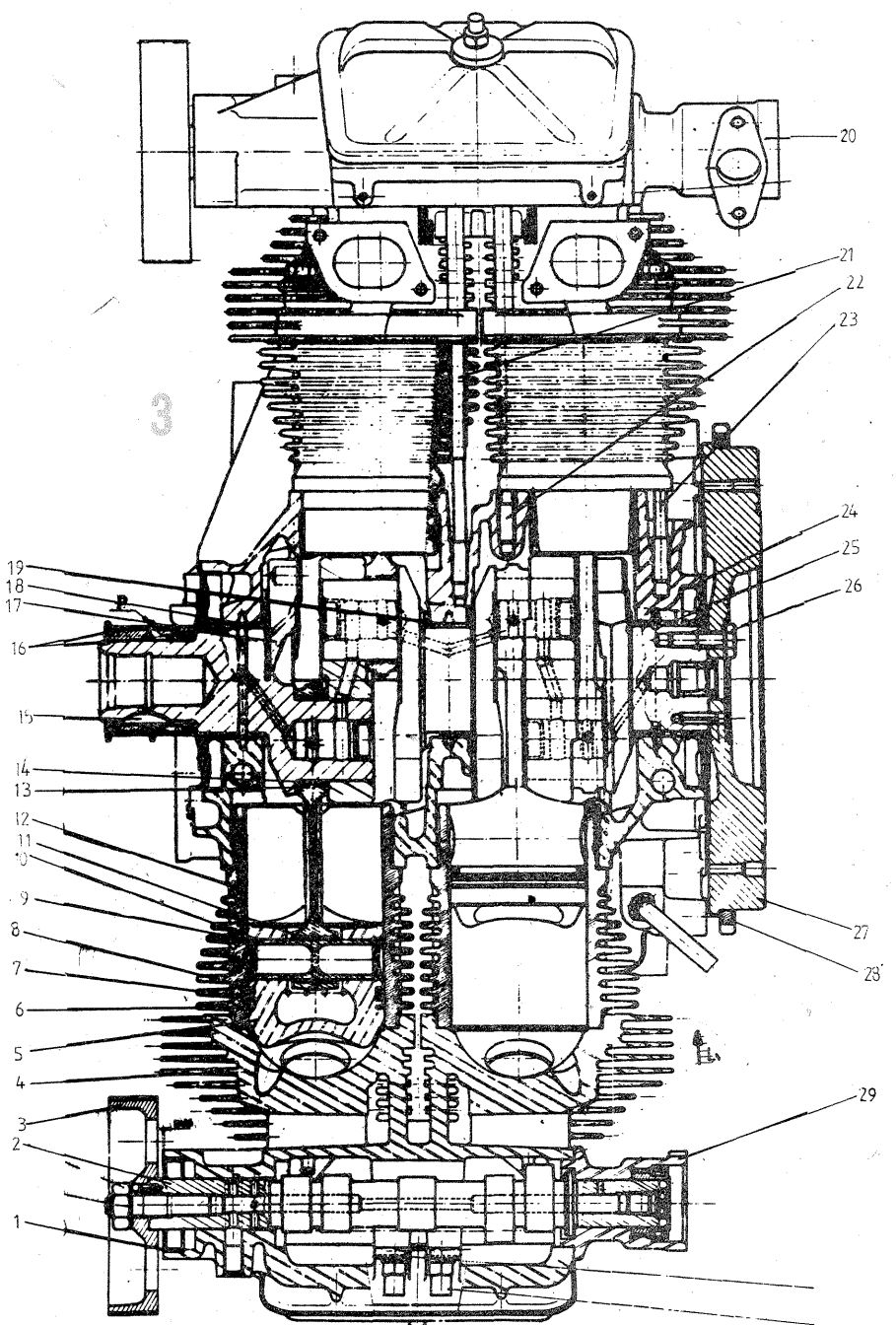
**Mecanismul motorului M-036 — piesele fixe.** Carterul motorului este format de asemenea din două semicarere, turnate din aliaj de aluminiu, sub presiune. Asamblarea celor două perechi de cilindri se face similar, cu prezoane și garnituri. La fixarea ansamblurilor motor-cutie de viteze pe caroserie s-au folosit trei suporturi elastice: două în partea din față, între semicarere și o traversă fixă, iar al treilea la partea din spate. Fiind realizat după o soluție constructivă modernă, de dispunere a arborilor cu came în cap (turații ridicate, uzuri mici, prin absența maselor inertiiale ale tijelor și tacheșilor), motorul este mai compact și silențios, datorită antrenării mecanismului de distribuție prin cuvele dințate.

**Cilindrii** motorului sînt amovibili și turnați din fontă cenușie, cu aripioare, pentru mărirea suprafeței de răcire. În funcție de înălțimea lor, există două clase de dimensiuni de fabricație: 86, 88—86, 90 mm (reper roșu) și 86, 90 — 86, 92 (reper verde). Diametrul interior nominal al cilindrilor este de 74 mm, cilindrii fiind interschimbabili, fără cote de reparație.

**Chiulasele stînga și dreapta** sînt confecționate din aliaj de aluminiu, cu o suprafață mare de răcire. **Ghidurile**, din aliaj de cupru, și **scaunele supapelor** de admisie și evacuare, produse din oțel aliat special, sînt fabricate și asamblate la cald, după tehnologii clasice. Etanșarea cilindrilor cu chiulasele se face prin asamblarea directă a pieselor, fără garnituri, ca la M-031.

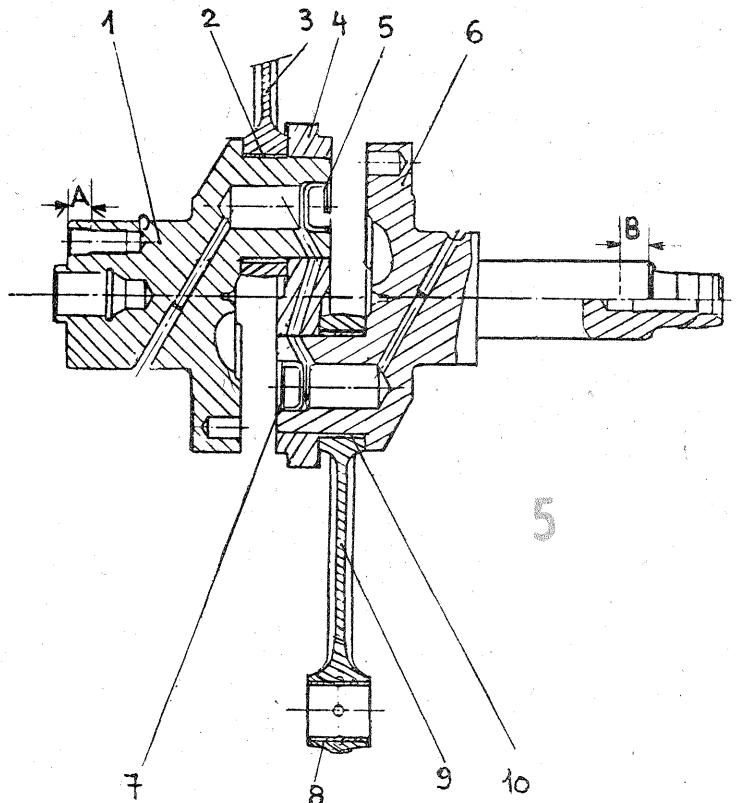
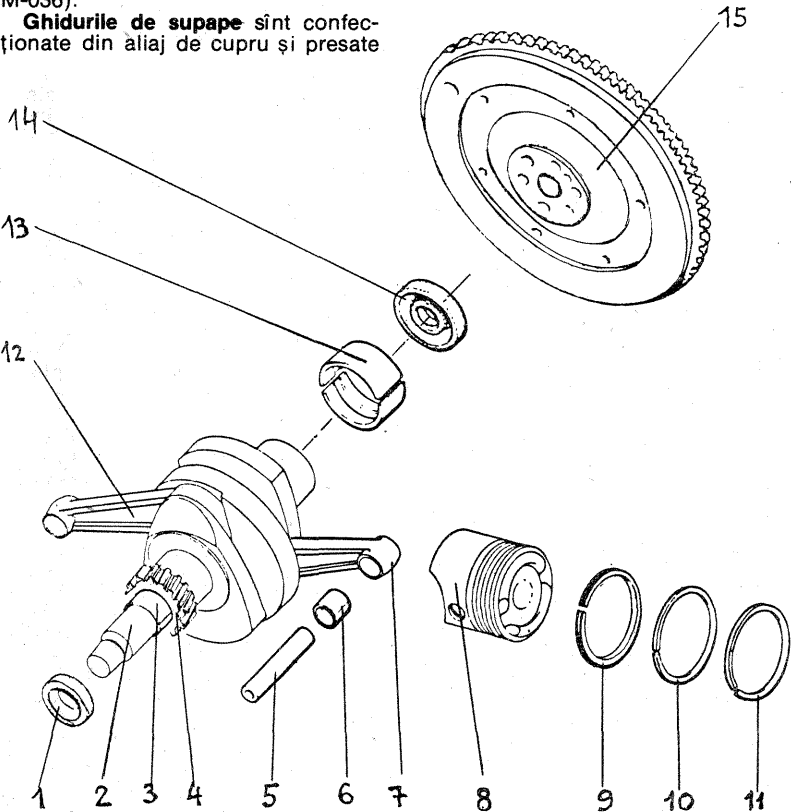
**Mecanismul bielă-manivelă la M-031** este alcătuit din următoarele piese (fig. 4): 1 — simering față; 2 — arbore cotit asamblat; 3 — semicuzineți față; 4 — pinion distribuție; 5 — bolt piston; 6 — bucășă bielă; 7, 12 — bielă; 8 — piston; 9 — segment de ungere; 10 — segment raclor; 11 — segment de etanșare; 13 — semicuzineți spate; 14 — simering spate; 15 — volant.

**Pistoanele** sînt de tipul „auto-termice”, executate prin turnare din aliaj de aluminiu, avînd calota bombată, de formă specială. Sînt prelucrate cu ovalitate și conicitate controlate, interschimbabile stînga-dreapta, montarea făcîndu-se cu respectarea greutății impuse și a condiției de montaj, datorită dezaxării lor (săgeata dirijată către partea din față a motorului). În capul pistonului se află notată clasa de fabricație: 1 = 77,01 — 77,02; 2 = 77,02 —



77,03; 3 = 77,03 — 77,04. **Bolturile** pistonanelor sînt produse din oțel aliat, flotante, puțindu-se roti liber ațit în picioarele bielor, cît și în bosajele pistonanelor. Date tehnice

ale bolturilor: diametrul exterior nominal (20 mm), diametrul interior nominal (13 mm), lungimea (63,9 mm).



# ACTIONAREA SURSELOR DE LUMINĂ

În tehnica fotografică se folosesc ca surse de lumină artificială becuri cu incandescență de puteri relativ mari. Un bec nitrăphot are de regulă 500 W, utilizarea a numai două surse de lumină ducând la un consum de 1 kW.

Amenajarea unui spațiu pentru fotografiere la lumină artificială implică o instalație electrică de

2-5 kW. La această putere este nevoie, pe lângă conductoare electrice de secțiune corespunzătoare, de elemente de comandă și legătură capabile să reziste atât la tensiune cât și la curenți intensi.

Eliminarea unor întrerupătoare de mare gabarit și dificil de procurat este posibilă prin folosirea unor scheme de acționare cu tiristoare. Comanda acestor scheme se face cu elemente de mică putere, obișnuite și ca atare ușor procurabile, existând în plus avantajul posibilității de

a realiza panouri centralizate. Totodată sînt posibile și unele automatizări, comanda circuitelor de acționare fiind dată de contactele unor relee de mică putere.

Schema alăturată este un exemplu de acționare utilizîndu-se tiristoare de putere adecvată. Contactul K (un microîntrerupător sau contactul unui relee) va fi supus unui impuls de maximum 0,1 A pentru un timp

extrem de scurt, ceea ce permite folosirea în practică a oricărui tip constructiv care are izolație corespunzătoare tensiunii de 220 V c.a.

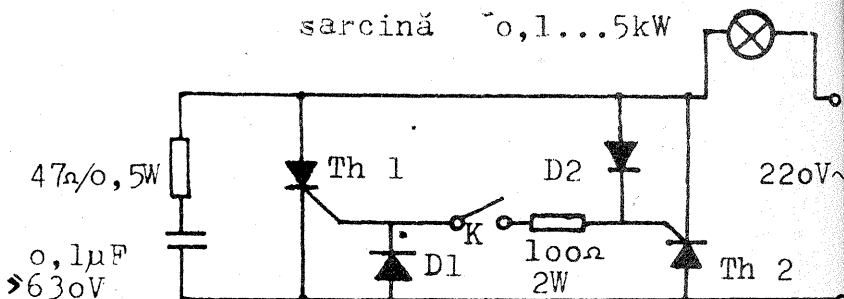
Diodele pot fi de orice tip, cu condiția de a suporta un curent de minimum 0,1 A și o tensiune de cel puțin 20 V. Se va acorda atenție calității diodelor și corectei lor montări, pentru a se evita deteriorarea tiristoarelor.

Alegerea tiristoarelor se face în funcție de puterea maximă preconizată pentru instalație. Fiind vorba de un montaj antiparalel, fiecare tiristor va suporta o jumătate din putere. Practic, dacă se folosesc tiristoare de 12-15 A se asigură o putere instalată nominală de 5 kW. Tensiunea nominală a tiristoarelor va fi de cel puțin 400 V.

Se va acorda mare atenție alegerii corecte a secțiunii conductoarelor de putere, avînd în vedere curenții intensi de lucru.

Tiristoarele se vor monta pe radiatoare adecvate pentru disiparea căldurii. Folosirea tiristoarelor la 10-20% din capacitate este posibilă fără radiatoare.

Schema nu este utilizabilă decît pentru consumatorii rezistivi.



# REGLAREA INTENSITĂȚII

Ing. VASILE CĂLINESCU

Modificarea intensității luminii furnizate de o sursă este deseori necesară, de regulă în acest scop folosindu-se diafragme, schimbîndu-se distanța sau unghiul sub care este emisă lumina. În unele cazuri se folosesc corpuri de iluminat prevăzute cu mai multe becuri de puteri mici sau medii, modificarea intensității luminoase obținîndu-se prin varierea numărului de becuri conectate la rețea.

Un montaj electronic cu tiristoare, cu foarte bune performanțe, care permite reglajul tensiunii aplicate surselor de lumină, este cel descris în continuare. Montajul este numit în literatura de specialitate „Dimmer cu tiristoare”. Cu un astfel de montaj se pot comanda atât sarcini rezistive, cât și sarcini inductive; de aceea, el poate fi folosit și pentru reglarea intensității luminoase a surselor de mică tensiune alimentate prin transformator. În general vorbind, se pot comanda și motoare electrice sau alți consumatori în curent alternativ.

Funcționarea în detaliu a schemei este descrisă în lucrarea „Das grosse Elektronikbastelbuch” de H. Iakubasch. În cele ce urmează se indică principalele date constructive.

Tiristoarele Th1 și Th2 sînt comandate antiparalel de două circuite de amorsare distincte, CA, reglajul tensiunii fiind obținut prin intermediul potențiometrului P<sub>1</sub>.

Tiristoarele se montează pe radiatoare separate, astfel poziționate încît să se asigure o bună circulație a aerului. Totodată se va asigura o protecție eficientă împotriva contactului accidental cu plăci de material plastic. Între cele două radiatoare va exista un perete separator izolant

care să împiedice atingerea concomitentă. Dat fiind că anozii tiristoarelor sînt în contact direct cu radiatoarele, întreaga tensiune a rețelei se culege între ei.

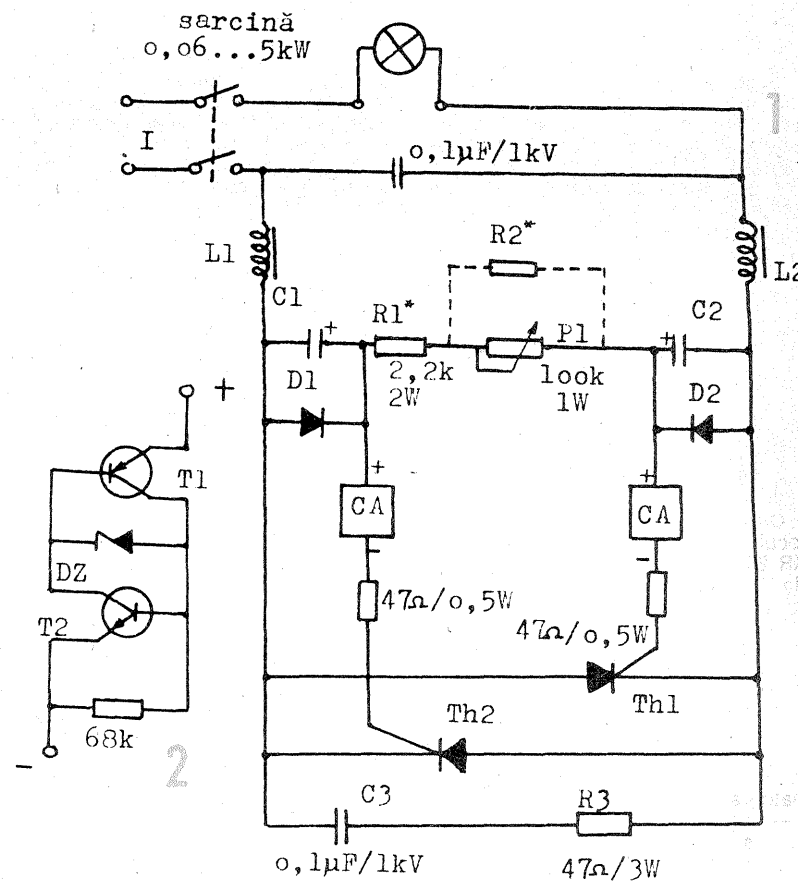
Elementele C<sub>3</sub>, R<sub>3</sub>, C<sub>4</sub>, L<sub>1</sub> și L<sub>2</sub> constituie filtre care preîntîmpină parazitarea rețelei.

Realizarea droselelor L<sub>1</sub>, L<sub>2</sub> este în funcție de puterea maximă necesară, secțiunea sîrmei folosită la bobinare trebuind să corespundă curentului maxim admis. Ca miez se folosește un baston de ferită de circa 100 mm lungime și 8 mm diametru. Se bobinează circa 120-150 de spire în 2-4 straturi. Dacă sîrma este de secțiune mare și bobinajul devine dificil, se poate micșora numărul de spire, dar nu mai puțin de 80. Bobinele se impregnează cu un lac rezistent la încălzire sau mai bine cu o rășină epoxidică. Bobinele sînt bine executate dacă după o funcționare continuă de circa 30 de minute sînt doar ușor căldute.

L<sub>1</sub>, L<sub>2</sub>, C<sub>4</sub>, C<sub>3</sub>, R<sub>3</sub> se vor conecta cît mai aproape de tiristoare. De asemenea, lungimea cablului de legătură a potențiometrului P<sub>1</sub> va fi minimă.

Legătura la rețea se face cu un cablu trifilar, cu ștecher de protecție tip șuco, conectarea fiind permisă numai la prize adecvate cu împământare. Firul de protecție se leagă la carcasa metalică a potențiometrului P<sub>1</sub> și la șasiul sau la cutia în care se plasează montajul.

Condensatoarele C<sub>1</sub> și C<sub>2</sub> vor fi de valoare egală (se sortează). Această valoare se determină prin încercări în plaja orientativă 0,22... 0,47 μF/25 V. Este preferabil să se folosească pentru C<sub>1</sub> și C<sub>2</sub> condensatoare cu folie. Determinarea valorii acestor condensatoare se face avînd



în vedere ca la P<sub>1</sub>=0 să se obțină intensitate luminoasă maximă, iar pentru P<sub>1</sub>=maxim să se obțină un minim dorit al intensității luminoase sau chiar nivel nul.

Valoarea lui R<sub>1</sub>\* este dată minimal în schemă; ea se determină astfel încît pentru P<sub>1</sub>=0 să se obțină intensitatea luminoasă maximă.

Deoarece chiar dacă sursele de lumină comandate nu emit, în circuite există tensiunea, pentru evitarea accidentelor se propune șuntarea potențiometrului P<sub>1</sub> astfel încît la limita sa minimă să se obțină un minim de iluminare. În acest scop se

montează R<sub>2</sub>\*, a cărei valoare se determină tot prin încercare, dar fără să fie mai mică de 33 kΩ.

Dacă montajul este corect executat, tensiunea aplicată consumatorilor trebuie să fie doar cu 6...10 V mai mică decît tensiunea de rețea.

Dacă se constată că valorile determinate prin încercări pentru R<sub>1</sub> și R<sub>2</sub> tind să fie sub limitele indicate, se va modifica valoarea condensatoarelor C<sub>1</sub> și C<sub>2</sub>.

Încercările se vor face cu o lampă avînd cel puțin 150 W. Ieșirea se face pe mai multe cabluri legate în paralel sau se montează prize de ie-



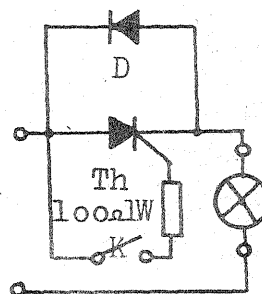
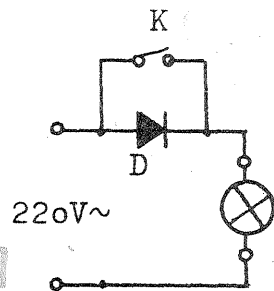
# ECONOMIZOR

În practica fotografică există o serie de operații preliminare la care, de regulă, se consumă în mod inutil o parte din energie, generându-se și o cantitate de căldură stînjitoare, uneori chiar dăunătoare. Este cazul iluminării spațiului de fotografiere sau filmare la fazele de aranjare sau cazul funcționării becului aparatului de mărît între două expuneri succesive.

Pentru fazele de lucru cînd nu este necesară iluminarea la putere nominală se poate realiza o apreciable economie de energie prin eliminarea unei alternanțe. Acest lucru se obține prin simpla introducerea a unei diode D (cu caracteristici corespunzătoare) în circuit, conform

schemei din figura 1. Prin acționarea comutatorului K se scurtcircuitază dioda și becul primește tensiunea integrală. La desfacerea comutatorului, prin bec va circula doar o alternanță, cealaltă fiind blocată de diodă. Evident, și intensitatea iluminării se reduce.

Alegerea diodei se face în funcție de puterea instalației deservite. Pentru aparatul de mărît (bec cu putere pînă la 200 W) o diodă F307/F407 este suficientă. Pentru comanda unor lămpi nitrăphot este necesară o diodă de 10 A, fiind astfel posibilă comutarea regimului de lucru la puteri de pînă la 2 kW. De regulă, diodele de mare amperaj se montează pe radiatoare.



O schemă mai bună este cea din figura 2, la care comutatorul K nu se impune a fi de putere (așa cum este necesar în primul caz). Tiristorul se montează pe radiator împreună cu dioda de putere dacă anodul său și catodul diodei sînt la capsulă.

Circuitul poate fi plasat lîngă corpul de iluminat, trăgîndu-se un cablu bifilar subțire la întrerupătorul K aflat lîngă operator. Tiristorul va

avea 10 A/400 V, pentru o putere controlată de pînă la 2 kW.

La executarea montajului se vor avea în vedere o corectă izolare și un bun plasament față de corpurile de iluminat.

Comutatorul K poate fi înlocuit printr-un releu, dacă acest lucru este necesar din diverse alte considerente.

# CAPAC DE PROTECȚIE

Marea majoritate a aparatelor fotografice au obiectivele protejate frontal de capace executate din tablă ambuțisată sau din mase plastice. De regulă, aceste capace se așază pe diametrul exterior al obiectivului, avantajul sistemului constînd în rapiditatea punerii sau scoaterii. Deseori, în urma unui număr oare-

care de manipulări, apare un joc între capac și obiectiv care determină căderea capacului însoțită de pierderea lui.

În cele ce urmează se propune realizarea capacului de protecție cu înfiletare pe filetul destinat fixării filtrelor. În desenul de execuție litera „a” se înlocuiește cu valoarea nominală a filetului pentru filtru, în funcție de obiectiv.

Determinarea acestei valori se poate face cu un șubler atunci cînd prospectul aparatului fotografic nu o indică.

În tabelele alăturate se dau filetele pentru filtre ale unor obiective utilizate la noi în țară. Tabelul nr. 1 cuprinde obiectivele destinate aparatelor EXAKTA, EXA, PRAKTIKAL, PENTACON super. Tabelul nr. 2 cuprinde obiective de fabricație PENTACON, iar tabelul nr. 3 obiective destinate aparatului PENTACON SIX TL.

Capacul se execută din dural, recomandîndu-se să fie eloxat negru. Deoarece el nu este implicat pe traseul luminii la fotografiere, înnegrirea este o operație strict estetică.

șire pe cutia montajului. Dacă apar dificultăți de reglare în cazul unor consumatori (de mică putere, în principiu), se va conecta în paralel o sarcină balast de circa 100 W (un bec, de exemplu).

De reținut că tensiunea de ieșire nu este sinusoidală, puternicele deformări făcînd-o improprie pentru aparate de genul televizoarelor, radiourilor, magnetofonelor etc. Așadar, folosirea montajului ca „transformator” în asemenea cazuri nu este posibilă.

Circuitele de amorsare CA se realizează conform figurii 2. Tranzistorul T<sub>1</sub> este un pnp (siliciu), avînd curentul de colector de cel puțin 0,5 A și coeficientul beta 30...80. Tranzistorul T<sub>2</sub> este de tip npn (siliciu), avînd curentul de colector de cel puțin 0,5 A și coeficientul beta 50...150. Dioda Zener este de 15...18 V.

Circuitele de amorsare se pot înlocui cu cite un diac (de exemplu KR 205). Diodele D<sub>1</sub> și D<sub>2</sub> pot fi de tip F 307, F 407 (curent mediu redresat 0,8 A).

Tiristoarele vor fi alese în funcție de puterea maximă dorită, amperajul fiecăruia corespunzînd la 1/2 din puterea maximă. Tensiunea nominală de lucru a tiristoarelor va fi de peste 400 V.

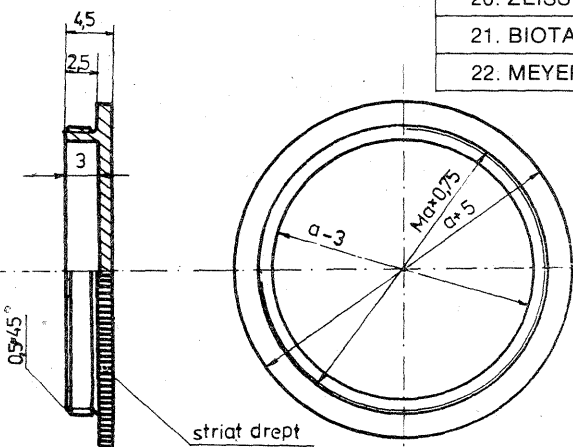
Utilizările cel mai frecvent posibile în tehnica fotografică și cinematografică de amatori sînt:

— reglarea intensității luminoase a surselor artificiale de lumină cu incandescență folosite pentru luarea de imagini;

— reglarea intensității luminii date de becul aparatului de mărît pentru menținerea unui timp de expunere constant (numai în tehnica alb-negru);

— reglarea vitezei de proiecție pentru aparatele de proiecție (cu unele excepții, în funcție de tipul motorului folosit în aparat).

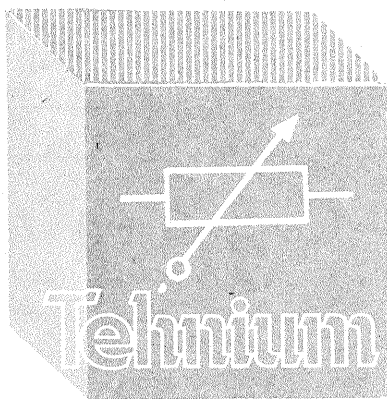
Montajul va fi prevăzut în final cu un comutator general, I, capabil să suporte curentul maxim necesar, care să asigure deconectarea de la rețea.



OBIECTIV	D/f mm	Filet pentru filtre
1. ZEISS BIOMETAR (obiectivul normal al aparatului)	2,8/80	M 58 x 0,75
2. ZEISS FLEKOGON	4/50	M 86 x 1,00
3. ZEISS BIOMETAR	2,8/120	M 67 x 0,75
4. ZEISS SONNAR	2,8/180	M 86 x 1,00
5. ZEISS SONAR	4/300	M 86 x 1,00
6. PENTACON	4/300	M 95 x 1,00
7. PENTACON	5,6/500	M 118 x 1,00

OBIECTIV	D/f mm	Filet pentru filtre
1. ZEISS FLEKTOGON	4/20	M 77 x 0,75
2. MEYER ORESTEGON	2,8/29	M 55 x 0,75
3. MEYER LYDITH	3,5/30	M 49 x 0,75
4. ZEISS FLEKTOGON	2,8/35	M 49 x 0,75
5. MEYER ORESTON	1,8/50	M 49 x 0,75
6. MEYER DOMIPLAN	2,8/50	M 49 x 0,75
7. ZEISS PANCOLOR	1,8/50	M 49 x 0,75
8. ZEISS TESSAR	2,8/50	M 49 x 0,75
9. ZEISS PANCOLOR	1,4/55	M 58 x 0,75
10. ZEISS PANCOLOR	1,4/75	M 67 x 0,75
11. MEYER ORESTOR	2,8/100	M 49 x 0,75
12. ZEISS SONNAR	3,5/135	M 49 x 0,75
13. MEYER ORESTOR	2,8/135	M 55 x 0,75
14. ZEISS SONNAR	2,8/180	M 86 x 1,0
15. MEYER ORESTEGOR	4/200	M 58 x 0,75
16. ZEISS SONNAR	4/300	M 86 x 1,0
17. MEYER ORESTEGOR	4/300	M 95 x 1,0
18. DOMIPLAN	2,8/50	M 49 x 0,75
19. ZEISS TESSAR	2,8/50	M 35,5 x 0,5
20. ZEISS PANCOLOR	2/50	M 49 x 0,75
21. BIOTAR	1,5/75	M 8 x 0,75
22. MEYER ORESTEGOR	5,6/500	M 118 x 1

OBIECTIV	D/f mm	Filet pentru filtre
1. PENTACON automat	2,8/29	M 55 x 0,75
2. PENTACON electric	2,8/29	M 55 x 0,75
3. PENTACON	3,5/30	M 49 x 0,75
4. PENTACON automat	1,8/50	M 49 x 0,75
5. PENTACON electric	1,8/50	M 49 x 0,75
6. PENTACON automat	2,8/100	M 49 x 0,75
7. PENTACON electric	2,8/100	M 49 x 0,75
8. PENTACON automat	2,8/135	M 55 x 0,75
9. PENTACON electric	2,8/135	M 55 x 0,75
10. PENTACON	2,8/135	M 55 x 0,75
11. PENTACON	4/200	M 58 x 0,75
12. PENTACON	4/300	M 95 x 1,00
13. PENTACON	5,6/500	M 118 x 1,00
14. PENTACON electric	1,4/50	M 49 x 0,75



# CITITORII RECOMANDĂ

## PUNTE RC

C. PĂDUREANU, Dorohoi

Puntea pe care o descriem în continuare este relativ simplă și ușor de construit. Ea a fost realizată practic și a dat rezultate bune în exploatare.

Schema se compune din trei părți distincte: a) un generator de semnal sinusoidal cu o frecvență de aproximativ 1 600 Hz, care are rolul de a asigura alimentarea punții; b) puntea propriu-zisă, care permite măsurarea rezistenței în domeniul  $10\Omega - 10\text{M}\Omega$ , și a capacității în domeniul  $10\text{pF} - 10\mu\text{F}$ ; c) indicatorul de nul, prevăzut cu un amplificator absolut necesar la măsurarea impedanțelor mari.

Generatorul utilizează un transformator de ieșire de tipul celor folosite la radioreceptoarele „Albatros”, „Mangalia”, „Milcov”. Primarul acestui transformator împreună cu  $C_3 = 0,1\mu\text{F}$  formează un circuit acordat pe frecvența de aproximativ 1 600 Hz. La această frecvență  $X_c(10\mu\text{F}) = 10\Omega$ ,

adică la măsurarea capacităților domeniul de impedanțe este același ca la măsurarea rezistențelor.

Minusul alimentării este conectat la priza mediană a primarului, jumătate din înfășurare fiind folosită ca sarcină pentru  $T_1$ , iar cealaltă jumătate ca înfășurare de reacție.  $T_1$  este de tip pnp și poate fi cu siliciu (BC 250 etc.) sau cu germaniu (EFT 321 etc.).

$R_1$  se alege astfel încât  $I_c(T_1) = 9 - 10\text{mA}$ , cu calea de reacție întreruptă ( $C_2$  sau  $P_1$  decuplat).

Tranzistorul folosit poate avea orice amplificare, cu condiția alegerii corecte a valorii  $R_1$ . Pentru o funcționare stabilă se recomandă utilizarea unor tranzistoare cu amplificare mică și care dau rezultate mai slabe în alte montaje.

Se recomandă ca după alegerea lui  $T_1$  și stabilirea valorii lui  $R_1$  să se aleagă și pentru  $P_1$  o valoare aproximativ egală cu a lui  $R_1$ .

Pentru dozarea reacției, în locul punții se conectează la secundarul transformatorului o rezistență de sarcină de  $100\Omega$  și un osciloscop.  $P_1$  se reglează astfel încât amplitudinea oscilației să fie de aproximativ  $3\text{V}_{\text{eff}}$ , iar forma perfect sinusoidală. În lipsa osciloscopului se poate folosi un voltmetru de precizie care trebuie să indice  $1\text{V}_{\text{eff}}$ . Dacă voltmetrul folosit are rezistență internă mică, atunci va fi luată și aceasta în calculul rezistenței de sarcină.

Rezistențele  $R_2$  și  $R_3$  au rolul de a micșora influența diferitelor valori ale pieselor din componența punții asupra funcționării generatorului.

Puntea propriu-zisă se echilibrează cu ajutorul lui  $P_2$ , care este de tipul celor folosite la difuzoarele de radioficare și asigură o precizie suficientă pentru nevoile curente. De axul lui este fixată o scală gradată de la 1 la 100.

Componentele  $R_4, R_5, R_6, C_4, C_5, C_6$  sînt piese etalon, deci trebuie să fie de bună calitate, cu toleranță

mică (preferabil sub 5%).

Pentru alegerea domeniului de măsurare se folosește comutatorul K cu 6 poziții (vezi tabelul).

Indicatorul de nul conține un amplificator cu două tranzistoare, un detector și un instrument indicator de tipul celor utilizate la magnetofonele ZK. Tranzistoarele sînt de mică putere, npn, cu siliciu și se recomandă să se aleagă cu o amplificare cît mai mare, de exemplu din familia BC cu litera C la urmă (BC 172 C etc.).

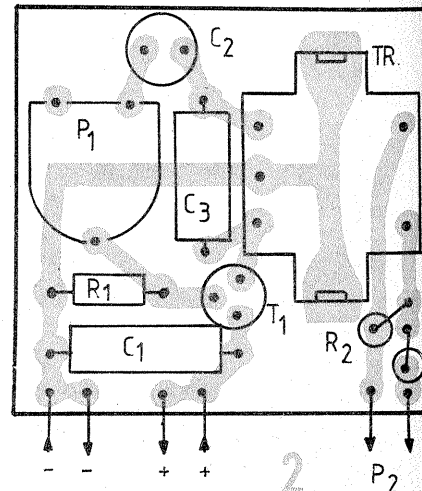
Primul etaj este repetor pe emitor și asigură o impedanță de intrare mare. Aceasta este necesară pentru ca sensibilitatea indicatorului de nul să fie aproximativ aceeași, indiferent de mărimea impedanțelor care intră în componența punții.  $R_8$  se alege

lipsa lui, instrumentul „zbîrnîie” datorită curentului continuu pulsatoriu la care este supus.

După cum se vede, aștî schema de principiu, cît și modul de funcționare a indicatorului de nul sînt simple. Totuși, atunci cînd amplitudinea semnalului aplicat la intrare depășește o anumită valoare, au loc niște fenomene care merită a fi analizate. În timp ce semnalul aplicat la intrare crește, forma semnalului din colectorul lui  $T_3$ , care era sinusoidală, tinde să devină dreptunghiulară.  $T_3$  intrînd în regim de comutație saturat-blocat. Evident, în această situație amplitudinea semnalului la ieșire nu mai poate crește, deși semnalul la intrare crește în continuare. În schimb se modifică raportul dintre timpul de conducție și timpul de

blocare. Cu cît semnalul la intrare crește, cu aștî timpul de conducție scade, iar timpul de blocare crește. Aceasta deoarece, în timpul de conducție,  $C_9$  se încarcă prin  $R_9$  și joncțiunea BE a lui  $T_3$ , adică printr-o re-

Poziția comutatorului	Domeniul de măsurare	Factorul de multiplicare a valorii citite pe scală
1	10—1 000 $\Omega$	$\times 10\ \Omega$
2	1—100 $k\Omega$	$\times 1\ k\Omega$
3	0,1—10 $M\Omega$	$\times 0,1\ M\Omega$
4	10—1 000 $\text{pF}$	$\times 10\ \text{pF}$
5	1—100 $\text{nF}$	$\times 1\ \text{nF}$
6	0,1—10 $\mu\text{F}$	$\times 0,1\ \mu\text{F}$

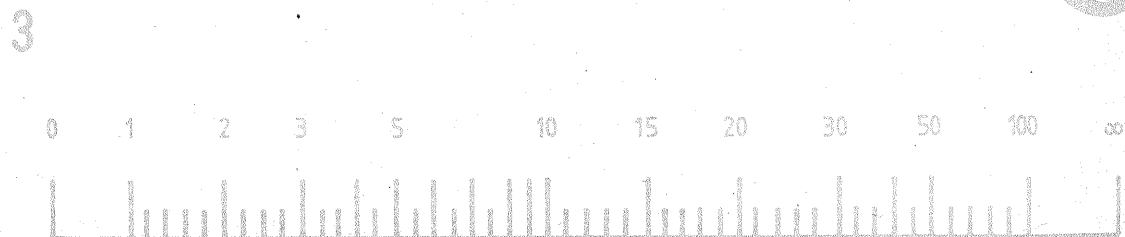
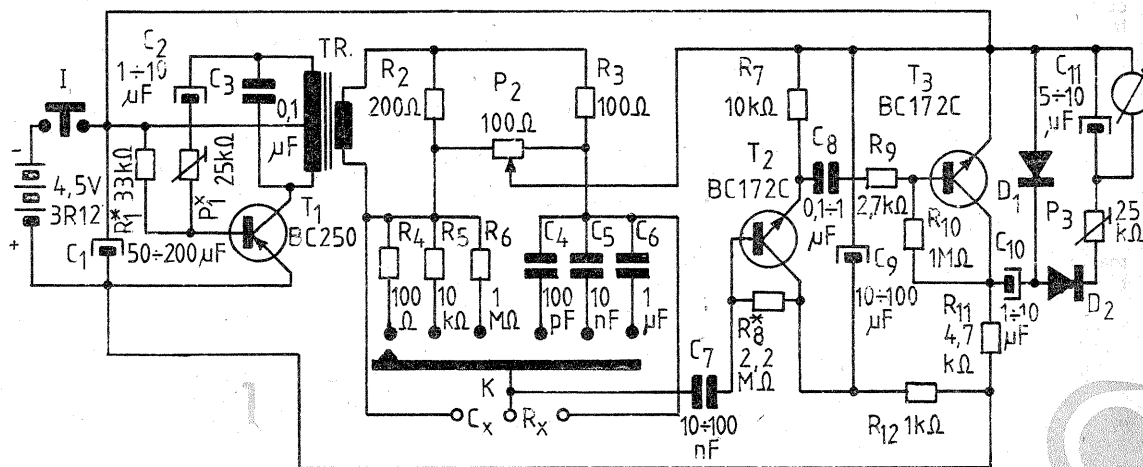
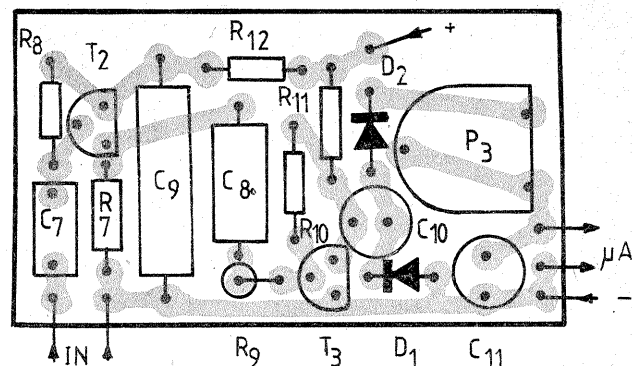


experimental aștî încît căderea de tensiune pe  $R_7$  să fie de 2 V.

Prin  $C_9$  și  $R_9$  se asigură cuplajul cu al doilea etaj, echipat cu  $T_3$ , care lucrează cu emitorul la masă și realizează o amplificare de tensiune.

Grupul  $R_{12}, C_9$  asigură decuplarea alimentării primului etaj.

Din colectorul lui  $T_3$  semnalul amplificat trece prin  $C_{10}$  și ajunge la circuitul de detecție compus din  $D_1$  și  $D_2$ , care sînt diode punctiforme, cu germaniu, de tip EFD.  $P_3$  se reglează astfel încît indicația maximă a instrumentului să fie la cap de scală.  $C_{11}$  filtrează tensiunea aplicată instrumentului de măsură. În



# OHMETRU

ALEXANDRU NICULESCU,  
București

Ohmetrul propus este un aparat ușor de construit și are avantaje de necontestat. El a fost experimentat de autor și dă rezultate excepționale. Cu el se pot măsura rezistențe având valori cuprinse între  $0,1 \Omega$  și  $100\,000 \Omega$  cu multă precizie. În afară de faptul că citirea valorilor este foarte ușoară, mai prezintă avantajul că, având numai o singură rezistență etalon, spre exemplu aceea de  $100\,000 \Omega$ , de mare precizie ( $\pm 1\%$ ), toate celelalte, prin încercări succesive, se găsesc în laboratorul unui radioamator, iar cele mici (de  $1 \Omega$  și  $10 \Omega$ ) se pot bobina.

Este adevărat că măsurătoarea se face în două etape, dar aceasta, față de rezultatele obținute, este o problemă fără însemnătate.

Aparatul funcționează astfel:

- se pune comutatorul  $K_2$  în poziția 1;
  - se pune comutatorul  $K_1$  pe rezistența etalon;
  - se prinde la aparat rezistența de măsurat;
  - se ține seama ca potențiometrul P să se găsească la capătul rece (el trebuie să aibă o valoare de  $1\,500 - 2\,000 \Omega$  și să fie bobinat);
  - se introduce curent în transformator, prin manipularea comutatorului  $K_3$ ; în această situație, prin miliampermetru va trece cel mai slab curent;
  - cu ajutorul potențiometrului P se vaări intensitatea curentului pînă cînd acul miliampermetrului va indica intensitatea maximă ( $1 \text{ mA}$ ). Manipularea potențiometrului se va face lin, pentru a nu introduce în aparat, brusc, un curent mai mare.
- Odată efectuate aceste operațiuni, se trece comutatorul  $K_2$  în poziția 2. Indicatorul miliampermetrului va da înapoi pînă la o anumită valoare. Această valoare, înmulțită cu valoarea rezistenței etalon, este egală cu valoarea rezistenței Rx.
- Am menționat, și trebuie să ținem

seama, că precizia măsurătorilor depinde de precizia rezistențelor etalon. Numai cu rezistența menționată ( $100 \text{ k}\Omega \pm 1\%$ ) se pot găsi (realiza) celelalte rezistențe la aceeași precizie, în modul următor:

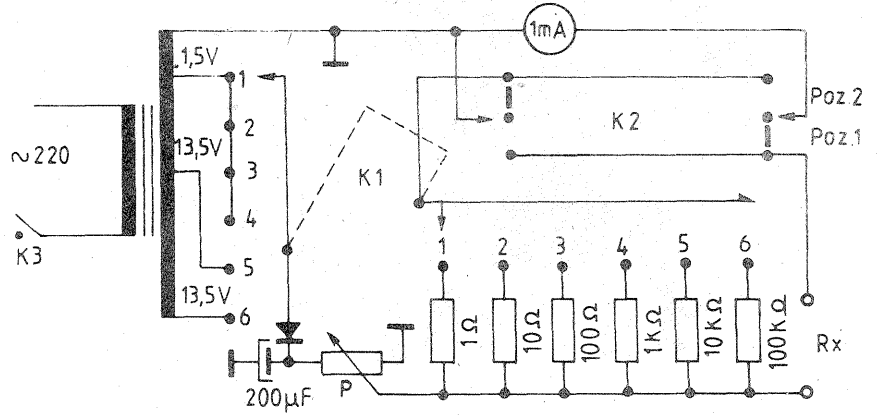
- se pune rezistența etalon la locul prevăzut în schemă;
- se ia o rezistență de  $10 \text{ k}\Omega$  și se introduce la bornele Rx;
- se manipulează aparatul conform indicațiilor.

Dacă, trecînd aparatul prin comutatorul  $K_2$  în poziția 2, acul miliampermetrului se oprește la  $0,1 \text{ mA}$ , înseamnă că Rx este foarte bună și poate fi folosită ca etalon pentru scala  $\times 10\,000$ . În modul acesta se pot identifica toate rezistențele necesare etalonării.

Aparatul se compune din puține piese, ușor de procurat. Miliampermetrul este de fabricație indigenă, avînd bătaia maximă la  $1 \text{ mA}$ , și are scala gradată din zece în zece subunități. Dioda redresoare poate fi de orice tip, capabilă să redreseze o tensiune de  $200 \text{ V}$ . Primarul transformatorului este de  $220 \text{ V}$ , iar secundarul, în serie, va trebui să debiteze tensiunile indicate în schemă, cu o abatere de  $\pm 5\%$ . El trebuie să debiteze o putere de maximum  $0,5 \text{ W}$ , deci este foarte mic, ceea ce înseamnă că poate fi bobinat cu sîrmă foarte subțire.

Cînd, trecînd comutatorul  $K_2$  în poziția 2, indicatorul miliampermetrului nu revine către zero, înseamnă că Rx este mai mare decît rezistența etalon. Cînd acesta revine la zero, înseamnă că Retalon este prea mare și se trece pe o treaptă inferioară.

Atragem atenția că dacă P este de wattaj scăzut, pe Retalon de  $100 \text{ k}\Omega$  acesta se încălzește, deci în această poziție aparatul nu trebuie ținut prea mult (sau constructorul va monta printr-un alt comutator un potențiomtru de  $25 - 50 \text{ k}\Omega$  care de data aceasta poate fi nebobinat).



# INDICATOR

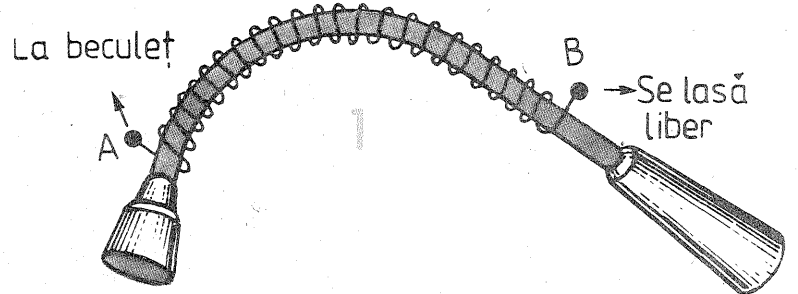
Prof. ION IOSUB, Pitești

Dispozitivul pe care îl propun în continuare se bazează pe inducția electromagnetică și furnizează semnale luminoase ce corespund ordinii de aprindere a scînteilor la bujiile autoturismului „Dacia” 1300. În principiu, el se compune dintr-o înfășurare ce se realizează direct pe fiecare din fișele de legătură dintre delcoul și bujii, înfășurare pe care am realizat-o din sîrmă de CuEm  $\varnothing 0,8 \text{ mm}$  bobinînd spiră lîngă spiră  $400 - 600$  de spire; după realizare, înfășurarea se

cu beculețe de rezervă (fig. 3b).

Printr-o aranjare corespunzătoare a beculețelor cu neon în ordinea de aprindere la bujii, 1 - 3 - 4 - 2, se obține la ralanti un efect de „lumină dinamică”, însă dispozitivul are în primul rînd utilitate practică.

Cu ajutorul lui putem depista rapid care dintre bujii nu funcționează la parametri normali; acest fapt este indicat direct la bordul autoturismului în timpul mersului prin slaba aprindere a beculețului corespunzător sau neaprinderea lui.



zistență mică, iar în timpul de blocare se descarcă prin  $R_9 + R_{10}$ , adică printr-o rezistență mult mai mare. Remarcăm, de asemenea, faptul că timpul cît  $T_3$  este blocat corespunde cu timpul de conducție prin  $D_2$ , iar  $P_3$  și  $C_{11}$  formează un circuit de integrare. Așa se explică faptul că la începutul scalei deviația acului indicator este proporțională cu semnalul aplicat la intrare, iar către capătul scalei relația dintre semnalul aplicat la intrare și deviația acului indicator se apropie de o caracteristică logaritmică. Acest „defect” este deosebit de util în cazul de față și ne scutește de existența unui potențiomtru de reglaj al sensibilității indicatorului de nul pe care ar fi trebuit să îl manevrăm în permanență.

**Realizarea practică** a punții de măsură nu ridică probleme deosebite. Se recomandă montarea într-o casetă metalică, asigurînd astfel și o ecranare împotriva eventualelor cîmpuri perturbatoare. Generatorul și indicatorul de nul se realizează separat pe două plăcuțe cu cablaj imprimat. Componentele  $R_1, R_2, R_3, C_1, C_5$  și  $C_6$  se montează direct pe comutatorul K. Bornele Cx și Rx, comutatorul K și intrarea amplificatorului indicatorului de nul se aranjează în așa fel încît firele de legătură dintre ele să fie cît mai scurte. Generatorul se montează ceva mai departe, în apropierea lui  $P_2$ .

În figura 2 se poate vedea un exemplu de realizare a celor două cablaje. Desenul este la scara 1:1. Desigur, nu este obligatorie utilizarea acestor cablaje și constructorul

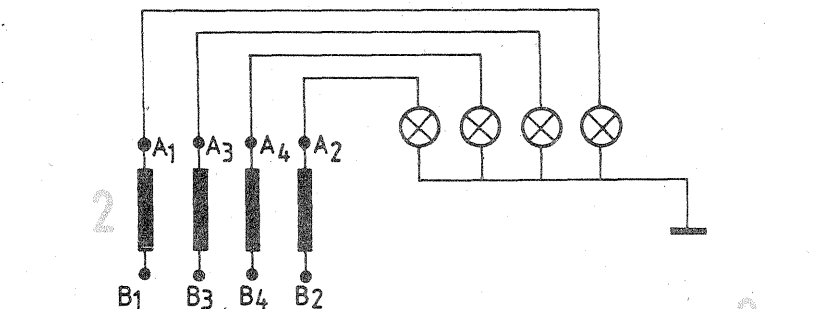
amator le poate proiecta singur, în modul pe care îl consideră optim, ținînd seama și de gabaritul pieselor pe care le folosește.

Alimentarea se face de la o baterie de lanternă, deoarece consumul montajului este redus. Chiar dacă folosim puntea 1 - 2 ore în fiecare zi, o baterie de lanternă 3R12 asigură funcționarea ei timp de aproximativ două luni, astfel încît realizarea unui alimentator de la rețea nu se justifică.

Instrumentele de măsură utilizate la magnetofonele ZK sînt de două feluri: cu scala plană și gradată de la 1 la 9 sau cu scala făcînd parte dintr-o suprafață cilindrică și gradată de la -12 la +3. Ultimul tip este cel recomandat, deoarece are o sensibilitate mult mai bună.

Etalonarea se face pe poziția  $\times 1 \text{ k}\Omega$ , cu ajutorul unor rezistențe de precizie, și rămîne valabilă și pentru celelalte domenii de măsură dacă  $R_4 - R_5$  și  $C_4 - C_6$  sînt cu toleranță mică. În figura 3 se poate vedea desfășurarea liniară a scalei. Cu ajutorul unor rezistențe etalon de  $100 \Omega, 1 \text{ k}\Omega$  și  $10 \text{ k}\Omega$ , conectate în diferite combinații serie-paralele, se pot trasa toate diviziunile de pe scală.

Eroarea de măsurare nu depășește  $5\%$  din valoarea piesei de măsurat, ceea ce este mai mult decît satisfăcător pentru nevoile curente ale unui constructor amator. Evident, în cazul în care  $P_2$  este de foarte bună calitate,  $R_4 - R_5$  și  $C_4 - C_6$  cu toleranță foarte mică, de asemenea și rezistoarele folosite la etalonare, atunci se poate obține o precizie și mai bună.



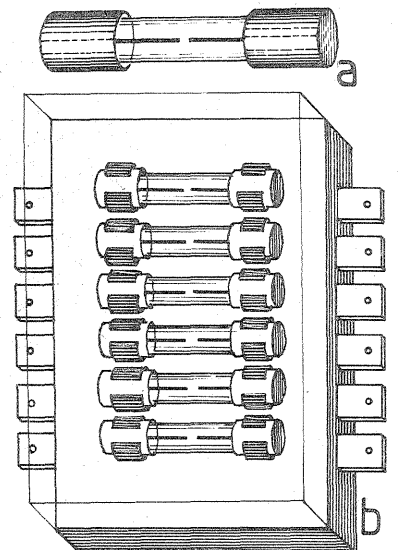
izolează cu bandă izolatoare (fig. 1).

Unul din capete se lasă liber, iar celălalt se conectează cu ajutorul unui conductor de cupru lițat la unul din contactele beculețului cu neon; celălalt contact se leagă la masa autoturismului (fig. 2).

Cei care nu posedă beculețe cu neon pot folosi cu succes beculețul care intră în componența șurubelniței de control al fazei, care se poate procura din magazinele cu articole electrice (fig. 3a).

Cele patru beculețe pot fi plasate la bordul autoturismului într-o „cutie de siguranțe” cu capac transparent ce se procură din magazinele cu articole auto.

De la „cutia de siguranțe” se pot suprima două din cele șase suporturi sau se pot completa



# AMENAJĂRI INTERIOARE

E. VARGHEȘ, designer

## MODUL DE EXECUȚIE

Marea majoritate a tineretului țării noastre studiază în diferite forme și grade de învățămînt. O parte din acești tineri locuiesc în cămine școlare, studentești sau de nefamiliști. În aceste camere cu două sau mai multe paturi condițiile de studiu sînt diverse, fapt care determină pe cei în cauză să învețe în săli de studiu sau în biblioteci publice.

Din acest motiv trebuie solicitat sprijinul administrației sau al comitetelor școlare ori al U.A.S.C.R. pentru reamenajarea camerelor din cămine.

După cum se vede din figura 1, investițiile sînt minime și nu restrîng spațiul util de cazare în camere.

În afară de mobilierul existent se mai adaugă un corp de bibliotecă, 1, cu două rafturi, care se montează deasupra patului, o planșetă rabatabilă, 2, și o lampă pentru iluminatul local, 3.

După reamenajarea camerei vom avea surpriza să constatăm că am creat un îmbietor și confortabil colț de studiu.

Pentru a da un aer mai intim încăperii, putem așeza pe unul din rafturile bibliotecii un vas cu flori sau un ghiveci cu o plantă bogat înfrunzită. Se mai poate încerca și cultivarea în regim de hidro cultură a unei plante agățătoare (telegraf), pentru care se întinde de-a lungul pereților un fir subțire de nailon.

O fotografie — a unei ființe dragi sau a actorului preferat — poate fi cașerată pe un placaj gros și agățată pe perete deasupra patului.

Interzicerea lipirii pe pereți a unor decupaje din revistele ilustrate a fost o măsură binevenită, dar a sărăcit camerele de cămin de „decorul” lor tradițional.

Dacă vom cașera pe dosul planșetei noastre cîteva ilustrații colorate, alese cu gust, vom avea și decorul caracteristic al căminelor, fără a contraveni regulamentelor.

Alte piese de decor sînt perdelele și covorul.

Dat fiind faptul că locatarul unui cămin nu dispune de unelte de bricolaj, execuția acestor piese de mobilier ridică probleme mari.

Solicitînd sprijinul atelierelor școlare sau de practică studentească ori sprijinul atelierelor de tîmplărie din cadrul întreprinderilor, nu se poate să nu găsim înțelegerea cuvenită, mai ales că materialele folosite sînt de dimensiuni reduse.

Acolo unde nu se poate conta pe acest sprijin, se va apela la serviciile cooperatiei, prețul încasat pentru o lucrare de acest fel fiind accesibil.

Corpul 1 se confecționează din PAL de 10—12 mm și placaj de 4—5 mm, asamblat conform figurii 2. Îmbinarea se face cu cuie și cu aracet, atît a laturilor corpului cît și a fundului de placaj. După asamblarea corpului se netezesc toate contururile și denivelările rezultate după montaj.

În final, corpurile se chituesc, se acoperă contururile cu benzi de furnir, se șlefuiesc cu hîrtie abrazivă locurile chituite și se vopsesc într-o culoare deschisă, curată.

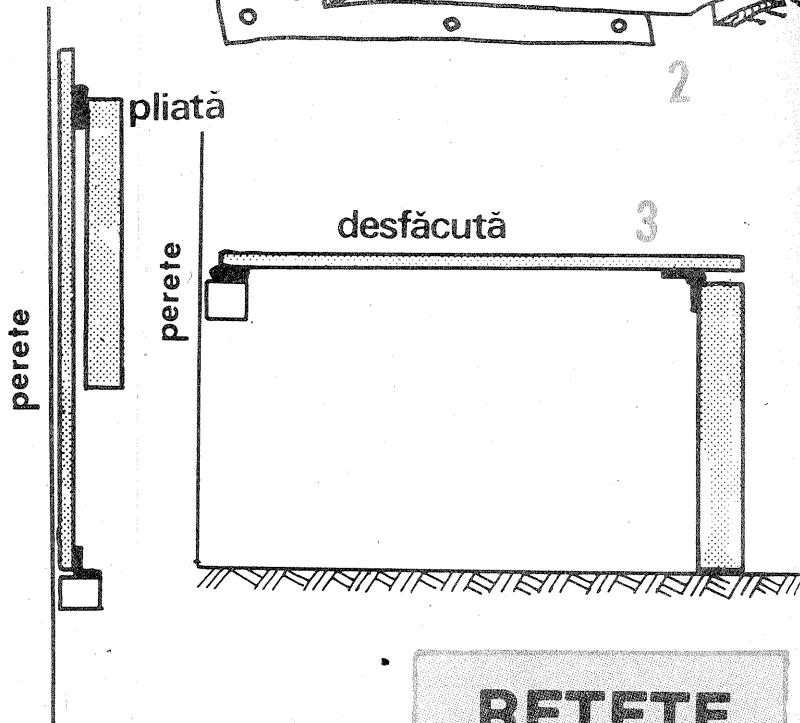
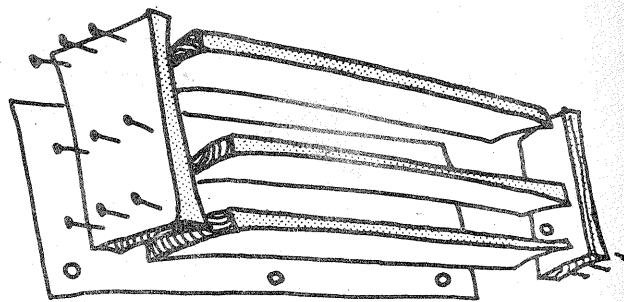
Masa se confecționează dintr-o placă de PAL cu canturile furniruite (benzi de furnir lipite cu prenadex).

La un capăt al blatului se fixează cu balamale, conform figurii 3, un cușac, cu secțiunea 6 x 4 cm și lungimea egală cu lățimea mesei și care are rolul de piesă intermediară pentru fixare pe perete a blatului.

În celălalt capăt se fixează cu o balama (vezi figura 3) un alt cușac, cu secțiunea de 6 x 4 cm și lungimea egală cu înălțimea de la podea a mesei. Cele două poziții ale mesei reies clar din figură. Planșeta se vopsește în aceeași culoare ca și corpul bibliotecii.

Pentru prinderea pe perete a bibliotecii și a mesei vom folosi șuruburi pentru lemn și dibluri de plastic care se găsesc în comerț la magazinele de fierărie.

Pentru a introduce diblurile în pe-



## REȚETE

**1. ADEZIV DIN RĂȘINI NATURALE.** Pentru a se obține un adeziv aproape universal, se colectează o bucată de rășină (de vișin, molid etc.) de mărimea unui ou de găină și se fierbe timp de o jumătate de oră în 400 cm<sup>3</sup> apă, agitînd din cînd în cînd. După răcire, soluția se decantează de eventualele impurități, iar dacă nu este suficient de viscoasă, se mai fierbe pînă la obținerea consistenței unei paste.

**2. CHIT PENTRU DUȘUMELE.** Un chit universal, foarte bun pentru astuparea crăpăturilor din dușumele sau a golurilor din suprafețele lemnoase, se obține amestecînd o parte var nestins cu 5 părți brînză proaspătă de vaci. Adezivul trebuie folosit imediat după preparare, deoarece el devine repede o masă solidă, tare ca piatra și impermeabilă.

**3. PRIZĂ LENTĂ PENTRU IP-SOS.** În cazul în care este nevoie de prelungirea timpului de priză al ipsosului, prepararea nu trebuie să se facă cu apă, ci cu lapte de var.

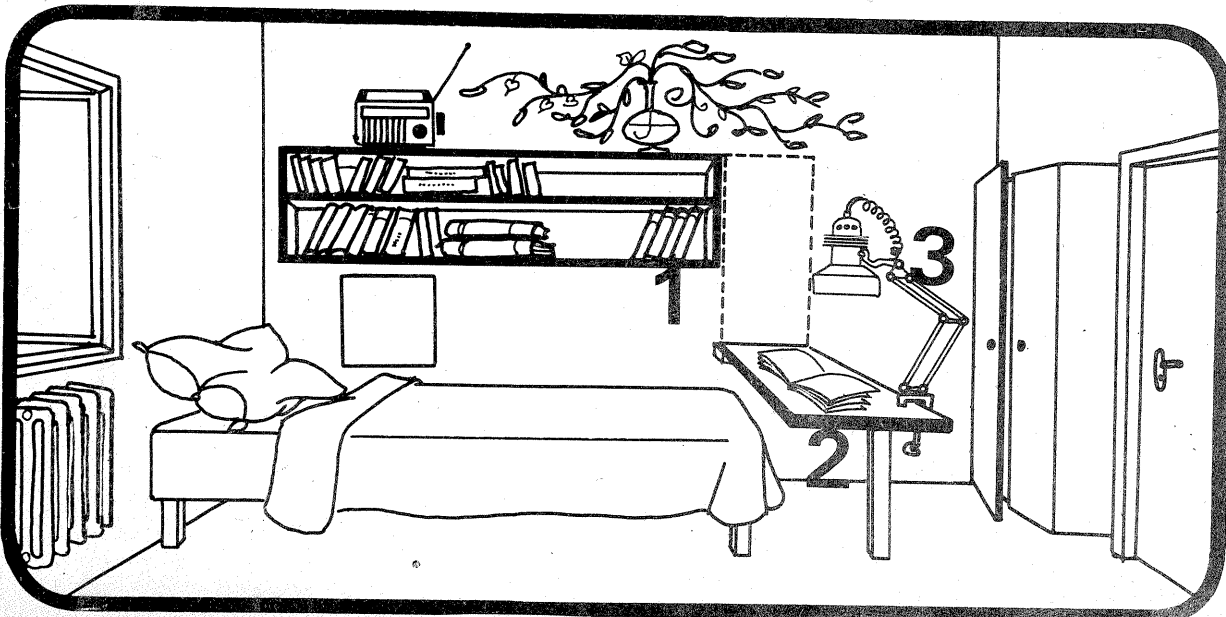
**4. PRIZĂ RAPIDĂ PENTRU CIMENT.** Folosind următoarea compoziție se poate reduce timpul de priză al cimentului la cca 1 minut: 2—3 părți de ciment se amestecă cu o parte de nisip, iar la acest amestec se adaugă 0,05 părți dintr-o soluție obținută prin dizolvarea a 30—40 părți hidroxid de potasiu (sau sodă caustică) și 17 părți clorură de sodiu în 1 000 părți apă.

**5. PREPARAREA VARULUI STINS.** Peste var, cît mai proaspăt, calcinat, se adaugă o cantitate de apă egală cu cca 1/2 din cantitatea varului și se amestecă bine. În urma unei reacții exergonice (reacție de degajare de energie termică), se obține un praf alb, hidratul de var. Atenție, se vor purta ochelari de protecție!

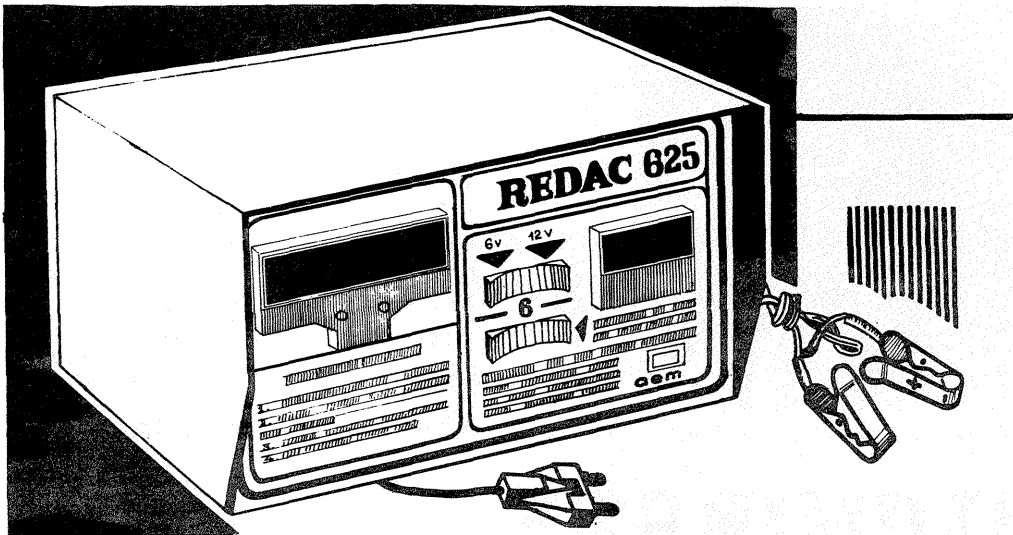
Hidratul de var se trece printr-o sită metalică, sau i se adaugă repede, sub agitare, apă. Cînd masa a preluat de 3—4 ori greutatea sa în apă, se obține o pastă viscoasă (pasta de var), în care bucățelele de var nereacționate se lasă la fund, de unde se pot îndepărta. Diluînd în continuare, se obține laptele de var.

Chim. DAN SERACU

TEHNIUM 7/1983



# REDAC 625



## NOU NOU NOU

Dintre cele mai recente produse ale întreprinderii de aparate electrice de măsurat Timișoara am selecționat pentru dumneavoastră redresorul de încărcat baterii de acumulator auto REDAC 625, pe care îl puteți solicita la magazinele specializate cu piese și accesorii auto.

Principalele caracteristici tehnice ale noului tip de redresor sînt:

- tensiunea de alimentare 220 V/50 Hz;
- puterea maximă absorbită 100 VA;

prezentare modernă, noul redresor permite încărcarea acumulatorilor de 6 V și 12 V cu o capacitate cuprinsă între 15 Ah și 90 Ah, acoperind deci practic întreaga gamă a tipurilor de baterii ce echipază autoturismele moderne.

Spre deosebire de celelalte tipuri de redresoare existente, noul model este autoprotejat, mai precis este echipat cu un dispozitiv disjunctor care asigură, pe de o parte, protecția aparatului în cazul manipulărilor greșite, iar pe de altă parte, protec-

bornele acumulatorului de încărcat (două corderoane cu crocodili).

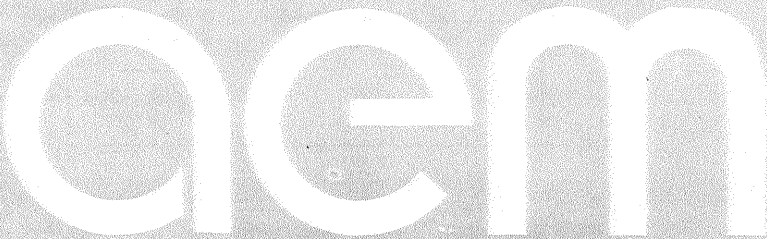
Aparatul mai este dotat și cu un grafic de utilizare, care dă indicații asupra timpului de încărcare necesar, în funcție de tipul și de starea bateriei. În fine, o lampă de control indică prezența tensiunii la bornele transformatorului, avertizînd astfel conectarea redresorului la rețea.

orientativă a tensiunilor etc.

Testorul de tensiune TT-1, pe care îl vedeți în imaginile alăturate și ale cărui caracteristici tehnice le vom prezenta într-un reportaj viitor, răspunde foarte bine acestor cerințe.

Se știe că pentru construcția și întreținerea corespunzătoare, cu un

## ÎNTRERPRINDEREA DE APARATE ELECTRICE DE MĂSURAT TIMIȘOARA



- tensiunea la ieșire 6 V, respectiv 12 V;
- curentul maxim de încărcare 6 A;

— protecție la supracurent și scurtcircuit prin disjunctor de 6,5 A cu funcționare intermitentă;

— autoreglarea curentului de încărcare, datorată caracteristicii externe a transformatorului, care limitează superior curentul;

— aparat indicator de 8 A pentru urmărirea curentului de încărcare;

— protecția persoanelor împotriva atingerilor accidentale, prin izolația corespunzătoare a părților aflate sub tensiunea de 220 V;

— greutatea cca 2,5 kg;

— dimensiuni de gabarit 240 x 170 x 140 mm.

Compact, robust, cu o linie de

ția bateriei în cazul în care aceasta are tendința de a absorbi un curent de încărcare excesiv.

REDAC 625 se compune dintr-un transformator de rețea, o punte redresoare monofazată și un disjunctor, toate protejate de o cutie metalică prevăzută cu ferestre de aerisire. Părțile aflate sub tensiune sînt izolate față de cutie.

Pe panoul frontal se află instrumentul indicator al curentului de încărcare, comutatorul de selectare a tensiunii (6 V—12 V) și lampa de semnalizare care avertizează intrarea în funcțiune a autoprotecției prin disjunctor.

Pe partea din spate a cutiei sînt plasate racordurile electrice la rețea (cordon cu fișă bipolară, care intră în prizele obișnuite de rețea) și la

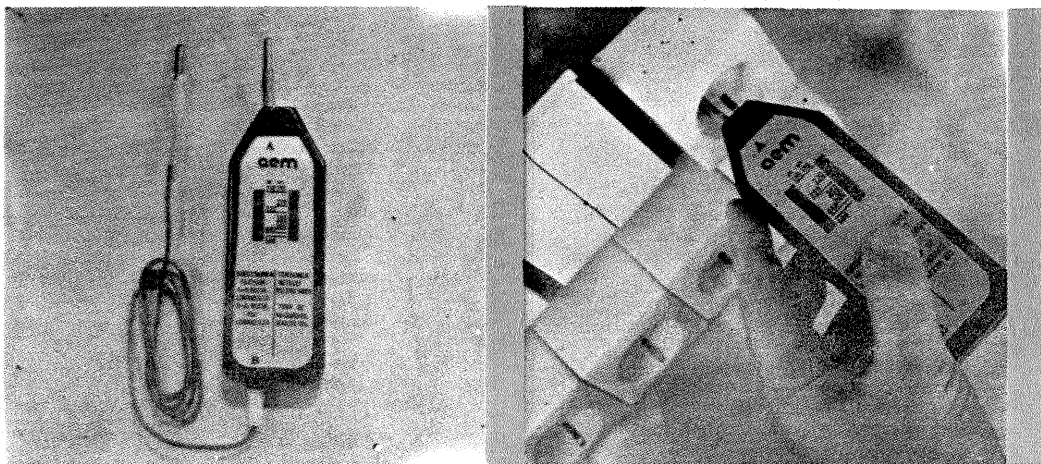
înalt coeficient de siguranță, a rețelelor de alimentare cu energie electrică și a instalațiilor de distribuție, în afară de lucrători calificați mai sînt necesare și aparate adecvate de măsură și control. Or, aparatele de măsură de înaltă precizie — deși foarte necesare și ele pentru unele determinări mai pretențioase — se dovedesc adeseori prea fragile, prea voluminoase și prin urmare incomode, în special pentru operațiile de montare și revizie sau în condițiile de șantier. În astfel de cazuri se preferă utilizarea unor indicatoare simple, robuste, de dimensiuni reduse, care — fără pretenția unor măsurători de precizie — permit identificarea rapidă a conductoarelor de fază, stabilirea succesiunii fazelor, a continuității circuitelor, determinarea

Pentru informații suplimentare privind produsele I.A.E.M. și condițiile de livrare, adresați-vă la ÎNTRERPRINDEREA DE APARATE ELECTRICE DE MĂSURAT TIMIȘOARA, Calea Buziașului nr. 26, telefon: 961/37718, telex: 71343.



## NOU NOU NOU

# TT-1



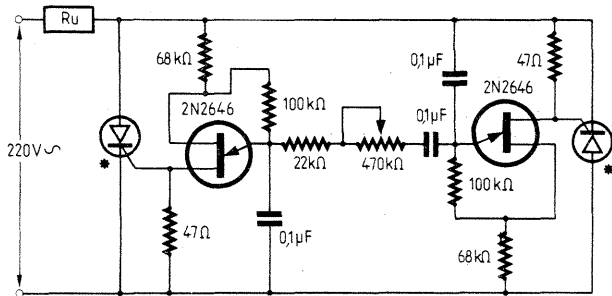
## ILUMINARE GRADATĂ

Circuitul permite o comandă dublă alternantă prin sarcină nu cu un triac, ci prin două tiristoare montate în contrafază.

Comanda tiristoarelor se obține de la două tranzistoare TUJ în sin-

cronism total cu rețeaua electrică. Tiristoarele vor fi de tipul 4A/600 V.

„RADIO PLANS“, 6/1982

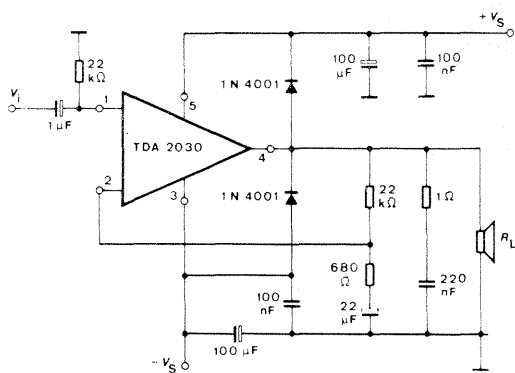


## TDA 2030

Montajul alăturat, conținând valori ale componentelor, permite folosirea circuitului TDA 2030 ca amplificator audio de putere în receptoare TV sau de radiodifuziune. Alimentat la  $\pm 14$  V, pe o sarcină de 4  $\Omega$ , se ob-

ține o putere de 14 W cu 0,5 % distorsiuni sau 18 W cu 10 % distorsiuni.

„AEG-TELEFUNKEN“, 1983



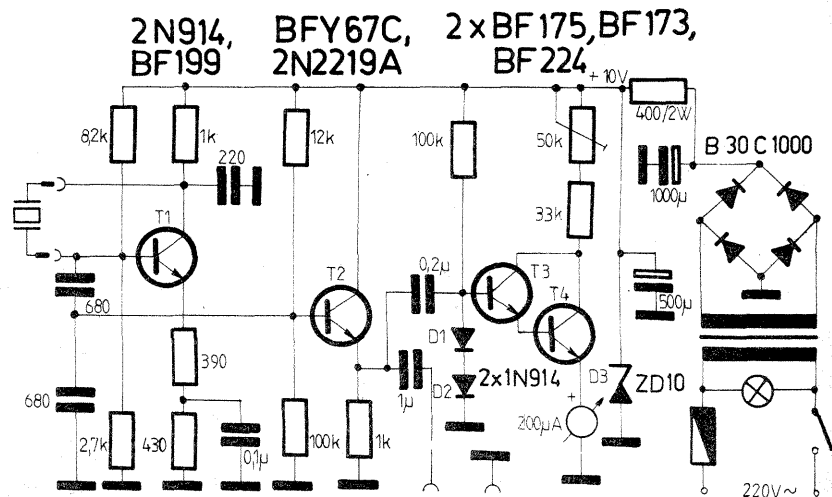
## VERIFICATOR

Montajul permite verificarea cristalelor de cuarț cu frecvența cuprinsă între 50 kHz și 50 MHz, într-un montaj de oscilator RC, în care cuarțul este montat între baza și colectorul tranzistorului.

Etajul  $T_2$  este un separator repetor

pe emitor de la care se poate prelua semnal spre utilizare, sau la un voltmetru electronic compus din  $T_3$  și  $T_4$ , plus un instrument de 200  $\mu$ A.

„FUNKSCHAU“, 21/1971



## FRECVENTMETRU

La intrare sînt montate două diode 1N4148, care permit transformarea semnalului sinusoidal în semnal dreptunghiular.

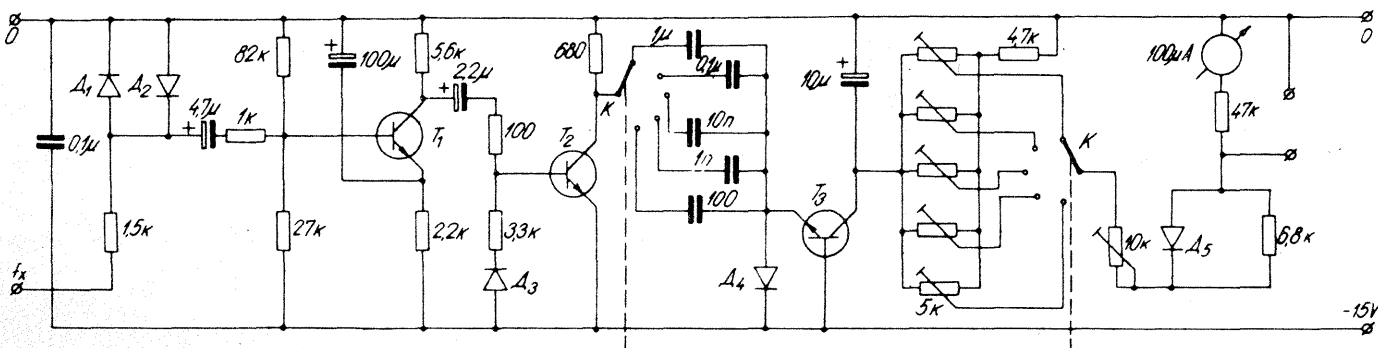
Tranzistorul  $T_1$  este amplificator,  $T_2$  lucrează ca amplificator limitator, iar  $T_3$  are ca sarcină un circuit integrator, valoarea tensiunii aplicate instrumentului indicator fiind o funcție de frecvența semnalului. Gamele de

măsură sînt 0—100 Hz; 0—1 kHz; 0—10 kHz; 0—100 kHz; 0—1MHz.

La intrare trebuie să se aplice semnal mai mare de 350 mV.

Diodele sînt de tip 1N4148, iar tranzistoarele BC 171.

„RADIO TELEVIZIA ELECTRONICA“, 1/1981



Фиг. 1

# DIACUL

# MEMORATOR



Ing. IOSIF LINGWAY

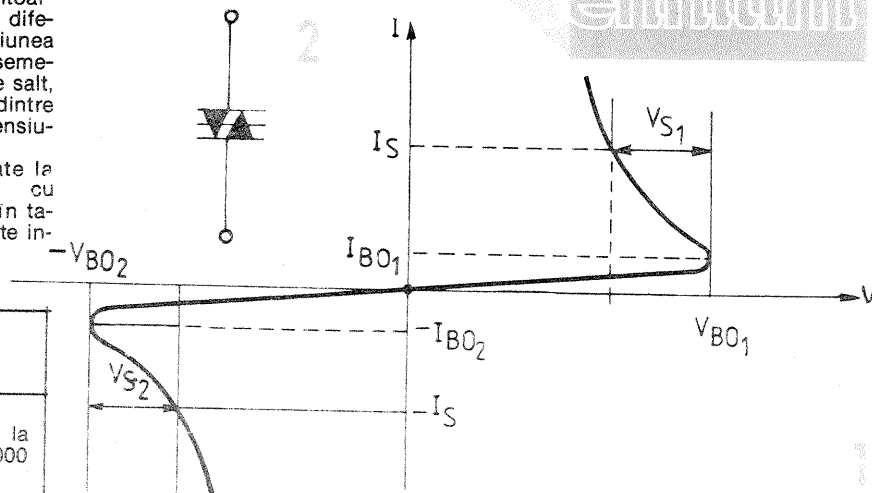
Începând cu anul 1982, I.P.R.S. Băneasa a introdus în fabricație, în urma unui efort propriu de cercetare, diacele. Acest lucru a fost necesar întrucât în aceeași perioadă au început să se producă triace.

Diacul este realizat prin difuzie pe siliciu. Structura de bază este formată prin alăturarea a două joncțiunii n-p la o distanță specificată de sortul diacului ce se dorește să se obțină. Acest dispozitiv are proprietatea de a lucra în două cadrane, unde prezintă — după intrarea în avalansă — o rezistență negativă. În

figura 1 este prezentată caracteristica tensiune-curent. După cum se observă, există un punct de întoarcere ( $V_{BO}$ ,  $I_{BO}$ ) unde rezistența diferențială este nulă și tensiunea atinge valoarea maximă. De asemenea, se definește o tensiune de salt,  $V_S$ , reprezentând diferența dintre tensiunea de întoarcere și tensiunea la un curent  $I_S$ .

Sorturile de diace fabricate la I.P.R.S.-Băneasa, împreună cu principalii parametri, sînt date în tabelul alăturat, iar în figura 2 este indicat simbolul diacului.

TIP	$V_{BO}(V)$		$V_S(V)$ MIN. la $I_S = 10 \text{ mA}$	Puterea disipată (W)	Observații
	MIN.	MAX.			
DC 32	28	36	5	0,3	Capsula este aceeași ca la diodele 1N4000 și PL
DC 38	34	42	5	0,3	
DC 44	40	48	7	0,3	
DC 50	46	54	7	0,3	



(URMARE DIN PAG. 2)

permetru va fi nul, iar lampa L. rămîne stinsă.

Carcasa redresorului este formată din două blocuri ce se asamblează prin alunecare, placa de bază inclusiv panoul frontal și capacul.

În figura 6 este prezentată o soluție de montaj cu dimensiuni și detalii. Capacul va fi prevăzută cu găuri pentru aerisire. Cele două părți componente se confecționează din tabla de aluminiu de 1-2 mm grosime. Schița a urmat să dea numai o idee de montaj, urmînd ca soluția definitivă să fie stabilită de constructor în funcție de dimensiunile pieselor avute la dispoziție, alte materiale posibilități de prelucrare mecanică, îndemînare etc.

Astfel construit și verificat, redresorul este gata de lucru.

#### MOD DE UTILIZARE

În timpul exploatarei se va avea grijă să se respecte polaritatea la ieșire. În cazul inversării legăturilor, curentul crește mult și se aprinde puternic lampa L. În această situație, dacă tristorul este mai mic de 6 A, se poate distruge. De asemenea se vor evita scurtcircuiturile la ieșire.

Pe măsură ce bateria se învechește, la sfîrșitul încărcării, redresorul nu se va mai bloca permanent, ci acul ampermetrului va oscila între 0 și 0,5 A. Dacă la conectarea corectă a bateriei curentul depășește 2,5 A, se va deconecta imediat și se va face o verificare. Cauza este un element al bateriei în scurtcircuit. La conectarea unei baterii de 12 V, acest lucru mai este posibil din cauza necomutării contactului de releu, r.

În general, comutatorul K (regim descărcare) va fi pe poziția 13 (pentru baterii de 6 V și 27 Ω pentru baterii de 12 V. În

funcție de scopul urmărit, K poate fi și pe poziția 0 (fără rezistență de descărcare).

În orice caz în momentul în care tensiunea în sarcină foarte mică la bornele bateriei ajunge la valorile prezentate (în medie 6,7 V, respectiv 13 V), redresorul se deconectează automat de la baterie, iar lampa L. se stinge.

Menționăm că acest redresor nu poate asigura formarea bateriilor, aceasta executîndu-se conform instrucțiunilor fabricii, cu curenti mai mari.

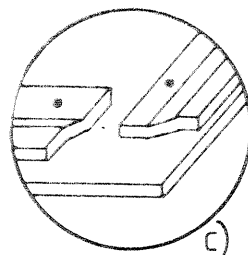
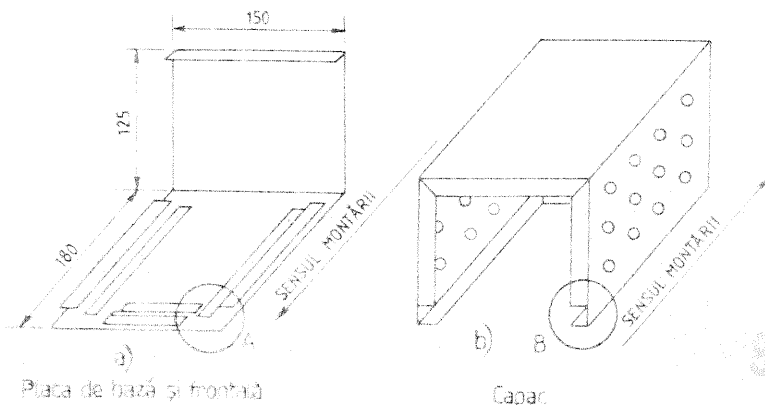
Dacă dorim să încercăm numai unele elemente ale bateriei, va trebui să însușim o rezistență de limitare în circuitul exterior al redresorului. Ea este în funcție de tipul de baterie pe care este comutat redresorul și numărul de elemente ce se încarcă. Astfel, pentru un element rezistența de limitare va fi de 2-3 Ω, iar pentru două elemente de 1,3-1,5 Ω.

Valorile rezistențelor adiționale de mai sus au fost date în ipoteza că redresorul este comutat pe poziția baterii de 6 V.

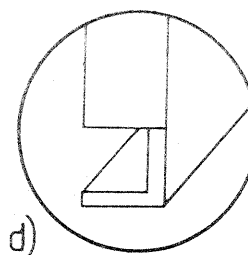
La încărcarea separată a unor elemente din baterie deconectarea nu se mai face automat la terminarea încărcării, dar valoarea curentului de încărcare se poate urmări pe ampermetru.

#### BIBLIOGRAFIE:

1. „Radio” (U.R.S.S.), nr. 11/1974
2. „Practical Wireless” (Anglia), aprilie 1974
3. „Radio” (U.R.S.S.), nr. 3/1976
4. „Radio” (U.R.S.S.), nr. 3/1978
5. Meissner F. — „Wie helfe ich mir selbst”
6. Dascălu D. ș.a. — „Circuite electronice” (1982).



Detaliu A



Detaliu B

au adoptat acest sistem. În 1959, Comisia Internațională de Electrotehnică a adoptat o recomandare pentru modificarea dimensiunilor benzii de la 6,35 mm la  $6,25 \pm 0,05 \text{ mm}$ . Ulterior s-au adoptat și dimensiunile pentru benzile de casetofon care s-au stabilit în final la lățimea benzii casetofonului de 3,81 mm.

Prezentăm o listă (dealtfel „în curs” de completare) a casetelor fabricate în număr mare, cu principalele caracteristici:

Tipul benzii	Firma producătoare	Tara	Grosimea totală	Tipul casetei
TP 18	BASF	R.F.G.	18	S 60
TP 18 CrO <sub>2</sub>	BASF		18	S 60
QP 12	BASF		12	S 90
HP 9	BASF		9	S 120
PE 65	AGFA-6		18	S 60
PE 66	AGFA-6		18	S 60
PE 85	AGFA-6		12	S 90
PE 86	AGFA-6		12	S 90
PE 125	AGFA-6		9	S 120
PE 126	AGFA-6		9	S 120
	ORWO	R.D.G.	18	K 60
A 4203-3	SHK	U.R.S.S.	18	MK
P 300	KODAK-P	Franța	18	S 90
P 450	KODAK-P		12	S 90
P 600	KODAK-P		9	S 120

În marea majoritate, la recomandările Comisiei Internaționale de Electrotehnică, grosimea benzii magnetice s-a situat în domeniul  $55 \mu\text{m}$ . Ulterior, în urma unor perfecționări suplimentare ale materialului, bazei și tehnologiei în privința depunerii succesive a mai multor straturi de pulbere magnetică, s-au fabricat și benzi mai subțiri, de următoarele grosimi:

- banda long-play —  $37 \mu\text{m}$
- banda super long-play —  $27 \mu\text{m}$
- banda pentru casete super long-play —  $12$  și  $18 \mu\text{m}$

În general sînt stabilite următoarele grosimi ale benzilor:

$55 \pm 0$      $37 \pm 0$      $27 \pm 0$   
 $- 3 \mu\text{m}$ ;     $- 3 \mu\text{m}$ ;     $- 5 \mu\text{m}$ ;

$18 \pm 0$   
 $- 2 \mu\text{m}$

# Technium

# SERVICE

**IORDACHE ȘTEFAN — Craiova.** Vă recomandăm să cumpărați un amplificator de 10 W tip I.P.R.S. (în plic) și să cuplați picupul la acest amplificator.

**SANDU FLORIN — Săvinești.** Dacă prin schimbarea capului magnetic redarea este bună dar înregistrarea inexistentă, revedeți dacă în comutator totul este perfect și în final măsurați curentul de premagnetizare.

**MIRCEA ION — jud. Caraș-Severin.** La casetofon verificați cureaua de transmisie și tensiunea de alimentare (puntea de diode).

**BURTEA VIOREL — jud. Dolj.** Dacă sînteți deranjat de o stație de emisie ce aparține unei întreprinderi, semnați această situație la Ministerul Transporturilor și Telecomunicațiilor, Direcția Radio, Bd. Dinicu Golescu, București. Aparatul de radio probabil nu are tensiune anodică la tuburi.

**CONSTANTIN GEORGE — București.** La televizorul „Sport” nu puteți schimba tipul tranzistoarelor din etajul final linii. Dacă nu găsiți tranzistor BU 407 în comerț, apelați la o cooperativă.

**DEDU AUREL — Ploiești.** Vom

publica și alte montaje cu circuite BM 3900.

**DUDAS NICOLAE — Satu Mare.** Defectul provine din schimbătorul de canale. Vă recomandăm la depănare să folosiți serviciile unui specialist.

**BOITOS RADU — București.** La magnetofon, după explicațiile prezentate în scrisoare, este uzat capul magnetic. Trebuie înlocuit.

**STROE RICHARD — Călan.** Sunet și imagine slabe la televizor pot surveni din antenă sau din partea electronică comună (amplificator intermediar) a televizorului. Ne este greu să precizăm care anume element nu funcționează normal numai cu aceste simple afirmații ale dv.

**GOLOGAN TEODOR — București.** Nu puteți înlocui în televizor un tranzistor pnp cu unul npn.

**RADOCEA CONSTANTIN — Fundulea.** Se pare că fără să vă uitați atent pe schemele publicate cereți redacției lămuriri. La receptorul din nr. 12/1978 pag. 6 afit pe schema electrică cit și pe cablaj este trecut condensatorul C7 (cuplaj de la

diode la bază T<sub>3</sub> — R<sub>11</sub>) cu valoare Je 5 μF. Condensatorul C<sub>1</sub> are 15 nF.

**ZORESCU DAN — București.** Decuplați difuzorul și montați în locul lui casca în serie cu un condensator de 0,1 μF. La magnetofon se poate monta un difuzor de 4 Ω și cel puțin 3 W. Zgomotul ce se aude din magnetofon nu este un indiciu că acesta ar fi defect.

**GRAMA LIVIU — jud. Hunedoara.** Ideea motorului solar este interesantă; rămîne s-o concretizați.

**FETIC SORIN — Buzău.** Recepția canalului 2 TV se poate obține cu o antenă Yagi (5 elemente) și un amplificator de antenă.

**POPESCU LIVIU — Craiova.** Sistemul de acționare de la distanță a televizorului Temp 6 este prezentat chiar în schema electrică a sa.

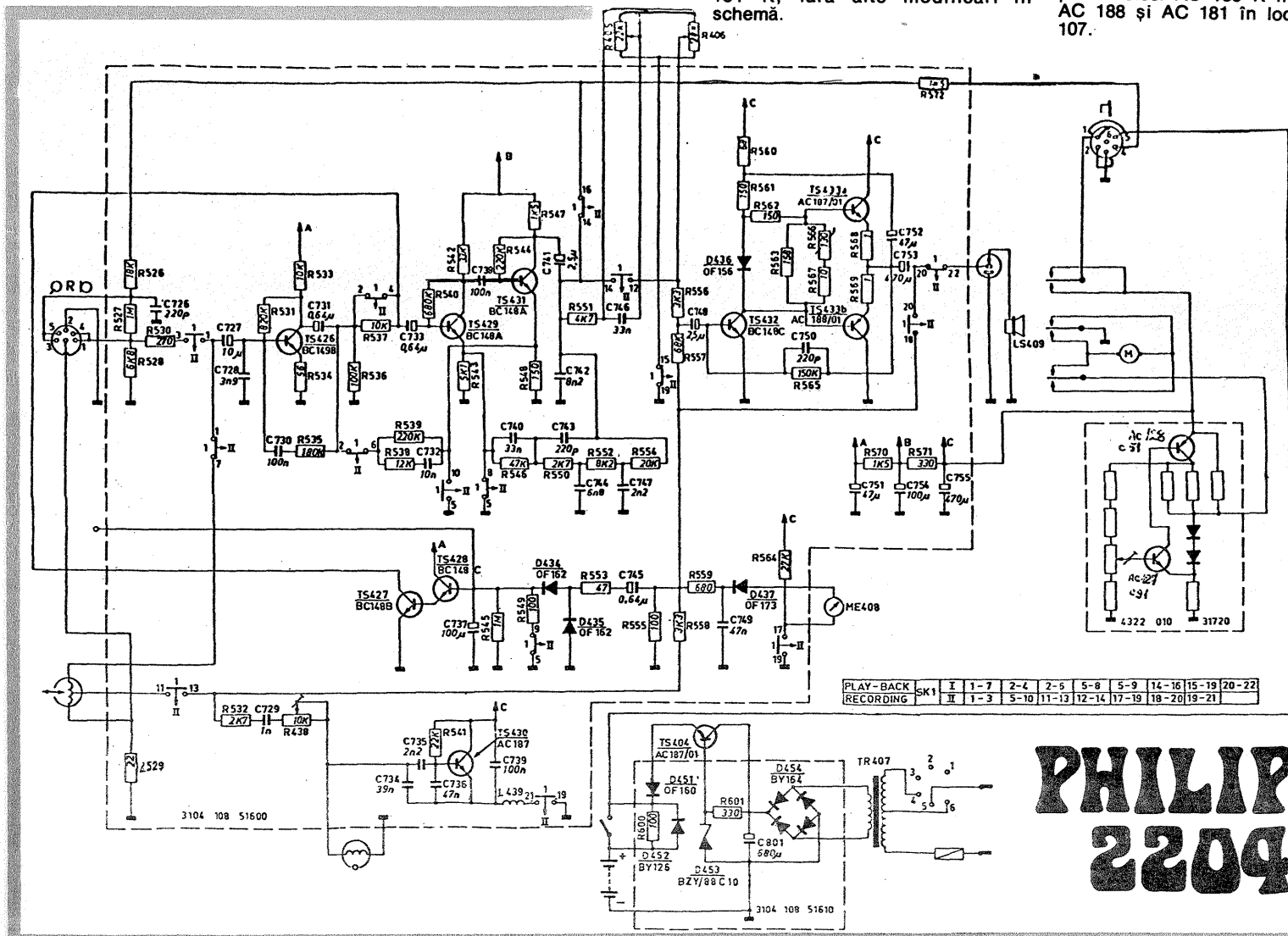
**POPESCU ION — jud. Bacău.** Apariția neuniformă a imaginii la pornirea televizorului nu constituie un defect. Banda de trecere a amplificatorului de frecvență intermediară din televizor fiind largă, este normal ca să se audă concomitent toate posturile din UUS.

I. M.

**CALANCEA Ș. — Iași.** În oscilatorul pentru semnal de ștergere și premagnetizare din PHILIPS 2204 (casetofon), dacă nu aveți un tranzistor AC 187, montați un tranzistor AC 181 K, fără alte modificări în schemă.

Tranzistorul din intrare BC149 poate fi înlocuit cu BC109, eventual selecționat pentru zgomot cit mai mic.

Etajul final, de construcție clasică, poate folosi AC 180 K în locul lui AC 188 și AC 181 în locul lui AC 107.



# PHILIPS 2204

Redactor-șef: ing. IOAN ALBESCU  
 Redactor-șef adj.: GHEORGHE BADEA  
 Secretar responsabil de redacție: ing. ILIE MIHĂESCU  
 Redactor responsabil de număr: ALEXANDRU MĂRCULESCU  
 Prezentarea artistică-grafică: ADRIAN MATEESCU

Administrația  
 Editura Știința

INDEX 44212

CITITORII DIN STRĂINĂTATE SE POT ABONA ADRĂȘINDU-SE LA ILEXIM — DEPARTAMENTUL EXPORT-IMPORT PRESĂ, P.O. BOX 136—137, TELEX 11226, BUCUREȘTI, STR. 13 DECEMBRIE NR. 3.

Tiparul executat la Combinatul poligrafic «Casa Științei»